

Das Buch von Holldack und Wolf will einen Beitrag dazu liefern diesen Gefahren zu steuern. Die umfangreichen Kenntnisse und die jahrelange pädagogische Erfahrung der beiden Autoren sind seine Grundlagen, seine Methoden sind ein knapper, aber klarer, einprägsamer Text, der alles Notwendige bringt und eine reiche Auswahl instruktiver Abbildungen. So er scheint mir die Garantie gegeben, daß das beabsichtigte Ziel erreicht wird.

Heidelberg im August 1960

PH BAMBERGER

All Rechte insbesondere das Recht der Vervielfältigung und Verbreitung, so wie der Übersetzung in fremde Sprachen, vorbehalten. Kein Teil des Werkes darf in irgend einer Form (durch Photokopie, Mikrofilm oder ein anderes Verfahren) ohne schriftliche Genehmigung des Verlages reproduziert werden.

© Georg Thieme Verlag Stuttgart 1960 Printed in Germany

Satz und Druck: B. Biedroń, Leipzig; H. M. M. H. G. Unterjes, Tübingen.

Das Buch von Holldack und Wolf will einen Beitrag dazu liefern diesen Gefahren zu steuern. Die umfangreichen Kenntnisse und die jahrelange pädagogische Erfahrung der beiden Autoren sind seine Grundlagen, seine Methoden sind ein knapper, aber klarer, einprägsamer Text, der alles Notwendige bringt und eine reiche Auswahl instruktiver Abbildungen. So er scheint mir die Garantie gegeben, daß das beabsichtigte Ziel erreicht wird.

Heidelberg im August 1960

PH BAMBERGER

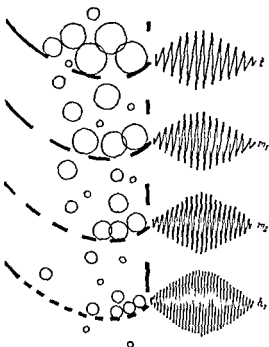


Abb 1 Schematische Darstellung der Herzschallfilter als Siebe mit unterschiedlichen Lochgrößen

Punkte der Nennfrequenz an die Kurve des Frequenzganges angelegten Tangent (vgl. Abb 1)

Auf Grund praktischer Erfahrungen haben sich in Deutschland folgende Filter eingeführt

$$t_{25} \quad m_{175} \quad m_{250} \quad m_{500} \quad h_1 \quad a \quad \text{und} \quad h_{400}$$

Die Filter mit den kleinsten Lochern d. h. steile Filter wie z. B. m und h_1 benötigen zur Schreibung ausreichend deutlicher Schallkurven einen höheren Druck (= Verstärkungsgrad) als die Tonsiebe mit großen Lochern. Sie sind deshalb für Störgeräusche empfindlicher.

Unser Ohr nimmt nicht alle Schallbewegungen so auf wie sie in der Außenwelt vorkommen. Es bevorzugt die hohen Frequenzen und ist für tiefe unempfindlich. Wir hören also ebenfalls durch ein Sieb. Das m_2 -Filter hat einen ähnlichen Frequenzgang wie das Ohr, so daß damit geschriebene Schallkurven dem Gehörseindruck am ähnlichsten sein sollten. Dieser Ähnlichkeit sind aber Grenzen gesetzt, da Geleisteindrücke Gehörseindrücken ohnehin nicht völlig entsprechen können. Praktisch hat die gehörähnliche Darstellung des Herzschalles daher nur geringe Bedeutung. Sie ist nur dann zu empfehlen, wenn neben einer Bezugskurve h auch eine Schallkurve registriert werden kann. Bei den Kurven mit flacher Charakteristik wie m_2 werden zwar die niederfrequenten Schwingungen noch gut dargestellt und die hochfrequenten sind häufig schon zu erkennen. Diagnostisch aufschlußreicher sind jedoch meh-

c) Normales Kurvenbild	21
d) Mechanokardiographische Synopsen	21
- Oesophaguspulskurvenschreibung	21
a) Aufnahmegeräte	21
b) Perimetriertechnik	21
c) Normales Kurvenbild	21
d) Mechanokardiographische Synopsen	21
✓ Intrakardiale Phonokardiographie	23
9 Ballistokardiographie	25
10 Rheographie	25
11 Oskulographie	25
D) Mechanokardiographische Diagnostik	26
1 Extrasystolen	26
2 Herzgeräusche	27
3 Erworbene Klappenfehler des linken Herzens	41
a) Mitralklappenstenose	41
b) Mitralklappeninsuffizienz	41
c) Unreine Mitralklappenfehler	51
d) Aortenklappenstenose	51
e) Aortenklappeninsuffizienz	51
f) Unreine Aortenklappenfehler	52
4 Erworbene Klappenfehler des rechten Herzens	52
a) Trikuspidalklappeninsuffizienz	52
b) Trikuspidalklappenstenose	52
c) Pulmonalklappeninsuffizienz	52
5 Kombinierte Vitien, funktionelle Stenosen und Insuffizienzen	52
6 Angeborene Anomalien	52
a) Ventrikelseptumdefekt (und Eisenmenger-Syndrom)	52
b) Vorhofseptumdefekt (und Linderhach-Syndrom)	52
c) Fallot'sche Tetralogie	52
d) Truncus und Pseudotruncus arteriosus communis	52
e) Transposition der großen Gefäße	52
f) Aorten- und Subaortenklappenstenose	52
g) Pulmonalklappenstenose isoliert und mit Vorhofseptumdefekt	52
h) Trikuspidalstenosen	52
i) Ductus arteriosus aperius	52
k) Isthmusstenose der Aorta	52
- Extrakardiale Geräusche	52
a) Perikardiales Reiben	52
b) Paradoxe pulmonale Geräusche	52
✓ Gefäßgeräusche	52
a) Arterielle Gefäßgeräusche	52
b) Venengeräusche	52

pen verursacht sein sollen Grundsätzlich muß hierzu jedoch gesagt werden daß die Öffnung und Schließung normaler Klappen geräuschlos geschieht Die Abgrenzung der vier Schwingungsgruppen wie sie LUISADA zum Beispiel vornimmt ist uns nicht möglich

Der I Ton wird durch die Anpannung der Kammerwände einschließlich der Segelklappen um den inkompressiblen Kammerinhalt verursacht Der normale II Ton hat Frequenzen von ca 100 bis 120 Hz Er entsteht durch die Anpannung der bereits geschlossenen Aorten und Pulmonalklappen beim plötzlichen Druckabfall in den Ventrikeln In der Regel geht der Aortenschluß voran und erzeugt Schwingungen höherer Frequenz Schon beim Gesunden vor allem im Inspirium können die beiden Anteile getrennt sein (vgl S 21 und Tab 1)

Die Lautstärke der Herztöne hängt von kardialen und extrakardialen Faktoren ab Zu den ersteren zählen folgende

- 1 Die Größe der auftretenden Kräfte (z B Aortendruck Pulmonaldruck)
- 2 Die Schwingungsfähigkeit der Klappen (z B Abschwächung des II Tones bei Aortenstenose oder Mitralklenose mit verkalkter Ventilebene)
- 3 Die Stellung der Klappen (z B Verstärkung des I Tones bei frühzeitigem Extrasystolen bei verkürzter oder sehr stark verlängerter Überleitungszeit und bei der Mitralklenose die Abschwächung des I Tones bei mäßig verlängerter AV Überleitung)

Unter den extrakardialen Faktoren spielt der Luftgehalt der Lungen eine große Rolle Ein Emphysem erschwert die Schallschreibung sehr Das ist der Grund warum die Schallkurven von Jugendlichen in der Regel viel schöner ausfallen Durch das Emphysem werden vor allem die höheren Frequenzen abgeschwächt Wir sehen deshalb die Herztöne meist recht gut in t und m_1 Auch die Dicke der Muskelschicht und der Fettgehalt der Brustwand sind von Einfluß Die Mammæ müssen bei der Schallschreibung ebenso umgangen werden wie bei der Auskultation

Herzgeräusche sind bekanntlich nicht immer pathologisch Die Unterscheidung der krankhaften von den bedeutungslosen wird im Kapitel Herzgeräusche S 30 besprochen

g) Intensitätsvergleich der Basistöne

Der Vergleich der Intensität der II Basistöne spielt seit alterher eine große diagnostische Rolle Die Phonokardiographie hat zeigen können daß die früheren Anschauungen (man nehme rechts vom Sternum den Aorten und links den Pulmonalschluß wahr) den Tatsachen nicht völlig entsprechen Beim Aortenschluß werden nämlich größere Kräfte wirksam so daß die dabei erzeugten Schallerscheinungen viel weiter hörbar sind als diejenigen des Pulmonalschlusses Zur Identifizierung des Aorten und Pulmonalklappenschlusses dient wie wir zeigen konnten die Insizur der Carotispulskurve Da sie durch den Aortenschluß entsteht und eine gewisse Zeit zur Fortleitung in die Carotis nötig ist (sogenannte zentrale Pulswellenlaufzeit durchschnittlich 0 02 bis

von HEGGLIN und HOLZMANN aufweisen muß. Außerdem ist die Austreibungszeit verlängert bei hochgradiger Aortenstenose.

5 *Systolendauer* Normalwerte entsprechen der Formel von HEGGLIN und HOLZMANN für die QT Dauer ± 0.02 sec.

6 *Zentrale Pulswellenlaufzeit* Normal ca 0.03 sec bei Kindern und Jugendlichen ca 0.04 sec verkürzt bei Aortensklerose und Hochdruck.

7 *Pulswellenanstiegszeit* Normal ca 0.06 sec verlängert bei Aortenstenose.

Bei der Bestimmung der Umformungszeit ist zu beachten, daß das Vorsegment des I Tones mit seinen niedrigen Frequenzen ausgesiebt wird. Deshalb empfiehlt sich der Frequenzgang in Über der Spitze und Basis beginnt nur das Hauptsegment des I Tones gleichzeitig. In niedrigen Frequenzgängen findet sich dagegen ein früherer Beginn des I Tones über der Spitze. Bei der Ausmessung der hamodynamischen Zeiten können nur technisch einwandfreie Carotispulskurven verwendet werden, weil sich sonst für die Druckanstiegs- und Anspannungszeit falsche Werte ergeben. Die Lage der Inzisur ist dagegen auch bei schlechter Technik überraschend konstant, so daß hier weniger Fehlerquellen zu befürchten sind. Die Bestimmung der Pulswellengeschwindigkeit hat keine praktische Bedeutung. Weder hat sich die sphygmographische Schlag- und Minutenvolumenbestimmung in die Klinik einführen lassen, noch ist die Pulswellengeschwindigkeit ein gutes Maß für sklerotische Prozesse an der Aorta, es sei denn, man beseitigte eine sympathicotone GefäßEinstellung durch Pilocarpin Verabfolgung (cave Nebenwirkung!).

Die Form der Pulskurve ist dazu benutzt worden, Rückschlüsse auf die Gefäßwandbeschaffenheit zu ziehen. Nach DOVZELOT teilt man verschiedene Stadien der Hypertension bestimmten Pulskurvenformen zu. Ganz grob gesagt wird mit zunehmendem Alter Gefäßsklerose und höherwerdendem Druck eine Tendenz zur Abrundung des Puls kurvengipfels und Verminderung der Dikrotie beobachtet.

Wegen der unterschiedlichen Pulswellengeschwindigkeit können Aorten- und Ilia capulskurven zur zeitlichen Festlegung von Vorgängen am Herzen nicht herangezogen werden. Ihre Schreibung ist für den Nachweis von Stenosen in der Aorta (> B Isthmusstenose oder endangiotische Prozesse) von Wert.

3 Venen und Leberpulsschreibung

a) Aufnahmegeräte

Seit einiger Zeit bevorzugen wir zur Venen- und Leberpulsschreibung eine Empfehlung HARTMANNS folgend die gewöhnliche Arterienpuls-kapsel oder den Flongationsmesser.

Bisher wurden überwiegend photoelektrische Abnehmer verwendet, da sie eine Beeinträchtigung der Venenwandbewegungen vermeiden. In den Strahlengang einer optischen Bank bestehend aus einer Lichtquelle, einer Sammellinse und einer Photozelle wird ein Pappstreifen gebracht, der mit Vaseline auf die Jugularvene des Patienten aufgeklebt wird.

B Aufnahmeapparatur

1 Untersuchungsraum

Mechanokardiographische Untersuchungen sollen in einem möglichst ruhig gelegenen wohltemperierten Raum erfolgen. Eine besondere Abschirmung durch schalldämpfende Wand und Deckenverkleidung fördert die Qualität der Kurven, ist aber nicht unbedingt erforderlich. Der Patient soll auf einer 60 cm hohen Pritsche, deren Kopfende hochstellbar sein muß, gelagert werden. Um die Cerate für die Hilfskurven bequem anbringen zu können, ist freier Zugang zum Patienten von beiden Seiten wünschenswert. Der Apparat steht am besten links oder rechts neben dem Kopfende des Untersuchungsbettes. Dann kann mit einer Hand Mikrophon oder Tulpakapsel gehalten und mit der anderen der Apparat bedient werden.

2 Einfach und Mehrfachschreiber photographische oder Direktschreiber

Mechanokardiographie ist die synchrone Registrierung verschiedener Ausprägungen der Herzaktion. Sie kann daher nur mit Mehrfachschreibern (mindestens zweifach) durchgeführt werden. Wir haben in den letzten Jahren die wichtigsten photographischen und direktschreibenden Aufnahmegeräte erproben können. Dabei hat sich gezeigt, daß für die praktische Diagnostik beide Methoden ungefähr gleichwertig sind. Da die Hebel-Direktschreiber schon innerhalb des den Herzschall umfassenden Frequenzbereiches eine unzulässige Amplitudenbegrenzung bei höheren Frequenzen zeigen, ist ihre Schreibung nur mit Hilfe eines besonderen Kunstgriffes möglich. Er besteht in der Amplitudensteuerung einer vom Apparat selbst erzeugten Frequenz durch den Herzschall. Mit dieser mittelbaren Registrierung können Frequenzen beliebiger Höhe erzielt werden. Ihre Verwendung in den steileren Frequenzgängen von h_1 aufwärts (vgl. S. 3 und 4) scheint uns wegen des dort auftretenden visuellen Auflösungsvermögens unbedenklich.

Die Düsen- oder Strahlschreiber geben Herzschallschwingungen im praktisch wichtigen Bereich amplitungetreu wieder.

Der Vorteil der Direktschreibung liegt in der unmittelbaren Kontrollmöglichkeit. Für die Herzschallregistrierung ist dies von ungleich größerem Nutzen als für die Elektrokardiographie, da die Aufnahmebedingungen hinsichtlich des Frequenzganges der Verstärker, der Lage des Mikrophones, der Kontrolle der Atmung usw. den jeweiligen Verhältnissen angepaßt werden müssen.

Eine scheinbare Erhöhung kann bei Überlagerung der a Welle und der d Welle bei relativ kurzer Diastole vorkommen. Bei Vorhofflattern kann der Grad der Blockierung an der Venenpulscurve erkannt werden. Bei Vorhofflimmern fehlt wie erwähnt die a Welle.

Die s Welle hat praktisch keinen diagnostischen Wert. Auch die zeitliche Lage des Punktes x ist nicht bedeutsam. Wie oben ausgeführt, kann eine Verlegung vor den II. Ton keinesfalls als Zeichen einer Herzinsuffizienz gewertet werden.

Der Gipfel der d Welle zeigt die Trikuspidalöffnung an, wodurch die Identifizierung eines Trikuspidalöffnungstones u. U. möglich wird. In der Regel liegt der Mitralöffnungston deutlich vor dem Gipfel von d, da die Diastole des linken Ventrikels früher beginnt. Der Gipfel der d Welle und der Punkt O (vgl. S. 17) der rechtsseitigen Spitzenstoßkurve entsprechen sich, während O des linksseitigen Apexogramms unabhängig davon ist. Die Möglichkeit der Festlegung der Trikuspidalöffnung oder mit anderen Worten der Trikuspidalöffnungszeit auch ohne Trikuspidalöffnungston hat gewisse diagnostische Bedeutung, da die Zeit von II_r bis zum Gipfel von d oder bis O rechts ein Maß für den endsystolischen Druck in der A. pulmonalis darstellt.

Hier benutzen wir die umgekehrten Überlegungen wie bei der Abschätzung des Druckes im linken Vorhof durch Ausmessung der Mitralöffnungszeit. Wir werden dort sehen (vgl. S. 26), daß dieser Wert nur bei ungefähr normalem Arterien- und Venendruck gültig ist, während bei stark erhöhtem Druck im großen Kreislauf die Mitralöffnungszeit verlängert ist. Bei der Abschätzung der Höhe des Pulmonal-druckes muß natürlich der rechtsseitige Vorhofdruck mit berücksichtigt werden, was anhand der Venendruckbestimmung möglich ist. Erhöhter rechtsseitiger Vorhofdruck verkürzt, erhöhter Pulmonaldruck verlängert die Trikuspidalöffnungszeit.

Das v Tal zeigt das Ende der schnellen Füllung des rechten Ventrikels an, y liegt also synchron mit dem III. Ton und dem Ende der schnellen Füllungs-welle der rechtsseitigen Spitzenstoßkurve. Beide Kurven können daher zur Identifizierung des rechtsseitigen III. Tones benutzt werden, während der linksseitige aus denselben runden wie der Mitralöffnungston in der Regel früher liegt (vgl. Abb. 9).

Eine Verzögerung der Auffüllung des rechten Ventrikels oder besser eine verzögerte Entleerung des rechten Vorhofes wie sie z. B. bei der Trikuspidalstenose eintritt, zeigt sich durch einen verzögerten Anstieg der Kurve nach y an d, liegt daher in diesen Fällen besonders spät (Normalwert ca. 0,80 sec nach Q im EKG).

4 Spitzenstoßschreibung

a) Aufnahmegeräte

Die Spitzenstoßkurve schreiben wir mit denselben Abnehmern wie die Sphygmogramme (vgl. S. 9).

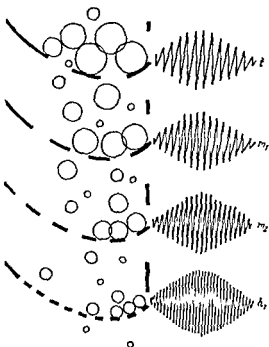


Abb 1 Schematische Darstellung der Herzschallfilter als Siebe mit unterschiedlichen Lochgrößen

Punkte der Nennfrequenz an die Kurve des Frequenzganges angelegten Tangent (vgl. Abb 1)

Auf Grund praktischer Erfahrungen haben sich in Deutschland folgende Filter eingeführt

$$m_{23} \quad m_{175} \quad m_{140} \quad m_{100} \quad h_1 \quad a \quad \text{und} \quad h_{400}$$

Die Filter mit den kleinsten Lochern d. h. steile Filter wie z. B. m und h_1 benötigen zur Schreibung ausreichend deutlicher Schallkurven einen höheren Druck (= Verstärkungsgrad) als die Tonsiebe mit großen Lochern. Sie sind deshalb für Störgeräusche empfindlicher.

Unser Ohr nimmt nicht alle Schallchwingungen so auf wie sie in der Außenwelt vorkommen. Es bevorzugt die hohen Frequenzen und ist für tiefe unempfindlich. Wir hören also ebenfalls durch ein Sieb. Das m_2 -Filter hat einen ähnlichen Frequenzgang wie das Ohr, so daß damit geschriebene Schallkurven dem Gehörseindruck am ähnlichsten sein sollten. Dieser Ähnlichkeit sind aber Grenzen gesetzt, da Geleichteindrücke Gehörseindrücken ohnehin nicht völlig entsprechen können. Praktisch hat die Gehör ähnliche Darstellung des Herzschalles daher nur geringe Bedeutung. Sie ist nur dann zu empfehlen, wenn neben einer Bezugskurve h auch eine Schallkurve registriert werden kann. Bei den Kurven mit flacher Charakteristik wie m_2 werden zwar die niederfrequenten Schwingungen noch gut dargestellt und die hochfrequenten sind häufig schon zu erkennen. Diagnostisch aufschlußreicher sind jedoch meh-

In diesem Zusammenhang wollen wir auf die Darstellung der Volumenschwankungen des linken Vorhofes mit Hilfe des Ultraschalles hinweisen mit dem die verzögerte Entleerung des linken Vorhofes bei Mitralstenosen bestimmt werden kann. Die Spitzenstoßkurve macht umgekehrt die verzögerte Füllung des linken Ventrikels sichtbar.

5 Die Unterscheidung eines links- und rechtsseitigen III Tones ist ebenfalls zuweilen möglich, da der III Ton mit dem Gipfel der schnellen Füllungswelle zusammenfällt. Bei verlängerter PQ Zeit und Tachykardie kann auch die Abgrenzung eines Vorhoftones vom III Ton ermöglicht werden.

6 Für die Unterscheidung eines Austin Flint Geräusches von einem zusätzlichen Mitralstenosengeräusch bei einer Aorteninsuffizienz ergibt die Spitzenstoßkurve folgende Hinweise: je weiter das Frühdiaastolikum über das Ende der schnellen Füllung hinausreicht, um so wahrscheinlicher handelt es sich um eine organische Stenose. Ferner ist bei der organischen Mitralstenose die a Welle verkleinert, bei der Aorteninsuffizienz mit funktioneller Stenose dagegen verstärkt.

7 Die a Welle der Venenpulskurve und die der Spitzenstoßkurve unterscheiden sich erheblich. Während eine Überhöhung der ersteren in jedem Fall eine verstärkte Tätigkeit des rechten Vorhofes anzeigt, läßt die letztere eine vermehrte Arbeit des jeweiligen Vorhofes nur erkennen, wenn eine freie Kommunikation, also normale nicht stenosierte AV Klappen vorhanden sind.

5 Atmungsschreibung

a) Aufnahmegerät und Registriertechnik

Atmungskurven schreiben wir mit Hilfe einer Einrichtung, bei der der Patient zwischen einer Photozelle und einer Lichtquelle liegt (vgl. Abb. 10). Nur die Empfindlichkeit des Verstärkers muß einreguliert werden. Besonders nützlich ist ein Gleichstromverstärker, bei dem die Abklingzeit der Kopplungskondensatoren der üblichen RC Verstärker keine Rolle spielt. Solche Atmungs-

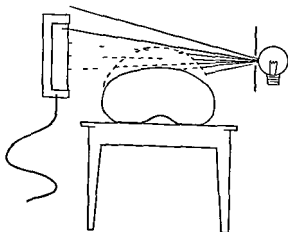


Abb. 10 Atmungsschreibung mit festmontierter Photozelle

Das Mikrophon soll möglichst auf unbehaarten Stellen aufgesetzt werden sonst müssen die Haare angefeuchtet oder sogar abrasiert werden. Kleidungsstücke können Anlaß zu Störgeräuschen werden. Man verhindert sie durch volles Entkleiden des Oberkörpers. Kratzen des Mikrophonkabels kann bei sorgfältiger Lagerung vermieden werden.

Entsprechend der Auskultation ist manchmal die Wahrnehmbarkeit der Schallerscheinung nicht in Rückenlage sondern in linker Seitenlage in aufrechter Haltung oder bei vornübergebeugtem Oberkörper am besten. Das Mikrophon muß dann mit der Hand evtl. durch eine Hilfsperson gehalten werden wobei auf festen Kontakt mit dem Körper zu achten ist.

d) Atemstillstand

Die Schallschreibung erfolgt in der Regel am besten im expiratorischen Atemstillstand. Er muß mit dem Patienten zunächst einige Male geübt werden. Manche Geräusche sind allerdings inspiratorisch lauter (z. B. bei Trikuspidalinsuffizienz). Die Veränderung von Tönen und Geräuschen bei der Atmung ist u. U. von differentialdiagnostischer Bedeutung. Man schreibt daher am besten unter verschiedenen tiefer Atmung bei gleichzeitiger Registrierung der Thoraxwandbewegung.

e) Regulierung der Verstärkerempfindlichkeit

Die optimale Einstellung der Verstärkerempfindlichkeit ist von großer Bedeutung für gute Schallkurven. Die meisten Kurven werden mit zu geringer Empfindlichkeit geschrieben. Das ergibt zwar schon aussehende Phonokardiogramme mit ruhiger Nulllinie, aber das, worauf es ankommt, vor allem ein leises Geräusch, ist oft nicht dargestellt. Andererseits können durch zu hohe Verstärkung Geräusche vorgetauscht werden. Es empfiehlt sich daher die Nulllinie durch den ubiquitären Störpegel in den niederen Frequenzgängen 2 bis 3 mm in höheren nicht breiter als 1 bis 2 mm werden zu lassen.

Es wird nicht immer möglich sein, alle akustischen Phänomene eines Patienten mit einem einzigen Verstärkungsgrad aufzunehmen. In unklaren Fällen sollte die Verstärkung variiert werden. Besonders bei den Direktschreibern ist die Auschlaggröße begrenzt, so daß Geräusche großer und kleiner Intensität manchmal nicht zugleich in völlig naturgetreuer Weise gebracht werden können. So wird beispielsweise einmal ein lautes systolisches Geräusch bandförmig entzerrt und es erscheint ein leises Diastolikum. Umgekehrt ist mit schwacher Verstärkung das Diastolikum kaum zu erkennen, während die Gestalt des Systolikums den tatsächlichen Amplitudenverhältnissen entsprechend gezeichnet ist.

f) Normales Phonokardiogramm

Beim C- und den zwei Herztönen in allen Frequenzgängen deutlich zu erkennen. Über der Spitze hat gewöhnlich der I- über der Basis der II-Ton

Mit Hilfe eines sehr kleinen Unterwassermikrophones das aus einem U Boot Horchgerät entwickelt wurde konnten WALLACE und LEWIS im Herzen Schall aufnahmen durchföhren Das Mikrophon ist an der Spitze eines Katheters befestigt Ein ähnliches Verfahren benutzt eine französische Arbeitsgruppe während LUISADA und Mitarbeiter die Druckschwankungen aus dem Herzzinnern elektrisch differenzieren und so Schallkurven ohne Einführung eines besonderen Mikrophones erhalten Beim letzteren Verfahren gehen natürlich die mechanischen Fehlerquellen des Herzkatheters mit ein die sich bei den höheren Frequenzen starker bemerkbar machen

Allgemein hat sich bei diesen Untersuchungen ergeben daß die Geräusche am Entstehungsort sehr viel größere Intensität haben als in der Umgebung In der Richtung des Blutstromes oder eines pathologischen Rückflusses breiten sie sich verstärkt aus Differentialdiagnostisch kommt dem Verfahren Bedeutung zu Alle anderen Untersuchungen wie z B die Druckmessung und die Blutabnahme zur Oxymetrie sind gleichzeitig durchführbar

Die Unterscheidung von Ventrikel und Vorhofseptumdefekten ist auf diese Weise möglich da bei den ersteren immer ein lautes Systolikum im rechten Ventrikel nachweisbar ist während bei Vorhofseptumdefekten vor allem in der A pulmonalis das Geräusch der relativen Stenose beobachtet wird Beim offenen Ductus arteriosus findet sich das typische Maschinengeräusch nur in der Pulmonalarterie während im Vorhof und Ventrikel meist keine Geräusche vorhanden sind

Die intrakardiale Phonokardiographie hat uns einige neue Erkenntnisse vermittelt Sie ist an den Katheterismus des rechten oder linken Herzens gebunden Die Aufgabe der Mechanokardiographie ist es aber nach Möglichkeit ohne diese eingreifenden Untersuchungen zu einer Diagnose zu kommen

9 Ballistokardiographie

Für die Ballistokardiographie gibt es verschiedene Apparaturen Prinzipiell unterscheidet man die Beschleunigungs- und Elongationsballistokardiographie Der letzteren wird neuerdings Bedeutung für die Schlagvolumenbestimmung beigemessen Die Ergebnisse werden allerdings unterschiedlich beurteilt Überhaupt ist der diagnostische Wert des Verfahrens noch umstritten

10 Rheographie

Die Rheographie kann mit Hilfe eines Zusatzgerätes ebenfalls mit handelsüblichen Elektrokardiographen durchgeführt werden Widerstandsänderungen die mit diesem Verfahren erfaßt werden beruhen vorwiegend auf Änderung des Blutgehaltes im Körper Deshalb wird die Rheographie zum Nachweis von Durchblutungsstörungen des Kopfes und der Peripherie zur Venenpulsschreibung o ä verwendet Die sogenannte Querrheographie trägt zur Lokalisation von Gefäßverschlüssen in den Extremitäten bei

pen verursacht sein sollen. Grundsätzlich muß hierzu jedoch gesagt werden, daß die Öffnung und Schließung normaler Klappen geräuschlos geschieht. Die Abgrenzung der vier Schwingungsgruppen wie sie LUISADA zum Beispiel vornimmt ist uns nicht möglich.

Der I Ton wird durch die Anspannung der Kammerwände einschließlich der Segelklappen um den inkompressiblen Kammerinhalt verursacht. Der normale II Ton hat Frequenzen von ca. 100 bis 120 Hz. Er entsteht durch die Anspannung der bereits geschlossenen Aorten- und Pulmonalklappen beim plötzlichen Druckabfall in den Ventrikeln. In der Regel geht der Aortenschluß voran und erzeugt Schwingungen höherer Frequenz. Schon beim Gesunden vor allem im Inspirium können die beiden Anteile getrennt sein (vgl. S. 21 und Tab. 1).

Die Lautstärke der Herztöne hängt von kardialen und extrakardialen Faktoren ab. Zu den ersteren zählen folgende:

- 1 Die Größe der auftretenden Kräfte (z. B. Aortendruck, Pulmonaldruck)
- 2 Die Schwingungsfähigkeit der Klappen (z. B. Abschwächung des II Tones bei Aortenstenose oder Mitralstenose mit verkalkter Ventilebene)
- 3 Die Stellung der Klappen (z. B. Verstärkung des I Tones bei frühzeitig einsetzenden Extrasystolen bei verkürzter oder sehr stark verlängerter Überleitungszeit und bei der Mitralstenose die Abschwächung des I Tones bei mäßig verlängerter AV Überleitung)

Unter den extrakardialen Faktoren spielt der Luftgehalt der Lungen eine große Rolle. Ein Emphysem erschwert die Schallschreibung sehr. Das ist der Grund, warum die Schallkurven von Jugendlichen in der Regel viel schöner ausfallen. Durch das Emphysem werden vor allem die höheren Frequenzen abgeschwächt. Wir sehen deshalb die Herztöne meist recht gut in t und m_1 . Auch die Dicke der Muskelschicht und der Fettgehalt der Brustwand sind von Einfluß. Die Mammæ müssen bei der Schallschreibung ebenso umgangen werden wie bei der Auskultation.

Herzgeräusche sind bekanntlich nicht immer pathologisch. Die Unterscheidung der krankhaften von den bedeutungslosen wird im Kapitel Herzgeräusche S. 30 besprochen.

g) Intensitätsvergleich der Basistöne

Der Vergleich der Intensität der II Basistöne spielt seit alterher eine große diagnostische Rolle. Die Phonokardiographie hat zeigen können, daß die früheren Anschauungen (man nehme rechts vom Sternum den Aorten- und links den Pulmonalschluß wahr) den Tatsachen nicht völlig entsprechen. Beim Aortenschluß werden nämlich größere Kräfte wirksam, so daß die dabei erzeugten Schallerscheinungen viel weiter hörbar sind als diejenigen des Pulmonalschlusses. Zur Identifizierung des Aorten- und Pulmonalklappenschlusses dient wie wir zeigen konnten die Inzisur der Carotispulskurve. Da sie durch den Aortenschluß entsteht und eine gewisse Zeit zur Fortleitung in die Carotis nötig ist (sogenannte zentrale Pulswellenlaufzeit durchschnittlich 0,02 bis

Mechanokardiographische Beziehungen

Entstehungsmechanismus

Ort der besten Registrierbarkeit Frequenzgang

Bezeichnung

IV Ton (Vorhof) (vgl. Abb 8b 8b 16 38 33)
 Absolute Herzdämpfung physiologisch
 t-m₁ pathologisch
 mg-m

Verstärkte Vorhof-
 tätigkeit

Vorhofen beginnt ca 0 05-0 10 sec nach Anfang von P Rechtseiter und linksseitiger Vorhofen lassen sich bei Mitregistrierung der Atmung unterscheiden Verstärkung des rechtsseitigen Vorhofens im Insuperium außer dem große a Wellen im Phlebogram Der IV Ton fällt mit der Vorhofswelle der entsprechnenden Spitzenstoßkurve zusammen

Summationsgalopp (III + IV)

Absolute Herzdämpfung
 t-m

Summe beider Mechanismen bei kurzer Diastole und verlängerter Überleitungszeit

Die Entscheidung oben Summationsgalopp ein III oder IV Herzton vorliegt ist meistens schwierig Die zeitliche Beziehung zur Spitzenstoßkurve erüchtelt sie Beim III Ton muß die schnelle Füllungswelle ausgesprochen sein und ihr Gipfel zeitlich mit dem Extraton zusammenfallen Der Vorhof ton muß mit der a Welle der Spitzenstoßkurve übereinstimmen Bei Verlangsamung der Pulsfrequenz weichen beide Komponenten des Extratons auseinander

Mitraloffnungston (vgl. Abb 20 26 34 45)

Mitte zwischen Sternastrich und Herzspitze
 mg-m₂

Zurückschlagen der stenotisierten aber beweglichen Mitral Klappen in die vorhofkonkave Lage (kommt nur bei organischen Stenosen vor)

Der Mitraloffnungston zeigt bewegliche Klappen an Der Abstand vom Aorten schluß ist ein ungefähres Maß für den Druck im Vorhof Der Mitraloffnungston muß mit dem Punkt O in der linksseitigen Spitzenstoßkurve zusammenfallen

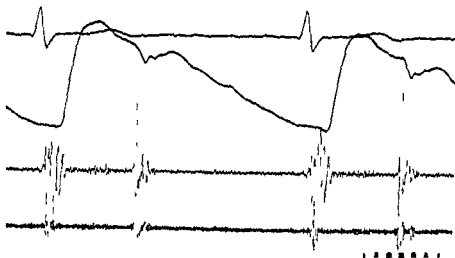


Abb 3 Normales Carotissphygmogramm

Herzschallmikrophon	3/4 JCR linkssternal
Papiervorschub	100 mm/sec
Kurven	EKG Ableitung II
	Carotispulscurve
	Herzschall m h ₁

Herzschallkurven ohne Besonderheiten Umformungszeit 0 06 sec Druckanstiegszeit 0 095 sec Anspannungszeit 0 09 sec Austreibungszeit 0 295 sec zentrale Puls wellenlaufzeit 0 035 sec Für den Steilanstieg der Pulscurve ergibt sich 0 08 sec

c) Normales Kurvenbild

Das normale Carotissphygmogramm zeigt eine kleine a Welle einen steilen schnellen Anstieg (normalerweise bis 0 06 sec) der manchmal von einer anakroten Welle unterbrochen ist einen plateauartigen Gipfel im absteigenden Schenkel eine deutliche Incisur die dem Aortenschluß entspricht und eine mehr oder weniger deutliche diastole Welle. Die Incisur liegt beim richtig geschriebenen Sphygmogramm oberhalb der Null Linie. Außerdem muß sich der Steilanstieg scharf von dem allmählichen während der Anspannungszeit abheben (vgl. Abb 3).

Normale Aorten und Iliacapulskurven unterscheiden sich durch ihre rundere Form deutlich von der Carotispulscurve. Die a Welle fehlt und oft ist keine Incisur vorhanden. Bei erhöhtem Schlagvolumen ist eine anakrote Welle erkennbar.

d) Mechanokardiographische Synopsis

Aus der Simultanschreibung von FKG Herzschall und Carotispulscurve ergibt sich eine hamodynamische Unterteilung der Systole (vgl. Abb 4).



Abb 15 a/b III Herzton

Herzschallmikrophon a) 2/3 JCR linkssternal
 b) über der Herzspitze
 Papiervorschub 100 mm/sec
 Kurven EKG Ableitung II
 Herzschall t m₁ m_g

Herztöne unauffällig Mittelfrequentes angedeutete spindelförmiges protosystolisches Geräusch (akzidentell) 0 12 sec nach Beginn des II Tons ein niederfrequenter III Herzton erkennbar über der Spitze dagegen deutlich dargestellt ist

Abb 16 IV Herzton (Vorhofton)

Herzschallmikrophon 3/4 JCR
 linkssternal
 Papiervorschub 100 mm/sec
 Kurven EKG Ableitung II
 Herzschall t m₁ m_g



Die Herztöne sind unauffällig 0 10 sec vor Beginn des I Tones ist ein niederfrequenter Vorhofton erkennbar Uncharakteristisches vorwiegend mittelfrequentes vom I Ton durch ein kurzes freies Intervall getrenntes im letzten Drittel der Systole endendes akzidentelles Geräusch

von HEGGLIN und HOLZMANN aufweisen muß. Außerdem ist die Austreibungszeit verlängert bei hochgradiger Aortenstenose.

5 *Systolendauer* Normalwerte entsprechen der Formel von HEGGLIN und HOLZMANN für die QT Dauer ± 0.02 sec.

6 *Zentrale Pulswellenlaufzeit* Normal ca 0.03 sec bei Kindern und Jugendlichen ca 0.04 sec verkürzt bei Aortensklerose und Hochdruck.

7 *Pulswellenanstiegszeit* Normal ca 0.06 sec verlängert bei Aortenstenose.

Bei der Bestimmung der Umformungszeit ist zu beachten, daß das Vorsegment des I Tones mit seinen niedrigen Frequenzen ausgesiebt wird. Deshalb empfiehlt sich der Frequenzgang in Über der Spitze und Basis beginnt nur das Hauptsegment des I Tones gleichzeitig. In niedrigen Frequenzgängen findet sich dagegen ein früherer Beginn des I Tones über der Spitze. Bei der Ausmessung der hamodynamischen Zeiten können nur technisch einwandfreie Carotispulskurven verwendet werden, weil sich sonst für die Druckanstiegs- und Anspannungszeit falsche Werte ergeben. Die Lage der Inzision ist dagegen auch bei schlechter Technik überraschend konstant, so daß hier weniger Fehlerquellen zu befürchten sind. Die Bestimmung der Pulswellengeschwindigkeit hat keine praktische Bedeutung. Weder hat sich die sphygmographische Schlag- und Minutenvolumenbestimmung in die Klinik einführen lassen, noch ist die Pulswellengeschwindigkeit ein gutes Maß für sklerotische Prozesse an der Aorta, es sei denn, man beseitigte eine sympathicotone GefäßEinstellung durch Pilocarpin Verabfolgung (cave Nebenwirkung!).

Die Form der Pulskurve ist dazu benutzt worden, Rückschlüsse auf die Gefäßwandbeschaffenheit zu ziehen. Nach DOVZELOT teilt man verschiedene Stadien der Hypertension bestimmten Pulskurvenformen zu. Ganz grob gesagt wird mit zunehmendem Alter Gefäßsklerose und höherwerdendem Druck eine Tendenz zur Abrundung des Pulskurvengipfels und Verminderung der Dikrotie beobachtet.

Wegen der unterschiedlichen Pulswellengeschwindigkeit können Aorten- und Iliaapulskurven zur zeitlichen Festlegung von Vorgängen am Herzen nicht herangezogen werden. Ihre Schreibung ist für den Nachweis von Stenosen in der Aorta (> B Isthmustenose oder endangiotische Prozesse) von Wert.

3 Venen und Leberpulsschreibung

a) Aufnahmegeräte

Seit einiger Zeit bevorzugen wir zur Venen- und Leberpulsschreibung eine Empfehlung HARTMANNS folgend die gewöhnliche Arterienpuls-kapsel oder den Flongationsmesser.

Bisher wurden überwiegend photoelektrische Abnehmer verwendet, da sie eine Beeinträchtigung der Venenwandbewegungen vermeiden. In den Strahlengang einer optischen Bank bestehend aus einer Lichtquelle, einer Sammellinse und einer Photozelle wird ein Pappstreifen gebracht, der mit Vaselin auf die Jugularvene des Patienten aufgeklebt wird.

TABELLE 3

Die wichtigsten funktionellen Geräusche und ihre Unterscheidung von den entsprechenden organisch bedingten Klappengeräuschen

Name	Art des funktionellen Vitiums	Vorkommen	Unterscheidungsmerkmale von den entsprechenden organischen Geräuschen
Austin Flint	funktionelle Mitralklappenstenose	Bei Aorteninsuffizienz Ductus arteriosus apertus u. bei Hochdruck evtl. auch bei Mitralklappeninsuffizienz	Abzugrenzen von Mitralklappenstenose Kein paukender I Ton kein Mitralklappenstoß keine verlängerte Umformungszeit Bei Sinusrhythmus prä-systolisches Crescendo Verstärkte a Welle in der Spitzenstoßkurve Früh diastolisches Geräusch hat niedrige Frequenz und dauert nicht länger als schnelle Einflußphase Vgl. Spitzenstoßkurve
	funktionelle Trikuspidalklappenstenose	Bei Vorhofseptumdefekt oder Dilatation des rechten Ventrikels aus anderen Ursachen	Abzugrenzen von Trikuspidalklappenstenose Gemeinsam ist beiden inspiratorische Verstärkung (Atemkurve) Relative Stenose niedrigere Frequenz kürzere Dauer da nur in Phase der schnellen Füllung markiert durch das Ende der schnellen Füllungsphase in der rechtsseitigen Spitzenstoßkurve Überschreitet y in der Venenpulscurve nicht
Begleitastolikum bei Aorteninsuffizienz	funktionelle Aortenklappenstenose	Bei Aorteninsuffizienz	Abzugrenzen von Aortenklappenstenose Keine Hakenkammkurve keine Abschwächung der Töne Keine Fortleitung in die Carotis Maximum des Spindelgeräusches in der ersten Hälfte der Systole Bei relativer Stenose autophonisches Carotidgeräusch daher Versäpung bis zum Eintreffen der Pulsquelle

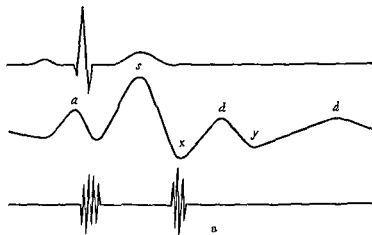


Abb 6a/b Normale Venenpulskurve

a) Die 3 Gipfel der Venenpulskurve werden mit a s d bezeichnet der systolische Kollaps mit x und der diastolische mit y d ist nur bei langer Diastolendauer vorhanden

b) Herzschallmikrophon Mitte des Sternums in Höhe der 3 Rippe
Papiervorschub 50 mm/sec
Kurven Herzschall m₁ t
Venonpulskurve (Elongationsgeber)
EKG Ableitung II

Normale Herztöne in t Vorhof tone Die Venenpulskurve zeigt eine etwas gespaltene Vorhofwelle eine deutliche s und d Welle Das x liegt viel tiefer als das y Tal d ist angedeutet erkennbar

b

dem Abfall der Carotispulskurve Der tiefste Punkt liegt um so später je stärker die Carotisbeimischungen sind Da die Inzisur dem II Ton folgt kann auch x danach liegen Das y Tal entsteht durch die schnelle Vorhofentleerung in der frühen Diastole

Während früher allgemein die Ansicht herrschte der Venenpuls müsse als Volumenpuls und deshalb photoelektrisch registriert werden hat sich gezeigt

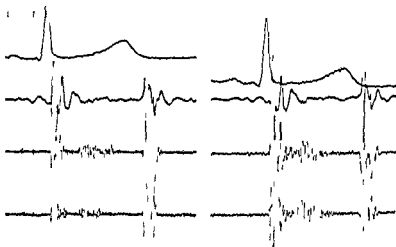


Abb 22 a/b Akzidentelles systolisches Geräusch
 Herzschallmikrophon 2/3 JCR linkssternal
 Papiervorschub 100 mm/sec
 Kurven a) EKG Ableitung II
 Herzschall t m h₁
 b) EKG Ableitung II
 Herzschall t m₁ m_g

I Herzton ohne Besonderheiten. Der II Ton ist mit einem Intervall von 0.04 sec gespalten. Vom I Ton durch eine kurze Pause getrennt, kommt ein vorwiegend mittelfrequentes, kaum über die Mitte der Systole hinausreichendes Geräusch mit wechselnder Amplitude zur Aufzeichnung.



Abb 23 Hochfrequentes musikalisches Geräusch (akzidentell)

Herzschallmikrophon 3/4 JCR links parasternal
 Papiervorschub 100 mm/sec
 Kurven FKG Ableitung II
 Herzschall t m h₁

In h₁ kommt ein aus regelmäßigen Schwingungen aufgebautes, angedeutet spindelförmiges, mesosystolisches Geräusch zur Darstellung. Seine Frequenz liegt bei 500 Hz. Der II Ton ist mit einem Intervall von 0.03 sec gespalten – Auskultatorisch hatte das Geräusch pfeifenden Klangcharakter.

Eine scheinbare Erhöhung kann bei Überlagerung der a Welle und der d Welle bei relativ kurzer Diastole vorkommen. Bei Vorhofflattern kann der Grad der Blockierung an der Venenpulscurve erkannt werden. Bei Vorhofflimmern fehlt wie erwähnt die a Welle.

Die s Welle hat praktisch keinen diagnostischen Wert. Auch die zeitliche Lage des Punktes x ist nicht bedeutsam. Wie oben ausgeführt, kann eine Verlegung vor den II. Ton keinesfalls als Zeichen einer Herzinsuffizienz gewertet werden.

Der Gipfel der d Welle zeigt die Trikuspidalöffnung an, wodurch die Identifizierung eines Trikuspidalöffnungstones u. U. möglich wird. In der Regel liegt der Mitralöffnungston deutlich vor dem Gipfel von d, da die Diastole des linken Ventrikels früher beginnt. Der Gipfel der d Welle und der Punkt O (vgl. S. 17) der rechtsseitigen Spitzenstoßkurve entsprechen sich, während O des linksseitigen Apexogramms unabhängig davon ist. Die Möglichkeit der Festlegung der Trikuspidalöffnung oder mit anderen Worten der Trikuspidalöffnungszeit auch ohne Trikuspidalöffnungston hat gewisse diagnostische Bedeutung, da die Zeit von IIr bis zum Gipfel von d oder bis O rechts ein Maß für den endsystolischen Druck in der A. pulmonalis darstellt.

Hier benutzen wir die umgekehrten Überlegungen wie bei der Abschätzung des Druckes im linken Vorhof durch Ausmessung der Mitralöffnungszeit. Wir werden dort sehen (vgl. S. 26), daß dieser Wert nur bei ungefähr normalem Arterien- und Pulsdruk gültig ist, während bei stark erhöhtem Druck im großen Kreislauf die Mitralöffnungszeit verlängert ist. Bei der Abschätzung der Höhe des Pulmonaldruckes muß natürlich der rechtsseitige Vorhofdruck mit berücksichtigt werden, was anhand der Venendruckbestimmung möglich ist. Erhöhter rechtsseitiger Vorhofdruck verkürzt, erhöhter Pulmonaldruck verlängert die Trikuspidalöffnungszeit.

Das v Tal zeigt das Ende der schnellen Füllung des rechten Ventrikels an, y liegt also synchron mit dem III. Ton und dem Ende der schnellen Füllungs-welle der rechtsseitigen Spitzenstoßkurve. Beide Kurven können daher zur Identifizierung des rechtsseitigen III. Tones benutzt werden, während der linksseitige aus denselben Curven wie der Mitralöffnungston in der Regel früher liegt (vgl. Abb. 9).

Eine Verzögerung der Auffüllung des rechten Ventrikels oder besser eine verzögerte Entleerung des rechten Vorhofes wie sie z. B. bei der Trikuspidalstenose eintritt, zeigt sich durch einen verzögerten Anstieg der Kurve nach y an d, liegt daher in diesen Fällen besonders spät (Normalwert ca. 0,80 sec nach Q im EKG).

4 Spitzenstoßschreibung

a) Aufnahmegeräte

Die Spitzenstoßkurve schreiben wir mit denselben Abnehmern wie die Sphygmogramme (vgl. S. 9).

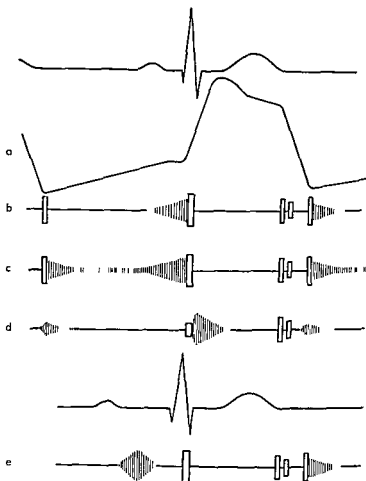


Abb 27 Schallerscheinungen bei Mitralkstenose

a) zeigt die linksseitige Spitzenstoßkurve ohne schnelle Füllungswelle. In Kurve b) ist die Amplitude des I Tones vergrößert und ein Mitralkoffnungston vorhanden. Protodiastolisches Decrescendo und präsysistolisches Crescendo des Mitralkstenosengeräusches sind durch ein freies Intervall getrennt, während sie in c) zu einem holodiastolischen Geräusch verbunden sind. Beispiel d) gibt ein Mitralkvitium wieder, bei dem die Intensität des I Tones verhältnismäßig gering ist. Der Mitralkoffnungston fehlt. Vom II Ton durch ein kurzes freies Intervall getrennt, erscheint ein kurzes diastolisches Decrescendo Geräusch. Dieser Befund ist häufig bei unreinen Mitralkfehlern, was durch das systolische Decrescendogeräusch angedeutet werden soll. Bei e) ist eine verlängerte I Q Zeit angenommen. Dann endet das präsysstolische Mitralkstenosengeräusch schon vor dem I Ton und weist Spindelform auf.

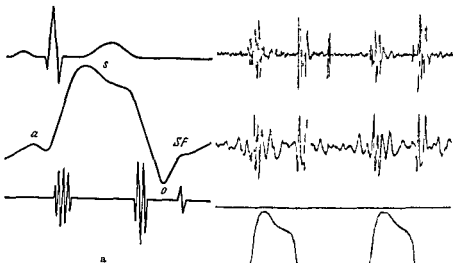


Abb 8 a/b Normale Spitzentoßkurve

a) Die Spitzentoßkurve besteht aus einer Vorhoffelle (a) einer systolischen Welle (s) und der schnellen Füllungswelle (SF). Das Tal zwischen systolischer Welle und schneller Füllungswelle wird als Punkt O bezeichnet.

- | | |
|------------------------|--|
| b) Herzschallmikrophon | Sternummitte |
| Pulskapsel | Über dem Spitzentoß in linker Seitenlage |
| Papiervorschub | 50 mm/sec |
| Kurven | Herzschall m_1 und t |
| | Spitzentoßkurve |
| | EKG Ableitung II |

I und II Herzton ohne Besonderheiten. Der niederfrequente III erscheint synchron mit dem Gipfel der schnellen Füllungswelle und der IV Ton fällt zeitlich mit der a Welle zusammen.

2 Trikuspidal und Mitraloffnungstone fallen mit dem rechts bzw links seitigen Punkt O zusammen. Sie können auf diese Weise u U voneinander unterschieden werden.

3 Das Verschmelzen des Mitraloffnungstones mit dem II Ton bei starker Druckerhöhung im linken Vorhof ist nur dann anzunehmen, wenn der Punkt O dem II Ton unmittelbar folgt. Sonst ist das Fehlen des Mitraloffnungstones klappenbedingt (vgl S 26).

4 Hauptsächlich für die Bewertung von Mitral und Trikuspidalstenosen hat die Spitzentoßkurve Bedeutung erlangt. Durch den behinderten Bluteinfluß ergibt sich eine typische Abflachung der schnellen Füllungswelle, die bei schweren Stenosen völlig verschwinden kann.

b) Mitralsuffizienz

Charakteristisch für die Mitralsuffizienz ist ein hochfrequentes systolisches Geräusch mit einem P m über der Herzspitze. Meistens findet man außerdem eine Abschwächung des I Tones, die nicht hochgradig zu sein braucht. Das systolische Geräusch stellt sich wegen seiner meist großen Intensität in allen gebräuchlichen Frequenzgängen dar. Bei schweren Fällen beginnt es unmittelbar nach dem I Ton und reicht bis zum II Ton. Es zeigt in der Regel ein deutliches Decrescendo. Jedenfalls gilt dies für die niedrig abgestimmten Kurven; in den hoch abgestimmten sehen wir dagegen manchmal ein deutliches Crescendo (vgl. Abb. 28, 30, 44). Aus dem gegensätzlichen Verhalten muß auf eine Frequenzzunahme gegen Ende der Systole geschlossen werden. An diesem Beispiel ist gut erkennbar, daß Formbeschreibungen von Geräuschen ohne genaue Bezeichnung der verwandten Filter wertlos sind. Bei Kindern und Jugendlichen reichen die Geräusche fast immer bandförmig bis zum II Ton. Ein Crescendo im letzten Drittel der Systole ist häufiger als beim Erwachsenen.

Echte systolische Crescendogeräusche oder bei der sog. Spätsystolika gibt es bei einer besonderen Form der Mitralsuffizienz, der sog. funktionellen muskularen Mitralsuffizienz nach A. WEDER. Sie entsteht durch Versagen der Papillarmuskeln z. B. durch einen Myokardinfarkt. Die Insuffizienz beginnt dann erst spät in der Systole, wenn der Kammerdruck sein Maximum erreicht hat (vgl. Abb. 31).

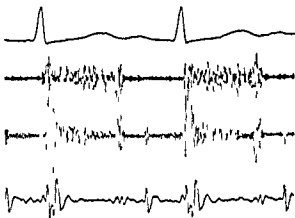


Abb. 30 Mitralsuffizienz

Herzschallmikrophon	Herzspitze
Papiervorschub	100 mm/sec
Kurven	EKG-Ableitung II
	Herzschall h_1 m_2 t

Unauffälliger I und II Herzton. 0,1 sec nach Beginn des II Tones erscheint in t und m ein deutlicher III Herzton. Hochfrequentes, holosystolisches Geräusch, das in h_1 eher bandförmig ist, in m dagegen Decrescendocharakter aufweist.

In diesem Zusammenhang wollen wir auf die Darstellung der Volumenschwankungen des linken Vorhofes mit Hilfe des Ultraschalles hinweisen mit dem die verzögerte Entleerung des linken Vorhofes bei Mitralstenosen bestimmt werden kann. Die Spitzenstoßkurve macht umgekehrt die verzögerte Füllung des linken Ventrikels sichtbar.

5 Die Unterscheidung eines links- und rechtsseitigen III Tones ist ebenfalls zuweilen möglich, da der III Ton mit dem Gipfel der schnellen Füllungswelle zusammenfällt. Bei verlängerter PQ Zeit und Tachykardie kann auch die Abgrenzung eines Vorhoftones vom III Ton ermöglicht werden.

6 Für die Unterscheidung eines Austin Flint Geräusches von einem zusätzlichen Mitralstenosengeräusch bei einer Aorteninsuffizienz ergibt die Spitzenstoßkurve folgende Hinweise: je weiter das Frühdiastrikum über das Ende der schnellen Füllung hinausreicht, um so wahrscheinlicher handelt es sich um eine organische Stenose. Ferner ist bei der organischen Mitralstenose die a Welle verkleinert, bei der Aorteninsuffizienz mit funktioneller Stenose dagegen verstärkt.

7 Die a Welle der Venenpulskurve und die der Spitzenstoßkurve unterscheiden sich erheblich. Während eine Überhöhung der ersteren in jedem Fall eine verstärkte Tätigkeit des rechten Vorhofes anzeigt, läßt die letztere eine vermehrte Arbeit des jeweiligen Vorhofes nur erkennen, wenn eine freie Kommunikation, also normale nicht stenosierte AV Klappen vorhanden sind.

5 Atmungsschreibung

a) Aufnahmegerät und Registriertechnik

Atmungskurven schreiben wir mit Hilfe einer Einrichtung, bei der der Patient zwischen einer Photozelle und einer Lichtquelle liegt (vgl. Abb. 10). Nur die Empfindlichkeit des Verstärkers muß einreguliert werden. Besonders nützlich ist ein Gleichstromverstärker, bei dem die Abklingzeit der Kopplungskondensatoren der üblichen RC Verstärker keine Rolle spielt. Solche Atmungs-

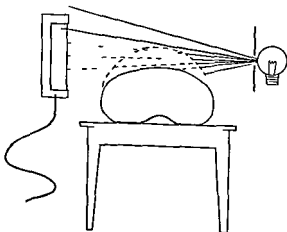
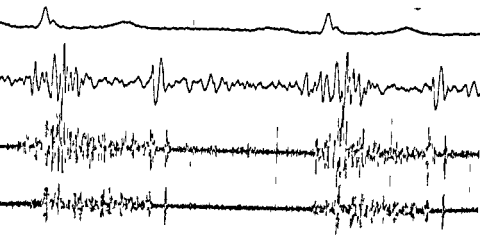


Abb. 10 Atmungsschreibung mit festmontierter Photozelle



a

Abb 34 a/b Unreines Mitralklappenventil
mit Ösophaguspulskurve*

Herzschallmikrophon
über der Herzspitze

Papiervorschub

a) 100 mm/sec

b) 50 mm/sec

Kurven

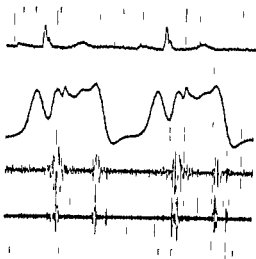
a) EKG Ableitung II

Herzschall m h₁

b) EKG Ableitung II

Ösophaguspulskurve

Herzschall m h₁



b

Unmittelbar nach dem I. Herzton
der eine verhältnismäßig große Am-
plitude besitzt beginnt ein hoch-
frequentes holosystolisches an-
gedeutet decrescendoförmiges Ge-

rausch 0.07 sec nach Beginn des II. Tones erscheint in m- und h₁ ein deutlicher Mitralklappenöffnungsston. Ein niederfrequenter III. Herzton fällt 0.12 sec nach Beginn des II. Tones ein 0.11 sec vor Beginn des I. Tones ein niederfrequenter Vorhofston. Außerdem erkennt man ein presystolisches Crescendogeräusch. Die Umformungszeit ist auf 0.08 sec verlängert. Ergänzend zu den Schallerscheinungen des unreinen Mitralklappenfehlers bringt die Ösophaguspulskurve als Zeichen einer hämodynamisch recht bedeutsamen Insuffizienz den unmittelbaren Übergang der Ventrikelsacke in die Vorhofauffüllungswelle, die ihren Gipfelpunkt zum Zeitpunkt des II. Tones erreicht. Für die Stenose sprechen die betonte Vorhofkontraktionswelle und die Abknickung im Steilabfall der Vorhofauffüllungswelle zur Zeit des Mitralklappenöffnungsstones.

* Wir danken Herrn Priv. Doz. Dr. Kuhn Univ. Poliklinik Heidelberg (Direktor Prof. Dr. H. Plügge) für die Überweisung dieses Patienten.

6 Ösophagophonokardiographie

a) Aufnahmegeerate

Hierzu werden kleine Kristallmikrophone direkt in die Speiseröhre eingeführt. Prinzipiell ist dies besser als die Registrierung durch Vermittlung eines luft- oder wasser-gefüllten Ösophagusschlauches. Ein Instrumentarium zur örtlichen Betäubung des Rachens wird außerdem benötigt.

b) Registriertechnik

Nach Anästhesierung wird das Mikrophon bis hinter das Herz eingeführt, d. h. bis ca. 40 cm von der Zahnreihe entfernt. Die Schreibung wird gewöhnlich im Sitzen durchgeführt.

c) Normales Kurvenbild

Das Ösophagophonokardiogramm hat mehr niedrige Frequenzen als das von der Brustwand. Vor allem die Vorhoföne lassen sich besser darstellen.

d) Mechanokardiographische Synopsis

Die zeitlichen Verhältnisse des Ösophagophonokardiogrammes sind dieselben wie die der Thoraxherzschallkurve.

7 Ösophaguspulskurvenschreibung

a) Aufnahmegeerate

Als Rezeptor für die Volumenschwankungen des linken Vorhofes dient ein Herzkatheter, an dessen Ende ein Condomgummi angebracht ist. Mit Hilfe eines Dreiwegehahnes und einer Spritze läßt sich zunächst die Gummiblase mit Luft füllen und danach mit dem Kristallmikrophon oder einem anderen Druckwandler verbinden. Auch speziell angefertigte Infratonmikrophone (Kondensatorprinzip) eignen sich für die Einführung in den Ösophagus. Ein Instrumentarium zur Rachenanästhesie ist hier gleichfalls erforderlich.

b) Registriertechnik

Nach sorgfältiger Anästhesierung der Gaumenbogen und des Rachens wird der Katheter bis hinter den linken Vorhof eingeführt. Die richtige Lage kann an der Kurvenform oder röntgenologisch kontrolliert werden. Die Registrierung erfolgt gewöhnlich im Sitzen.

c) Normales Kurvenbild

Der Ösophaguspuls zeigt ähnlich wie das Phlebogramm drei Wellen.

Die Vorhofkontraktionswelle erreicht ihr Maximum nach dem Ende der P-Zacke; die systolische Welle ist meist kleiner als im Venenpuls und endet auch früher; die Vorhofauffüllungswelle entspricht ungefähr der d-Wellen des Venenpulses. Sie erreicht ihren Gipfelpunkt normalerweise nach Einfall des II. Herztones (vgl. Abb. 11).

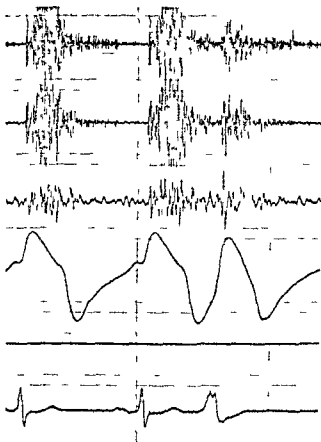


Abb 35 Aortenstenose mit geringer Insuffizienz und ventrikulärer Extrasystole

Herzschallmikrophon	2 JCR mediosternal
Pulsabnehmer	über dem Spitzenstoß
Kurven	Herzschall m m ₁ t Spitzenstoßkurve (linkssseitig) EKG Ableitung II

Die Kurve wurde bei linker Seitenlage des Patienten geschrieben. Normallauter I Ton. Der II Ton: t vom Ende des systolischen Geräusches nicht sich r abzugrenzen. Hochfrequentes systolisches Geräusch mit spindelförmiger Gestalt. Kurzes, gleichfalls hochfrequentes diastolisches Decrescendogeräusch. Das systolische Geräusch zeigt bei der Extrasystole entsprechend dem verminderten Schlagvolumen eine kleinere Amplitude. — In der Spitzenstoßkurve des 60jährigen Patienten fehlt die schnelle Füllungsphase, was in diesem Alter nicht pathologisch ist. Am extrasystolischen Schlag keine a Welle, kürzere und abgerundete Form der systolischen Welle.

Mit Hilfe eines sehr kleinen Unterwassermikrophones das aus einem U Boot Horchgerät entwickelt wurde konnten WALLACE und LEWIS im Herzen Schall aufnahmen durchföhren Das Mikrophon ist an der Spitze eines Katheters befestigt Ein ähnliches Verfahren benutzt eine französische Arbeitsgruppe während LUISADA und Mitarbeiter die Druckschwankungen aus dem Herzzinnern elektrisch differenzieren und so Schallkurven ohne Einführung eines besonderen Mikrophones erhalten Beim letzteren Verfahren gehen natürlich die mechanischen Fehlerquellen des Herzkatheters mit ein die sich bei den höheren Frequenzen starker bemerkbar machen

Allgemein hat sich bei diesen Untersuchungen ergeben daß die Geräusche am Entstehungsort sehr viel größere Intensität haben als in der Umgebung In der Richtung des Blutstromes oder eines pathologischen Rückflusses breiten sie sich verstärkt aus Differentialdiagnostisch kommt dem Verfahren Bedeutung zu Alle anderen Untersuchungen wie z B die Druckmessung und die Blutabnahme zur Oxymetrie sind gleichzeitig durchführbar

Die Unterscheidung von Ventrikel und Vorhofseptumdefekten ist auf diese Weise möglich da bei den ersteren immer ein lautes Systolikum im rechten Ventrikel nachweisbar ist während bei Vorhofseptumdefekten vor allem in der A pulmonalis das Geräusch der relativen Stenose beobachtet wird Beim offenen Ductus arteriosus findet sich das typische Maschinengeräusch nur in der Pulmonalarterie während im Vorhof und Ventrikel meist keine Geräusche vorhanden sind

Die intrakardiale Phonokardiographie hat uns einige neue Erkenntnisse vermittelt Sie ist an den Katheterismus des rechten oder linken Herzens gebunden Die Aufgabe der Mechanokardiographie ist es aber nach Möglichkeit ohne diese eingreifenden Untersuchungen zu einer Diagnose zu kommen

9 Ballistokardiographie

Für die Ballistokardiographie gibt es verschiedene Apparaturen Prinzipiell unterscheidet man die Beschleunigungs- und Elongationsballistokardiographie Der letzteren wird neuerdings Bedeutung für die Schlagvolumenbestimmung beigemessen Die Ergebnisse werden allerdings unterschiedlich beurteilt Überhaupt ist der diagnostische Wert des Verfahrens noch umstritten

10 Rheographie

Die Rheographie kann mit Hilfe eines Zusatzgerätes ebenfalls mit handelsüblichen Elektrokardiographen durchgeführt werden Widerstandsänderungen die mit diesem Verfahren erfaßt werden beruhen vorwiegend auf Änderung des Blutgehaltes im Körper Deshalb wird die Rheographie zum Nachweis von Durchblutungsstörungen des Kopfes und der Peripherie zur Venenpulsschreibung o ä verwendet Die sogenannte Querrheographie trägt zur Lokalisation von Gefäßverschlüssen in den Extremitäten bei

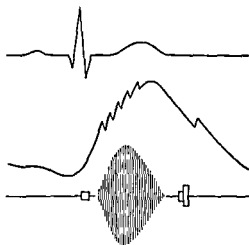


Abb 37 Schallerscheinungen bei Aortenstenose

Der I Ton und der A Anteil des II weisen eine kleine Amplitude auf. Das spindelförmige Austreibungsgeräusch ist vom I und II Ton durch ein kurzes freies Intervall getrennt. Das Amplitudenmaximum des Geräusches liegt in der Mitte der Systole bzw. etwas früher. Die Carotispulscurve zeigt im verzögerten Steilanstieg zahlreiche Einkerbungen (Hahnenkammform).

TABELLE 7

Mechanokardiographische Zeichen der Aortenstenose

Phonokardiogramm	<ol style="list-style-type: none"> 1 I Ton leise (wegen Linkshypertrophie) 2 II_A abgeschwächt (wegen pathologischer Klappenveränderung) 3 Systolikum spindelförmig vom I Ton abgesetzt. Beginn Maximum und Ende um so später je schwerer die Stenose 4 Da Austreibungsgeräusch Verstärkung durch Nitrokorper und beim postextrasystolischen Schlag abgeschwächt bei Extrasystolen 5 Akustisch fortgeleitetes Carotisgeräusch
Carotispulscurve	<ol style="list-style-type: none"> 1 Langsamer Pulskurvenanstieg über 0,06 sec. Zackung des Gipfels durch fortgeleitetes Geräusch (Hahnenkammcurve) 2 Spaltung des II Tones selten, da die Austreibungszeit des linken Ventrikels verlängert ist u. U. sogar II_r vor II_a
Spitzenstoßcurve (linkseitig)	<ol style="list-style-type: none"> 1 Verstärkung der a Welle 2 Abrundung des Gipfels als Zeichen der Linkshypertrophie

D Mechanokardiographische Diagnostik

Für die mechanokardiographische Diagnostik haben nur solche Befunde Bedeutung die mit Gesetzmäßigkeit wiederkehren. Extratöne oder Geräusche die nur an einem Herzschlag beobachtet werden sind Artefakte. Zur Ausdeutung muß deshalb ein längeres Kurvenstück herangezogen werden.

1 Extratöne

Die Möglichkeit einer genauen Zeitbestimmung hat die Mechanokardiographie besonders nützlich zur Differentialdiagnose der Extratöne werden lassen. Wenn bei der Auskultation mehr als die beiden Herztöne hörbar sind handelt es sich um einen Dreier, Vierer oder Mehrfachrhythmus der früher gerne Galopprrhythmus genannt wurde eine Bezeichnung die so verschieden angewendet wurde daß sie am besten ganz vermieden wird. Für die Beurteilung des Herzkranken ist die Feststellung von Art und Entstehungsmechanismus eines Extratonen wichtig. Dem sollte auch die Nomenklatur Rechnung tragen durch Bezeichnungen wie etwa Dreierhythmus durch Vorhofston, Mitralloffnungston o. a.

Die Mechanokardiographie erlaubt in den meisten Fällen die differentialdiagnostische Einordnung der Extratöne. Die häufigsten Extratöne sind in der Tabelle 1 und in den dort aufgeführten Abbildungen zusammengestellt. Tabelle 2 bringt ergänzende Merkmale der protodiastolischen Extratöne.

Einige Erläuterungen müssen vor allem zum Mitralloffnungston gegeben werden. Voraussetzung für seine Entstehung ist die Beweglichkeit der Segelflächen der Mitralklappe. Durch Verklebung der Kommissuren kann eine mehr oder weniger hochgradige Einengung der Einflußöffnung eingetreten sein. Die entzündlichen und narbigen Veränderungen dürfen jedoch nicht über die Klappenränder hinausreichen. Aus dem Vorhandensein oder Fehlen und aus der Amplitude des Öffnungstones kann also im gleichen Sinne wie aus der Lautstärke des I Tones auf die pathologisch anatomische Beschaffenheit der Klappenfläche geschlossen werden.

Die Segelklappen wolben sich in der Systole vorhofkonvex vor beim Einstromen des Blutes schnappen sie in eine vorhofkonkave Lage um wobei der Mitralloffnungston entsteht. Je höher der Druck im Vorhof ist desto schneller erfolgt der Umschlag d. h. die Zeit vom Beginn des II Tones bis zum Mitralloffnungston die sogenannte *Mitralloffnungszeit* ist um so kürzer. Bei sehr hohem Druck im linken Vorhof verschmilzt der Öffnungston mit dem II Ton (vgl. auch S. 42). Reserpin senkt den Druck im kleinen Kreislauf und kann daher zur Differentialdiagnose und Beurteilung ob ein fixierter pulmonaler Hochdruck vorliegt herangezogen werden. U. U. wird durch die Drucksenkung die oben erwähnte Verschmelzung rückgängig gemacht. Andere Faktoren die die Dauer

4 Erworbene Klappenfehler des rechten Herzens

Trotz der Seltenheit erworbener Klappenfehler am rechten Herzen erscheint eine Besprechung im Zusammenhang erforderlich vor allem weil dann die funktionellen Stenosen und Insuffizienzen in ihrer Systematik besser verstanden werden. Allen Schallerscheinungen am rechten Herzen ist gemein, daß ihre Intensität nicht wie diejenige vom linken Herzen im Inspirium abgeklungt wird sondern u U sogar zunimmt. Das gilt besonders für

- 1 das Systolikum der Trikuspidalinsuffizienz
- 2 das Diastolikum der Trikuspidalstenose
- 3 das Diastolikum der Pulmonalinsuffizienz
- 4 den rechtsseitigen Vorhofflon

Zu beachten ist bei der Auswertung dieses Symptoms allerdings, daß die Intensitätsunterschiede sehr gering sein können d h man muß sehr genau drauf achten. Fehlt ein Unterschied der Lautstärke während der Atmung darf eine Störung im rechten Herzen nicht abgelehnt werden.

a) Trikuspidalinsuffizienz

Eine Abschwächung des I Tones tritt in der Regel nicht ein. Die Trikuspidalinsuffizienz verursacht ein systolisches Decrescendogerausch. Man registriert es über dem unteren Sternum am linken Sternalrand in Höhe des Ansatzes der 4 Rippe. Die inspiratorische Verstärkung des Geräusches ist bei leichten und sehr schweren Insuffizienzen meistens nicht ausgesprochen. Da solche systolischen Geräusche recht vieldeutig sind, bereitet ihre Bewertung zuweilen Schwierigkeiten (vgl Abb 42).

Bei Störungen am rechten Herzen vermag der Venenpuls u U wertvolle Informationen zu vermitteln. Er ist bei der Trikuspidalinsuffizienz durch einen mangelhaften systolischen Kollaps ausgezeichnet, da zur Zeit der Ventrikelkontraktion der Rückfluß in den Vorhof den Raumgewinn durch die Ventilebenensenkung kompensiert. Bei Vorhofflummern fehlt außerdem die Vorhofdiastole, deshalb verschwindet der systolische Kollaps (sog positiver Venenpuls) (vgl Abb 43). Durch den Rückfluß ist die diastolische Füllung des rechten Vorhofes früher beendet. Hierdurch tritt die d Welle manchmal früher als normal auf. Der diastolische Kollaps (y) liegt bei der Trikuspidalinsuffizienz tiefer als x (vgl Tab 44a). Tabelle 10 bringt die mechanokardiographischen Zeichen als x (vgl Tab 44 a).

Tabelle 10 bringt die mechanokardiographischen Zeichen der Trikuspidalinsuffizienz.

Mechanokardiographische Beziehungen

Entstehungsmechanismus

Ort der besten Registrierbarkeit Frequenzgang

Bezeichnung

Vorhofen beginnt ca 0.05–0.10 sec nach Anfang von P. Rechtseitiger und linksseitiger Vorhofen lassen sich bei Mitregistrierung der Atmung unterscheiden. Verstärkung des rechtsseitigen Vorhofens im Insparium außer dem große a Wellen im Phlebogram. Der IV Ton fällt mit der Vorhofswelle der entsprechenden Spitzenstoßkurve zusammen.

Die Entscheidung ob ein Summationsgalopp ein III oder IV Herzton vorliegt ist meistens schwierig. Die zeitliche Beziehung zur Spitzenstoßkurve erleichtert sie. Beim III Ton muß die schnelle Füllungswelle ausgesprochen sein und ihr Gipfel zeitlich mit dem Exstraton zusammenfallen. Der Vorhof ton muß mit der a Welle der Spitzenstoßkurve übereinstimmen. Bei Verlangsamung der Pulsfrequenz weichen beide Komponenten des Exstratons auseinander.

Der Mitralöffnungston zeigt bewegliche Klappen an. Der Abstand vom Aorten schluß ist ein ungefähres Maß für den Druck im linken Vorhof. Der Mitralöffnungston muß mit dem Punkt O in der linken seitigen Spitzenstoßkurve zusammenfallen.

Verstärkte Vorhof tätigkeit

Absolute Herzdämpfung
physiologisch
t-m₁
pathologisch
mg-m

Summe beider Mechanismen bei kurzer Diastole und verlängerter Überleitungszeit

Absolute Herzdämpfung
t-m

Summationsgalopp (III + IV)

Zurückschnellen der stenotisierten aber beweglichen Mitral Klappen in die vorhofkonkave Lage (kommt nur bei organischen Stenosen vor)

Mitte zwischen Sternastrich und Herzspitze
mg-m₂

Mitralöffnungston (vgl. Abb. 26 34 45)

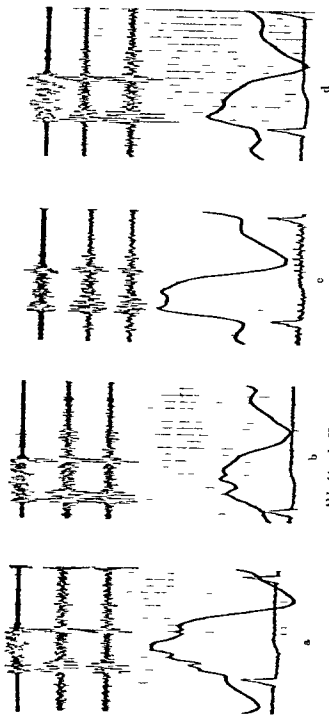


Abb 44 a-d Unreines Mitral und Trikuspidalventrum
 20 mm/sec
 Herzschall h₁ m₂ m₃

Papiervorschub
 Kurven

a) Venenpuls b) Leberpuls c) Spitzenstoß li d) Spitzenstoß re
 EKG Ableitung II

Der I Ton zeigt eine angeordnete Intensitätsabnahme in h₁ sonst ist er unauffällig. Der II Ton ist ebenfalls unverändert. Fast die ganze Systole ist durch ein Geräusch angefüllt, das in den hohen Frequenzgängen ein Crescendo zeigt. Das diastolische Geräusch, das ca. 0,1 sec nach dem II Ton beginnt, ist nur in Abb. b) deutlich dargestellt, da das Mikrophon wegen der zusätzlichen mechanischen Geräusche nicht optimal aufgesetzt werden konnte. Die Venenpuls- und Leberpuls-kurve zeigen den fast völligen Verlust der s-Wellen und des v-Tales. Das y-Tal liegt sehr tief. Bei der bestehenden absoluten Arrhythmie ist dieser Befund für eine Trikuspidalinsuffizienz typisch. Bei den Spitzenstoßkurven ist das Fehlen der schnellen Füllungs-elle gemeinsam. Daraus ergibt sich ein Hinweis auf eine hämodynamisch bedeutungsvolle Stenose der Trikuspidalstenose, aber auch eine zu ätzliche Trikuspidalstenose kann vermutet werden. - Fs handelt sich wahrscheinlich um eine Stenose der Trikuspidalstenose und Insuffizienz beider AV-Ostien.

TABELLE 2
Ergänzend differentialdiagnostische Merkmale der protodiastolischen Extratöne

	Mitralöffnungsston	II _A vor II _P	II _P vor II _A	III Ton	Perikardton
Verhalten bei der Atmung	unbeeinflusst	zunehmende Spal- tung im <i>Inspirium</i>	abnehmende Spal- tung im <i>Inspirium</i>	im <i>Exspirium</i> deutlicher	unbeeinflusst
Verhalten beim Auf- richten des Patienten	Verlängerung der Mitralöffnungszeit u. U. bis an die äußerste Grenze von 0.12 sec	meist unverändert		verschwindet	meist unveränderte Lautstärke verän- derter Abstand
Verhalten auf Reserpin	Verlängerung der Mitralöffnungszeit	Spaltung verschwindet häufig (Abnahme der Amplitude)		verschwindet oder wird schwächer	unverändert
EKG	Rechts Typ P mitrale	normal Rechts ventrikuläre Leitungsstörung Rechts Schenkel block	linksventrikuläre Leitungsstörung Links Schenkel block	normal oder Links Typ bei linksventrikulärem III Ton	normal oder ge- legentlich Perikardu- tizischen Außen schichtschaden
Röntgenologisch	Mitralherz	normal Zeichen für Rechts hypertrophie	Links hyper- trophie	normal oder links dilatiertes Herz	Perikardveralkun- gen Perikarderguß

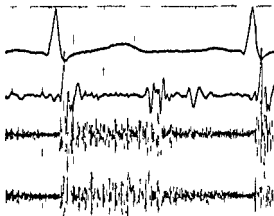


Abb 47 a/b Aorteninsuffizienz
und Mitralsuffizienz

Herzschallmikrophon

- a) über dem Erbschen Punkt
b) über der Herzspitze

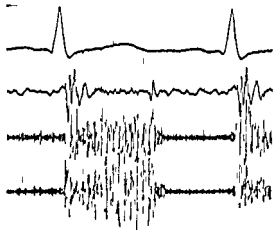
Papiervorschub

100 mm/sec

Kurven

EKG Ableitung II

Herzschall t_{m2} h₁



Hochfrequenten die ganze Systole ausfüllendes Mitralsuffizienzgeräusch mit wechselnder Amplitudenhöhe und einem p m über der Herzspitze (b) Über der Herzbasis (a) ist ein hochfrequenten holodiastolischen un mittelbar an den mit einem Intervall von 0 04 sec gespaltenen II Ton sich anschließendes Decrescendogeräusch (Aorteninsuffizienz) aufgezeichnet 0 13 sec nach Beginn des II Tones ein niederfrequenter III Herz ton (a)

schen Klappenfehler ähnlich. Allerdings sind sie fast nie so lang, selten ebenso laut und haben fast immer niedrigere Frequenzen. Bei vielen ist die Schallfrequenz so gering, daß sie mit dem Ohr nicht mehr wahrgenommen werden können. Sie kommen daher auch nur auf den Schallkurven tiefer Abstimmung – t und m₁ – zur Darstellung. Noch besser erkennt man sie auf Ösophagus-schallkurven. Während man früher glaubte, daß funktionelle Mitralsenosen nur bei Aorteninsuffizienzen vorkommen (AUSTIN FLINT), weiß man jetzt, daß sie bei allen Vergrößerungen des linken Ventrikels mit geeigneter Technik phonokardiographisch dargestellt werden können, wie z. B. beim Ductus arteriosus apertus beim Hochdruck, vor allem in fortgeschrittenen Stadien u. a. m. (vgl. Abb 48).

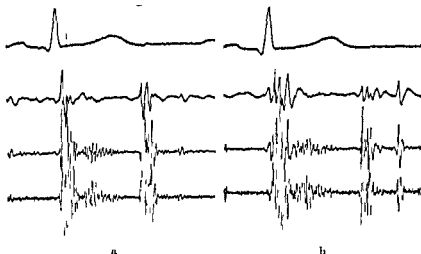


Abb 15 a/b III Herzton

Herzschallmikrophon a) 2/3 JCR linkssternal
 b) über der Herzspitze
 Papiervorschub 100 mm/sec
 Kurven EKG Ableitung II
 Herzschall t m₁ m₂ m₃

Herztöne unauffällig Mittelfrequentes angedeutete spindelförmiges protosystolisches Geräusch (akzidentell) 0 12 sec nach Beginn des II Tons ein niederfrequenter III Herzton erkennbar über der Spitze dagegen deutlich dargestellt ist

Abb 16 IV Herzton (Vorhofton)

Herzschallmikrophon 3/4 JCR linkssternal
 Papiervorschub 100 mm/sec
 Kurven EKG Ableitung II
 Herzschall t m₁ m₂ m₃



Die Herztöne sind unauffällig 0 10 sec vor Beginn des I Tones ist ein niederfrequenter Vorhofton erkennbar Uncharakteristisches vorwiegend mittelfrequentes vom I Ton durch ein kurzes freies Intervall getrenntes im letzten Drittel der Systole endendes akzidentelles Geräusch

6 Angeborene Angiokardiopathien

Die Entwicklung der letzten Jahre hat gezeigt, daß die Diagnostik der angeborenen Herzfehler durch die Mechanokardiographie vor allem auch durch die Phonokardiographie sehr gefördert wurde. In vielen Fällen wird zwar die Aufklärung der Art und Schwere einer Mißbildung mit Hilfe der klinischen und graphischen Methodik nicht bis in alle Einzelheiten möglich sein. Meistens wird es aber doch gelingen, die Diagnose so weit voranzutreiben, daß eine strenge Indikation für die eingreifenderen Untersuchungsmaßnahmen gestellt und in zunehmender Zahl auch das therapeutische Vorgehen geplant werden kann.

a) Ventrikel septumdefekt (und Eisenmenger Syndrom)

Defekte im Bereich der Ventrikelcheidewand verursachen meistens sehr laute hochfrequente holosystolische Geräusche mit steilem Crescendo am Anfang und ebenso steilem Decrescendo am Ende. Sie gleichen deshalb mehr einem zwischen den beiden Herztonen ausgespannten Band als einer Spindel, wie sie beispielsweise für die Ausströmungsgeräusche typisch ist. Abweichend von der Bandform findet sich nicht selten ein spätsystolisches Amplitudenmaximum. Die Preßstrahlgeräusche der Ventrikelseptumdefekte werden am besten in Höhe des 3-4 Interkostalraumes in der Mitte oder am linken Rand des Sternums abgeleitet. Ihre Fortleitungstendenz über den ganzen Brustkorb auch zum Rücken hin ist bemerkenswert (vgl. Abb. 49).

Im Gegensatz zu den Aortensystolika wird die Intensität der am Ventrikelseptum entstehenden Geräusche bei Extrasystolen nicht eindrucksvoll verändert. Der I-Ton ist gewöhnlich unauffällig, der II kann gespalten sein und in wenigen Fällen ergibt sich eine Amplitudenvergrößerung des P-Anteiles, sofern eine pulmonale Hypertension vorliegt.

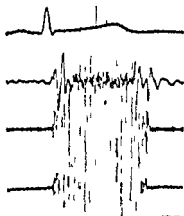


Abb. 49 Ventrikelseptumdefekt

Herzschallmikrophon 3/4 JCP linkssternal

Papiervorschub 100 mm/sec

Kurven EKG Ableitung II

Herzschall t_m, b₁

Man erkennt ein hochfrequentes die ganze Systole ausfüllendes bandförmiges Geräusch mit sehr hoher Amplitude. Der II Herzton ist mit einem Intervall von 0.04 sec gespalten.

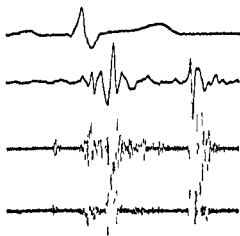


Abb 19 Pulmonaldehnungston
Herzschallmikrophon
2 ICP am linken Sternalrand
Papiervorschub 100 mm/sec
Kurven

EKG Ableitung II

Herzschall t m h₁

0 07 sec nach Beginn des I Tones ist ein hochfrequenter Pulmonaldehnungston mit großer Amplitude erkennbar. In gleichfalls hochfrequenten jedoch verhältnismäßig leiser Vorhofston erscheint 0 08 sec vor Beginn des I Tones. Der II Ton ist angedeutet gespalten. Im Anschluß an den Pulmonaldehnungston findet sich ein uncharakteristisches systolisches Geräusch. Es handelt sich um einen Vorhofseptumdefekt mit stark dilatierter A pulmonalis.

A pulmonalis

Abb 20 Aortendehnungston

Herzschallmikrophon

Sternummitte

Papiervorschub

50 mm/sec

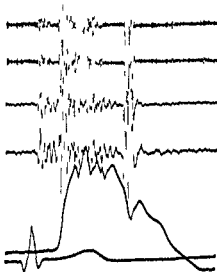
Kurven

Herzschall h₁ m m₂ m₁

Carotispulskurve

EKG Ableitung II

Der I Ton hat kleine Amplitude, der II Ton ist unauffällig. Zugleich mit dem Carotispulsanstieg beginnt ein hochfrequenter ca 0 0 sec anhaltender Ton, an den sich ein systolisches Spindelgeräusch anschließt. Die Carotispulskurve ist hakenkammförmig gestaltet. Die Austreibungszeit ist nicht verlängert. Es handelt sich um eine angeborene, relativ leichte Aortenstenose.



der Öffnungszeit beeinflussen sind der periphere Blutdruck. Seine Erhöhung führt zur Verlängerung der Öffnungszeit. Auch die Beweglichkeit und Masse der Klappen sowie die Schlagfrequenz des Herzens wirken sich aus. Zunahme der Diastolendauer führt zur Verlängerung, Abnahme zur Verkürzung der Öffnungszeit. Bei aboluter Arrhythmie ändert sich die Mitraloöffnungszeit in Abhängigkeit von der Diastolenlänge jedes vorangehenden Schlags.

Natürlich ist die Voraussetzung für alle diese Überlegungen, daß es sich tatsächlich um einen Mitraloöffnungston und nicht um einen anderen Ton zu dieser Zeit handelt. Die Differentialdiagnose muß entsprechend den verschiedenen

Nach Anlegen einer Blalock'schen Gefäßanastomose entstehen kontinuierliche Geräusche, die das Funktionieren der Verbindung zwischen großem und kleinem Kreislauf anzeigen.

Fallot'sche Pentalogien (Tetralogie plus Vorhofseptumdefekt) weisen gleichfalls ein spindelförmiges pulmonales Austreibungsgeräusch ohne Spaltung der II Töne auf. Hochfrequente Vorhofstöne sind häufiger, auch parasytologische Geräusche werden gelegentlich beobachtet.

d) Truncus und Pseudotruncus arteriosus communis

Das Phonokardiogramm zeigt hierbei ein uncharakteristisches Systolikum oder aber gar kein Geräusch. Ein fruhystolischer Extraton – der Döhnungston des arteriellen Gefäßstammes – kann vorhanden sein. Wichtig ist, daß die Spaltung des II Tones die Diagnose mit Sicherheit ausschließt. Der II Ton ist gewöhnlich nicht sehr breit und scheint aus einer ziemlich einheitlichen Grundfrequenz aufgebaut zu sein, ähnlich wie beim klingenden II Ton.

Schließen die Klappen des Truncus oder Pseudotruncus nicht vollständig, so wird durch den diastolischen Rückfluß ein u U sehr lautes Insuffizienzgeräusch erzeugt. Der Pseudotruncus kann mit einem Ductus arteriosus apertus verwechselt werden, wenn in dem Kollateralkreislauf über den erweiterten Bronchialarterien kontinuierliche Geräusche entstehen.

e) Transposition der großen Gefäße

Die Transposition der großen Gefäße ist eine komplexe Mißbildung. Es findet sich in der Regel kein pathognomonischer Auskultationsbefund. Durch mehrfache Verbindungen zwischen großem und kleinem Kreislauf kann sich der Druck soweit ausgleichen, daß die Strömungsgeschwindigkeit des Blutes an den Shuntstellen nicht genügt, um eindrucksvolle Geräusche hervorzubringen. Manchmal vorhandene protosystolische Geräusche sind immer uncharakteristisch.

f) Aorten- und Subaortenstenose

Der Auskultationsbefund einer angeborenen valvulären Aortenstenose ist immer sehr eindrucksvoll. Über der Basis, besonders rechtssternal, findet sich ein intensives, hochfrequentes, spindelförmiges Austreibungsgeräusch, das vor allem in die Carotiden fortgeleitet wird. Das Geräusch beginnt unmittelbar nach dem I Ton oder seltener nach einem kurzen freien Intervall. Sein Amplitudenmaximum liegt in der ersten Hälfte oder in der Mitte der Systole, nur bei schweren Stenosen später. Dinn reicht das Geräusch auch fast immer bis zum II Ton.

TABELLE 3

Die wichtigsten funktionellen Geräusche und ihre Unterscheidung von den entsprechenden organisch bedingten Klappengeräuschen

Name	Art des funktionellen Vitiums	Vorkommen	Unterscheidungsmerkmale von den entsprechenden organischen Geräuschen
1. Aortenflut	funktionelle Mitralklappenstenose	Bei Aorteninsuffizienz, Ductus arteriosus apertus u. bei Hochdruck evtl. auch bei Mitralklappeninsuffizienz	Abgrenzen von Mitralklappenstenose Kein paukender I-Ton Kein Mitralklappenöffnungsst. Keine verlängerte Umformungszeit Bei Sinusrhythmus präsys. diastol. Crescendo Verstärkung a. Welle in der Spitzenschockkurve Früh diastol. Geräusch hat niedrige Frequenz und dauert nicht länger als schnelle Einflußphase vgl. Spitzenschockkurve
2. Trikuspidalstenose	funktionelle Trikuspidalstenose	Bei Vorhofseptumdefekt oder Dilatation des rechten Ventrikels aus anderen Ursachen	Abgrenzen von Trikuspidalstenose Gemeinsam ist beiden inspiratorische Verstärkung (Atemkurve) Relative Stenose niedrigere Frequenz kürzere Dauer da nur in Phase der schnellen Füllung markiert durch das Ende der schnellen Füllungsphase in der rechtsseitigen Spitzenschockkurve Überschreitet y in der Venenpulscurve nicht
3. Begleitasthenie bei Aorteninsuffizienz	funktionelle Aortenstenose	Bei Aorteninsuffizienz	Abgrenzen von Aortenstenose Keine Hakenkammcurve Keine Abschwächung der Töne Keine Fortleitung in die Carotis Maximum des Spindelgeräusches in der ersten Hälfte der Systole Bei relativer Stenose autophonisches Carotidgeräusch daher Versäufung bis zum Eintreffen der Pulswelle

1) *Ductus arteriosus apertus*

Bezeichnend für den Ductus arteriosus apertus ist ein kontinuierliches Geräusch (auch Maschinengeräusch genannt) über dem 2. Interkostalraum ein bis zwei Querfinger linkssternal. Es ist meistens recht intensiv, wird in allen Frequenzgängen besonders in den höheren gut dargestellt und erreicht zur Zeit des II. Tones oder auch kurz davor sein Amplitudenmaximum. Die Kontinuität des Geräusches im strengen Sinne kann fehlen. Dann beginnt der Crescendoteil erst nach dem I. Ton und das Decrescendo endet schon in der Mesodiastole (vgl. Abb. 54).

Der II. Ton über der Basis wird oft durch das kontinuierliche Geräusch verdeckt und wird besser über dem 3. und 4. Interkostalraum linkssternal oder über der Herzspitze erfaßt. Eine physiologische Spaltung des II. Tones kann vorkommen. Sie spricht für ein geringes Shuntvolumen. Erhebliche Schlagvolumensteigerung des linken Ventrikels als Folge eines großen Nebenklus. es führt u. U. zur Verlegung des Aortenklus. es hinter den Pulmonalklappen schluß, wobei sich das Spaltungsintervall im Expirium verlängert.

Entgegen der früheren Auffassung konnte in den letzten Jahren der phonokardiographische Beweis erbracht werden, daß kontinuierliche Geräusche schon

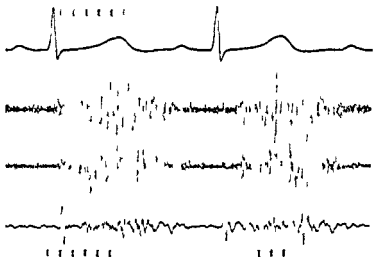
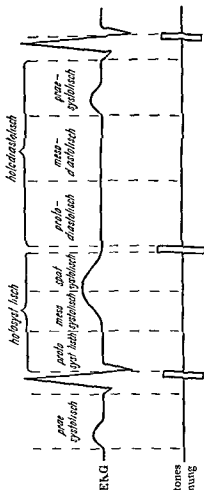


Abb. 54 Ductus arteriosus apertus

Herzschallmikrophon 2 JCR 2 Querfinger linkssternal
 Papiervorschub 100 mm/sec
 Kurven EKG Ableitung II
 Herzschall h_1 m t

Die Herztöne erkennt man am besten in t. In h_1 und m_1 ist der I. Ton nur mit kleiner Amplitude eingezeichnet, während der II. Ton vom Geräusch verdeckt wird. Das hochfrequente Geräusch beginnt unmittelbar nach dem I. Ton, erreicht im letzten Drittel der Systole ein Amplitudenmaximum und endet in einem fast die ganze Diastole ausfüllenden Decrescendo.



Zentrale Lage des I und II Herztones
bei hoher Verstärkerabstimmung



Protosystolischer Descendengeräusch (z. B. Mitral und Trikupsuffizienz)



Mesosystolischer Syndengeräusch (z. B. Aortenstenose)



Spätsystolischer Centengeräusch (z. B. Reifform perikardialer Reibgeräusche, Atheromgeräusche)

6 Perforation eines Aortenaneurysmas

Die Ruptur eines Coronarsinus in die rechte Herzkammer die A. pulmonalis oder in die obere Hohlvene wird vor allem durch das plötzlich sich entwickelnde klinische Bild gekennzeichnet. Kontinuierliche Geräusche über der Basis medio oder links ternal können dabei auftreten. Häufig liegt ein syphilitisches Grundleiden vor.

7 Arteriovenöse Fistel nach Blalock-Taussig-Operation (vgl. S. 78)

8 Kollateralkreislauf der Lunge über Bronchialarterien bei Pulmonalatresien (Pseudotruncus communis) oder hochgradigen Pulmonalstenosen (extreme Fallotsche Tetralogie)

9 Gefäßgeräusche in laktierenden Mammæ

Kontinuierliche Geräusche können niemals am Herzen selbst entstehen. Eine Reihe von angeborenen oder erworbenen Herzfehlern kann jedoch manchmal den Gehörseindruck eines kontinuierlichen Geräusches vortauschen. Sorgfältige mechanokardiographische Untersuchungen ergeben dann die richtige Diagnose. Es handelt sich vor allem um

1 unipinnale Aortenklappen (vgl. Abb. 35/41)

2 kombinierte Aortenmitralklappen (vgl. Abb. 47)

3 Vorhofseptumdefekte mit diastolischen Geräuschen

4 hochsitzende Ventrikelseptumdefekte mit Aorteninsuffizienz

5 Perikarditiden (vgl. Abb. 58)

1) Isthmusstenose der Aorta

Bei den Isthmusstenosen der Aorta vom sogenannten Erwachsenentyp mit geschlossenem Ductus arteriosus besteht meistens im prästenotischen Teil des Kreislaufes eine Hypertonie. Deshalb besitzt der Aortenanteil des II. Tones eine verhältnismäßig große Amplitude.

Das im Isthmus entstehende in hohen Frequenzgängen spindelförmige Geräusch ist zuweilen über dem Rücken links paravertebral lauter als über der vorderen Thoraxwand. Es beginnt mindestens um die Pulswellenlaufzeit verzögert nach einem Ruheintervall hinter dem I. Ton und kann über den II. Ton hinaus fortauern. Auch das Maximum der Spindel liegt gewöhnlich spät in der zweiten Hälfte der Systole (vgl. Abb. 50).

In den erweiterten Gefäßen des Kollateralkreislaufes entstehen oft sehr eindrucksvolle Schallphänomene, die an verschiedenen Punkten des Thorax, evtl. auch über dem Rücken abgeleitet werden können. Sie sind gleichfalls durch die Pulswellenlaufzeit gegenüber den Vorgängen am Herzen und einem über der Basis häufig zu registrierenden uncharakteristischen Systolikum verspätet.

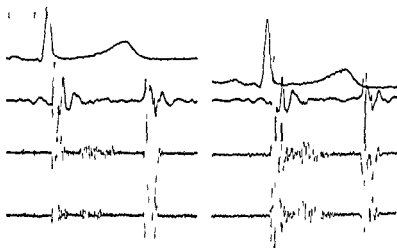


Abb 22 a/b Akzidentelles systolisches Geräusch
 Herzschallmikrophon 2/3 JCR linkssternal
 Papiervorschub 100 mm/sec
 Kurven a) EKG Ableitung II
 Herzschall t m₁ h₁
 b) EKG Ableitung II
 Herzschall t m₁ m₂

I Herzton ohne Besonderheiten. Der II Ton ist mit einem Intervall von 0.04 sec gespalten. Vom I Ton durch eine kurze Pause getrennt, kommt ein vorwiegend mittelfrequentes, kaum über die Mitte der Systole hinausreichendes Geräusch mit wechselnder Amplitude zur Aufzeichnung.

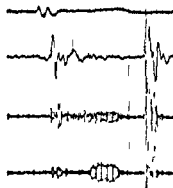


Abb 23 Hochfrequentes musikalisches Geräusch (akzidentell)

Herzschallmikrophon 3/4 JCR links parasternal
 Papiervorschub 100 mm/sec
 Kurven EKG Ableitung II
 Herzschall t m₁ h₁

In h₁ kommt ein aus regelmäßigen Schwingungen aufgebautes, angedeutet spindelförmiges, mesosystolisches Geräusch zur Darstellung. Seine Frequenz liegt bei 500 Hz. Der II Ton ist mit einem Intervall von 0.04 sec gespalten – Auskultatorisch hatte das Geräusch piepsenden Klangcharakter.

Art der Mißbildung	Herzschallkurve	Carotispuls-kurve	Venenpuls-kurve	Spitzenstoß-kurve
9 Isolierte Isthmialstenose	I Ton unverändert II weit gespalten (bis 0.14 sec) II _P mit kleiner Amplitude II _A häufig vom Geräusch verdeckt besonders bei valvulärer Stenose Spindelartiges Ausbreitung geräusch Maximum später als bei Aortenstenose	Carotiscusur wichtig zur Bestimmung von II _A	—	—
10 Atriosus und Stenose der Trikuspidalis	I Ton unverändert II Ton meistens nicht gespalten Systolisches u U präsystolisches Geräusch gelegentlich Trikuspidalöffnungsgeräusch	—	Erhöhte a Welle ver spätete d Welle Ver schmelzung von s und d	Fehlende schnelle Füllungs-welle in der rechtseitigen Spitzenstoßkurve Punkt O und Trikuspidalöffnungs ton gleichzeitig wenn rechtseitige Kurve überhaupt erhalten
11 Isthmus Syndrom	Immer Mehrfachrhythmus entweder gespalten I oder II Ton Vorhofen Trikuspidalöffnungsgeräusch Systolisches Geräusch Frühdiastolisches Geräusch evtl präsystolisches Crescendo	—	Erhöhte a Welle positiv venen puls	Schwach rechts seitige Kurve zu erhalten
12 Ductus arteriosus apertus	I Ton unverändert II Ton im Geräuschmaximum meist nicht deutlich zu erkennen Spaltung nicht selten Kontinuierliches Geräusch mit II ICR linkssternal mit bevorzugter Fortleitung zur linken Schulter	Incisur meist sehr deutlich zur Auffindung von II _A nützlich da II _P vor II _A liegen kann	—	—
13 Isthmusstenose der Aorta	I Ton unverändert II laut durch großen II _A Systolisches Geräusch am Isthmus Versparungssyndrom über den Gefäßen des Kollateralkreislaufs Häufig protodiastolisches Geräusch über der Aorta	Carotis Krebs scherenform Femoralis lang samer Anstieg noch langsamer Abfall (Dreiecksform)	—	—

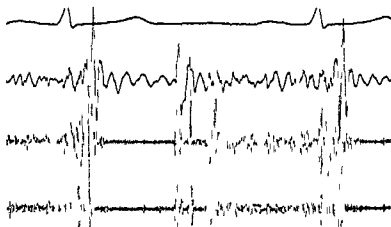


Abb. 2a. Mitralstenose mit Mitralöffnungston und holodiastolischem Geräusch

Herzschallmikrophon 4 JCR 2 Querfinger linkasternal
 Iapervorschub 100 mm/sec
 Kurven EKG Ableitung II
 Herzschall t m h₁

I Herzton unauffällig. Der II Ton ist mit einem Intervall von 0.05 sec gespalten sein. I Anteil zeigt eine verhältnismäßig große Amplitude 0.10 sec nach Beginn des II Tons fällt ein hochfrequenter Mitralöffnungston ein, an den sich ein holodiastolisches Geräusch mit protodiastolischem Decrescendo und prasyistolischem Crescendo anschließt.

öffnungston vom II Ton nicht abzutrennen ist. Die untere Grenze von 0.07 sec für die Mitralöffnungszeit ist also nicht als feste Norm anzusehen. Sie gilt aber für die Mehrzahl der nicht bettlagerigen Patienten mit Mitralstenose.

In den Fällen mit zu dicht an den II Ton herangerücktem Mitralöffnungston gelingt es nicht selten durch Sedarapin (vgl. S. 26 und Tab. 2) die Öffnungszeit zu verlängern und so zu unterscheiden, ob der Öffnungston wegen Verklammerung der Mitralklappe fehlt oder ob er wegen zu hohen Druckes im linken Vorhof mit dem II Ton verschmolzen ist.

Wie wir auf S. 17 sehen, ist auch die linksastige Spitzenstoßkurve für die Unterscheidung von Wert. Nur wenn der Punkt O dicht am II Ton liegt, ist eine Verschmelzung mit dem Öffnungston wahrscheinlich.

Das Geräusch der Mitralstenose ist ein frühdiastolisches, das meistens ca. 0.1 sec nach dem II Ton und niemals vor dem Mitralöffnungston einsetzt. Für den Geräuschbeginn gelten die selben Überlegungen wie für die Dauer der Mitralöffnungszeit. Bei sehr hohem Druck im linken Vorhof kann das Diastolikum daher auch unmittelbar nach dem II Ton anfangen (vgl. Abb. 2a).

Das Geräusch hat verhältnismäßig niedrige Frequenzen und stellt sich daher am besten in m₁ oder m₂ dar. Häufig ist es aber auch gut in m₃ zu erkennen. Es

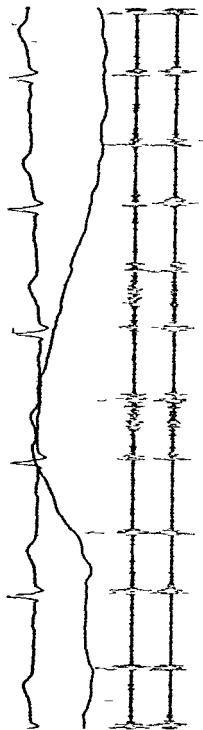


Abb 59 Kardio pulmonales Geräusch

Herschallmikrophon 3/4 JCR linkssternal

Papiervorschub 100 mm/sec

Kurven

EKG Ableitung II

Atmungskurve

Herschall h_1 , m_2

Die beiden ersten sowie die zwei zuletzt dargestellten Herzschläge liegen im Expirium. Sie zeigen normale Töne und kein Geräusch. Inspirisch sind die II Töne mit einem Intervall von 0.03 sec gespalten, außerdem erscheint hier ein hochfrequentes, angedeutet spindelförmiges mesosystolisches Geräusch.

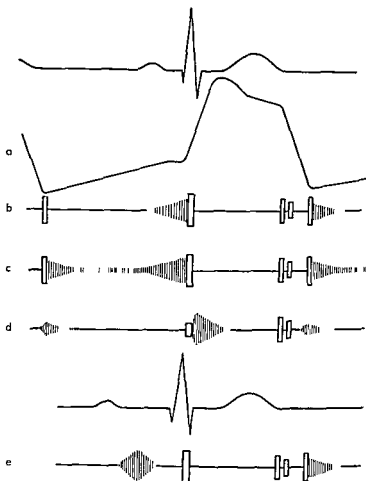


Abb 27 Schallerscheinungen bei Mitralkstenose

a) zeigt die linksseitige Spitzenstoßkurve ohne schnelle Füllungswelle. In Kurve b) ist die Amplitude des I Tones vergrößert und ein Mitralkoffnungston vorhanden. Protodiastolisches Decrescendo und präsysistolisches Crescendo des Mitralkstenosengeräusches sind durch ein freies Intervall getrennt, während sie in c) zu einem holodiastolischen Geräusch verbunden sind. Beispiel d) gibt ein Mitralkvitium wieder, bei dem die Intensität des I Tones verhältnismäßig gering ist. Der Mitralkoffnungston fehlt. Vom II Ton durch ein kurzes freies Intervall getrennt, erscheint ein kurzes diastolisches Decrescendo Geräusch. Dieser Befund ist häufig bei unreinen Mitralkfehlern, was durch das systolische Decrescendogeräusch angedeutet werden soll. Bei e) ist eine verlängerte I Q Zeit angenommen. Dann endet das präsysstolische Mitralkstenosengeräusch schon vor dem I Ton und weist Spindelform auf.

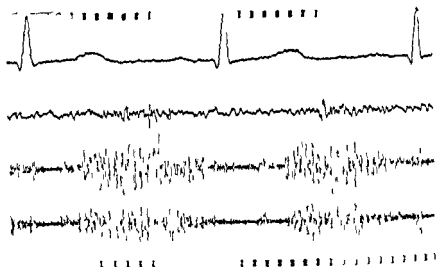


Abb 62 Nonnensausen

Herzschallmikrophon	Über der rechten Fossa supraclavicularis
Papiervorschub	100 mm/sec
Kurven	ΓKG Ableitung II
	Herzschall t m h ₂

Die bis zum Abnahmepunkt an der rechten Halsseite fortgeleiteten Herztöne sind nur in t angedeutet. In allen Frequenzgängen ist ein kontinuierliches Geräusch dargestellt, das während der Systole an Intensität zunimmt und zur Zeit des II. Tones oder etwas später ein Amplitudenmaximum erreicht. Sein Decrescendoteil zeigt ungefähr dieselbe Steilheit wie das Crescendo. Die Kurve wurde beim aufrecht sitzenden Patienten gewonnen.

Die charakteristischen Merkmale erklären sich aus der Tatsache, daß auch die Venengeräusche nur bei beschleunigtem Blutfluß zustandekommen, wobei sich Viskositätsänderungen des Blutes infolge Anämie usw. begünstigend auswirken (vgl. Abb. 62).

Nach CRUVEILHIER BAUMGARTEN werden Geräusche benannt, die in den venösen Kollateralen der Bauchwand bei Leberzirrhosen auftreten.

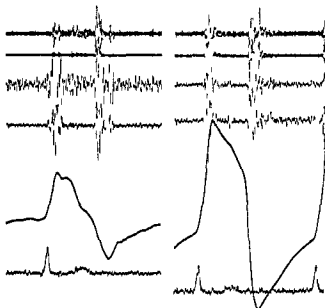


Abb 28 a/b Unreines Mitralvitium mit Spitzenstoßkurve von beiden Ventrikeln

Herzschallmikrophon	Mitte des Sternums in Höhe der 3. Rippe
Pulsabnehmer	a) im epigastrischen Winkel b) über dem Spitzenstoß
Papiervorschub	20 mm/sec
Kurven	Herzschall h_1 m m_1 t Spitzenstoßkurve a) rechtsseitig b) linksseitig EKG Ableitung II

I und II Herzton haben normale Amplitude 0,05 sec nach Beginn des II Tons folgt sich ein Mitralöffnungston relativ kleiner Amplitude. Außerdem ein die ganze Systole ausfüllendes Geräusch, das in den tiefen Frequenzgängen *de rescendo* in den hohen angedeuteten *Crescendo* Charakter hat. Im Anschluß an den Mitralöffnungston ist ein diastolisches Geräusch zu erkennen. Die Spitzenstoßkurve rechts ist normal gestaltet, diejenige vom linken Ventrikel zeigt jedoch keine schnelle Füllungswelle – Es handelt sich um ein unreines Mitralvitium mit erheblicher Stenosierung des Ostiums.

gende Schenkel der Vorhofauffüllungswelle zum Zeitpunkt des Mitralöffnungstones abgeflacht und das entstehende Plateau erst durch den Kurvenabfall der folgenden Vorhofkontraktionswelle beendet wird.

Zusammengefaßt bringt Tabelle 4 noch einmal die wichtigsten mechanokardiographischen Zeichen der Mitralstenose.

Missbildungen des menschlichen Herzens

Entwicklungsgeschichte und Pathologie

Von Priv Doz Dr H BARTHEL Osterode/Harz Mit Geleitworten von Prof Dr W Doerr Kiel und Prof Dr R Nissen Basel 1960 XII 240 Seiten 215 z T farbige Abb von I Schaumburg Hamburg Lex 8° Ganzleinen DM 188 -

Atlas intracardialer Druckkurven

Atlas of Intracardiac Pressure Curves Atlas de Curvas Tensionales Intracardiacas Von Prof Dr O BAYER und Dr H H WOLTER Berlin Englische Bearbeitung von G P Graham M D London Spanische Bearbeitung von Dr F Low Maus Barcelona Mit einem Geleitwort von Prof Dr A Cournaud New York 1959 XVI 165 Seiten 55 Abbildungen und 42 Tafeln Lex 8° Ganzleinen DM 68 -

Konservative und chirurgische Behandlung angeborener und erworbener Herzfehler

3 Vorträge

Von Prof Dr F DERRA Düsseldorf Prof Dr O BAYER Berlin und Dr H H WOLTER Berlin 1959 VIII 64 Seiten 25 Abbildungen 8° laminierter Kartonband DM 6 40

Die neuzeitlichen Brustwand und Extremitäten Ableitungen in der Praxis

Von Prof Dr H REINDELL und Doz Dr H KLEPZIG Freiburg/Br Mit einem Geleitwort von Prof Dr Dr h c L Heilmeyer Freiburg/Br 3 wesentlich umgearbeitete Auflage 1958 VIII 192 Seiten 82 Abbildungen Gr 8° Ganzleinen DM 29 50

Rhythmusstörungen des Herzens

Systematik, Ursache und klinische Bedeutung, Therapie

Von Prof Dr K SPANG Stuttgart Mit Beiträgen Die Morphologie des Reizleitungssystems ihre Orthologie und Pathologie von Prof Dr W DOERR Kiel und Physiologie der Herzirregularitäten von Priv Doz Dr W TRAUTWEIN Heidelberg 1957 XVI 548 Seiten 109 Abbildungen im Text und ein Tafelanhang mit 228 Abbildungen auf 111 Seiten Lex 8° Ganzleinen DM 148 -

Pädiatrischer EKG Atlas

Von Priv Doz Dr W HICK und Dr J STOFERMER Göttingen Mit einem Geleitwort von Prof Dr G Joppich Göttingen 1959 XVI 230 Seiten 181 Abbildungen in 298 Einzeldarstellungen und eine Meßtafel zur Bestimmung des Vektors und zur Ausmessung der Herzfrequenz Lex 8° Ganzleinen DM 78 -

Atlas der Angiokardiographie angeborener Herzfehler

Von Dr R KÜNZLER und Dr N SCHAD Zurich Mit einem Geleitwort von Prof Dr G Fanconi und Prof Dr M Grob Zurich 1960 XII 24 Seiten 91 Abbildungen in 416 Einzeldarstellungen Lex 8° Ganzleinen DM 80 - (86 Ergänzungsband der Fortschritte auf dem Gebiete der Röntgenstrahlen und der Nuklearmedizin Vorzugspreis für Abonnenten dieser Zeitschrift DM 78 50)

Herzkrankheiten im Säuglingsalter

Von Priv Doz Dr E ROSSI Zurich Mit einem Geleitwort von Prof Dr G Fanconi Zurich 1954 XVI 373 Seiten 198 teils mehrfarbige Abbildungen in 369 Einzeldarstellungen und 1 Ausschlagtafel Differentialdiagnose der wichtigsten kongenitalen Angiokardiopathien Gr 8° Ganzleinen DM 60 -

b) *Mitralinsuffizienz*

Charakteristisch für die Mitralinsuffizienz ist ein hochfrequentes systolisches Geräusch mit einem P m über der Herzspitze. Meistens findet man außerdem eine Abschwächung des I Tones, die nicht hochgradig zu sein braucht. Das systolische Geräusch stellt sich wegen seiner meist großen Intensität in allen gebräuchlichen Frequenzgängen dar. Bei schweren Fällen beginnt es unmittelbar nach dem I Ton und reicht bis zum II Ton. Es zeigt in der Regel ein deutliches Decrescendo. Jedenfalls gilt dies für die niedrig abgestimmten Kurven; in den hoch abgestimmten sehen wir dagegen manchmal ein deutliches Crescendo (vgl. Abb. 28, 30, 44). Aus dem gegensätzlichen Verhalten muß auf eine Frequenzzunahme gegen Ende der Systole geschlossen werden. An diesem Beispiel ist gut erkennbar, daß Formbeschreibungen von Geräuschen ohne genaue Bezeichnung der verwandten Filter wertlos sind. Bei Kindern und Jugendlichen reichen die Geräusche fast immer bandförmig bis zum II Ton. Ein Crescendo im letzten Drittel der Systole ist häufiger als beim Erwachsenen.

Echte systolische Crescendogeräusche oder bei erregter Spatsystole gibt es bei einer besonderen Form der Mitralinsuffizienz, der sog. funktionellen muskulären Mitralinsuffizienz nach A. WEDER. Sie entsteht durch Versagen der Papillarmuskeln z. B. durch einen Myokardinfarkt. Die Insuffizienz beginnt dann erst spät in der Systole, wenn der Kammerdruck sein Maximum erreicht hat (vgl. Abb. 31).



Abb. 30 Mitralinsuffizienz

Herzschallmikrophon	Herzspitze
Papiervorschub	100 mm/sec
Kurven	EKG-Ableitung II
	Herzschall h_1 m_2 t

Unauffälliger I und II Herzton. 0,1 sec nach Beginn des II Tones erscheint in t und m ein deutlicher III Herzton. Hochfrequentes, holosystolisches Geräusch, das in h_1 eher bandförmig ist, in m dagegen Decrescendocharakter aufweist.

Das Mitralinsuffizienzgeräusch ist ebenso wie das des Ventrikelseptumdefektes kein Austreibungsgeräusch. Es wird daher durch Gaben von Nitroglyzerin oder Amylnitrit wie auch bei postextrasystolischen Schlägen mit vergrößertem Schlagvolumen nicht verstärkt. Gerade umgekehrt verhalten sich die Geräusche der Aorten- und Pulmonalstenose.

Ein III Ton ist bei der Mitralinsuffizienz sehr häufig gleichgültig, ob es sich um eine funktionelle oder endokarditische Insuffizienz handelt (vgl. Abb. 30, 31). Dann zeigt auch in der Regel die linksseitige Spitzenstoßkurve eine deutlich ausgeprägte schnelle Füllungswelle, deren spitzer Gipfel mit dem III Ton zusammenfällt (vgl. Abb. 32).

In der Ösophaguspulskurve ist die Mitralinsuffizienz u. U. daran zu erkennen, daß der Ventrikelsack nur ein geringer oder gar kein Kurvenabfall folgt. Durch den systolischen Reflux aus der linken Kammer verschwindet das Tal zwischen Ventrikelsack und Vorhofauffüllungswelle. Außerdem wird der Gipfel der Vorhofauffüllungswelle vorverlegt und erscheint gleichzeitig mit dem II Herzton (vgl. Abb. 34 b) gelegentlich auch noch früher.

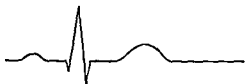
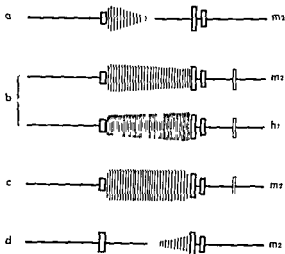


Abb. 33 Schallerscheinungen bei Mitralinsuffizienz



a) zeigt das Decrescendogeräusch einer leichteren Mitralinsuffizienz unmittelbar nach dem leisen I Ton beginnend und deutlich vor dem gespaltenen II Ton endend.

Die Kurven b) gehören zusammen und bringen das holosystolische Decrescendogeräusch einer schwereren Mitralinsuffizienz, das in b₁ Crescendocharakter aufweisen kann. Auch hier ist der I Ton mit kleiner Amplitude gezeichnet, der II gespalten und außerdem ein III Herzton vorhanden.

Auch die Darstellung c) bringt das Beispiel einer schwereren Mitralinsuffizienz mit holosystolischem Bandgeräusch, leisem I, gespaltenem II Ton und deutlichem III Herzton.

Bei d) ist das spatsystolische Crescendogeräusch einer funktionellen (muskulären) Mitralinsuffizienz aufgezeichnet. Der I Ton weist eine normale Amplitude auf, der II ist gespalten.

TABELLE 5
Mechanokardiographische Zeichen der Mitralsuffizienz

Phonokardiogramm	1 Systolisches Decrescendogerausch. Bei schwerer Insuffizienz holosystolisches Bandgerausch, das in hohen Frequenzgängen auch ein Crescendo zeigen kann. 2 Abgeschwächter I Ton. 3 Häufig III Ton vom linken Ventrikel. 4 Gerausch nicht abgeschwächt bei ES, leiser nach Nitrokorper.
Carotispulskurve	1 Gerausch beginnt vor der Austreibungszeit, also vor dem Steilanstieg minus zentraler Pulswellenlaufzeit.
Spitzenstoßkurve	1 Sehr ausgesprochene schnelle Füllungs-welle, deren Gipfel mit dem III Ton zusammenfällt.

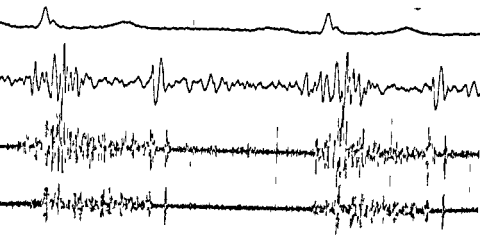
Abbildung 33 bringt die verschiedenen Mitralsuffizienzgeräusche schematisch. Eine Aufstellung der mechanokardiographischen Untersuchungsergebnisse gibt zusammengefaßt Tabelle 5 wieder.

c) Unreine Mitralfehler

Zu den schwierigsten diagnostischen Aufgaben gehört es festzustellen, ob neben einer Mitralsenose eine hämodynamisch bedeutsame Insuffizienz besteht. Ein systolisches Geräusch beweist das Vorhandensein einer zusätzlichen Mitralsuffizienz nicht, wie andererseits das Fehlen eines solchen die zusätzliche Insuffizienz nicht ausschließt. Die Mitralsuffizienz wird wahrscheinlich, wenn das Geräusch hochfrequent ist, unmittelbar an den I Ton anschließt und von der Spitze bevorzugt nach links hinten fortgeleitet wird. Das Systolikum darf ferner nicht die Charakteristika der Austreibungsgerausche, d. h. Verstärkung nach kompensatorischer Verlängerung der vorausgehenden Diastole oder nach Gabe von Nitrokorpern aufweisen. Für eine Insuffizienz neben einer Senose kann auch eine große Amplitude des Diastolikums während der Phase der schnellen Füllung sprechen. Auch die Lautstärke des I Tones und das Vorhandensein sowie die Intensität eines Öffnungstones müssen in Betracht gezogen werden. Je größer sie ist, um so unwahrscheinlicher wird eine erhebliche Insuffizienz (vgl. Abb. 34).

Die Spitzenstoßkurve gibt durch die a Welle und die schnelle Füllungs-welle Hinweise auf den Grad einer Stenosierung und auch auf eine evtl. vorhandene Insuffizienz (vgl. S. 45/50). Die Diagnose eines unreinen Mitralklappenfehlers und die Bewertung der Schwere jeder Komponente bedarf der Berücksichtigung des klinischen Gesamtbildes, wie auch der verschiedensten Spezialuntersuchungen. Trotzdem wird eine völlige Klärung manchmal nicht gelingen.

Die umgekehrte Frage, nämlich, ob neben einer Insuffizienz eine Senose vorhanden ist, bereitet meistens in Anbetracht der charakteristischen Schaller



a

Abb 34 a/b Unreines Mitralklappenventil
mit Ösophaguspulskurve*

Herzschallmikrophon
über der Herzspitze

Papiervorschub

a) 100 mm/sec

b) 50 mm/sec

Kurven

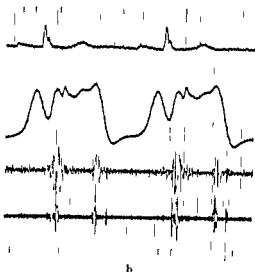
a) EKG Ableitung II

Herzschall m h₁

b) EKG Ableitung II

Ösophaguspulskurve

Herzschall m h₁



b

Unmittelbar nach dem I. Herzton
der eine verhältnismäßig große Am-
plitude besitzt beginnt ein hoch-
frequentes holosystolisches an-
gedeutet decrescendoförmiges Ge-

rausch 0.07 sec nach Beginn des II. Tones erscheint in m und h₁ ein deutlicher Mitralklappenöffnungsston. Ein niederfrequenter III. Herzton fällt 0.12 sec nach Beginn des II. Tones ein 0.11 sec vor Beginn des I. Tones ein niederfrequenter Vorhofston. Außerdem erkennt man ein presystolisches Crescendogeräusch. Die Umformungszeit ist auf 0.08 sec verlängert. Ergänzend zu den Schallerscheinungen des unreinen Mitralklappenfehlers bringt die Ösophaguspulskurve als Zeichen einer hämodynamisch recht bedeutsamen Insuffizienz den unmittelbaren Übergang der Ventrikelsacke in die Vorhofauffüllungswelle, die ihren Gipfelpunkt zum Zeitpunkt des II. Tones erreicht. Für die Stenose sprechen die betonte Vorhofkontraktionswelle und die Abknickung im Steilabfall der Vorhofauffüllungswelle zur Zeit des Mitralklappenöffnungsstones.

* Wir danken Herrn Priv. Doz. Dr. Kuhn Univ. Poliklinik Heidelberg (Direktor Prof. Dr. H. Plügge) für die Überweisung dieses Patienten.

scheinungen der Mitralktenose geringere Schwierigkeiten. Das gelegentliche Verschwinden des Diastolikums auch bei hochgradigen Stenosen in der Ruhe muß beachtet werden. Der Mitralköffnungston kann bei stark erhöhtem Druck im linken Vorhof mit dem II. Ton verschmelzen. Auch hier hilft die Spitzenstoßkurve wie auf S. 42 angegeben wurde. Beim Vorhandensein eines Frühdiastolikums mit prasyistolischem Crescendo ist auch immer an eine Trikuspidalstenose zu denken, die wegen ihrer Seltenheit nicht erkannt wird. Die Unterscheidungsmerkmale der Trikuspidal- und Mitralkstenose sind auf S. 47 und S. 65 dargelegt. Stumme Mitralkstenosen gibt es bei Beachtung aller Kriterien praktisch nicht. Für eine hamodynamisch bedeutsame Mitralkinsuffizienz neben der Stenose sprechen die in Tabelle 6 aufgeführten Zeichen.

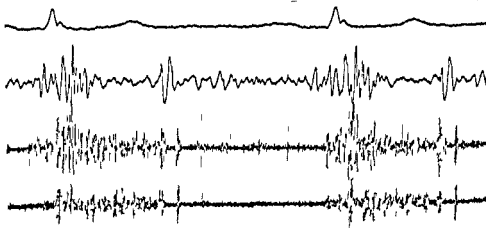
TABELLE 6

Mechanokardiographische Zeichen, die für ein Überwiegen der Stenose oder Insuffizienz bei unreinen Mitralkstenosen sprechen

	überwiegende Stenose	überwiegende Insuffizienz
1 I. Ton	laut	leise
2 Mitralköffnungston	laut	leise oder völlig s. Fehlen
3 Umformungszeit	verlangert	normal
4 III. Ton linker Ventrikel	fehlt	laut
5 Systolisches Geräusch	fehlt oder leise, niederfrequent	laut, hochfrequent, gießen, der Klangcharakter von der Spitze weit nach links reichend
6 a-Wellen im linksseitigen Apexogramm	verkleinert	normal
7 Schnelle Füllungs-welle im linksseitigen Apexogramm	abgeflacht oder fehlend	normal oder verstärkt

d) Aortenstenose

Die Aortenstenose weist in der Regel einen recht typischen Auskultations- und mechanokardiographischen Befund auf. In der Systole findet sich ein lautes, rauhes Geräusch mit spindelförmiger Gestalt, das am besten über der Basis des Herzens geschrieben werden kann. Da es laut ist und auch tiefere Frequenzen hat, ist es in allen Frequenzgängen gut darstellbar. Die Spindelgestalt kommt in m_2 und h_1 jedoch meistens besser heraus (vgl. Abb. 30 und 36).



a

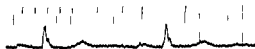


Abb 34 a/b Unreines Mitralvitium
mit Ösophaguspulskurve*

Herzschallmikrophon
über der Herzspitze

Papiervorschub

a) 100 mm/sec

b) 50 mm/sec

Kurven

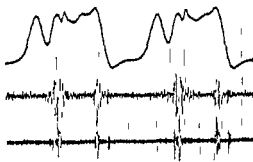
a) EKG Ableitung II

Herzschall t m h₁

b) EKG Ableitung II

Ösophaguspulskurve

Herzschall m h₁



b

Unmittelbar nach dem I Herzton
der eine verhältnismäßig große Am-
plitude besitzt beginnt ein hoch
frequentes holosystolisches an-
gedeutet decrescendoformiges Ge-
räusch

0 07 sec nach Beginn des II Tones erscheint in m und h₁ ein deutlicher Mitral-
öffnungston. Ein niederfrequenter III Herzton fällt 0 12 sec nach Beginn des II Tones
ein 0 11 sec vor Beginn des I Tones ein niederfrequenter Vorhofston. Außerdem er-
kennt man ein präsysstolisches Crescendogeräusch. Die Umformungszeit ist auf 0 03 sec
verlängert. — Ergänzend zu den Schallerscheinungen des unreinen Mitralfehlers bringt
die Ösophaguspulskurve als Zeichen einer hamodynamisch recht bedeutsamen Insuffi-
zienz den unmittelbaren Übergang der Ventrikelsacke in die Vorhofauffüllungswelle,
die ihren Gipfelpunkt zum Zeitpunkt des II Tones erreicht. Für die Stenose sprechen
die betonte Vorhofkontraktionswelle und die Abknickung im Steilabfall der Vorhof-
auffüllungswelle zur Zeit des Mitralöffnungstones.

* Wir danken Herrn Priv. Doz. Dr. Kuhn, Univ. Poliklinik Heidelberg (Direktor
Prof. Dr. H. Plögg) für die Überweisung dieses Patienten.

scheinungen der Mitralstenose geringere Schwierigkeiten. Das gelegentliche Verschwinden des Diastolikums auch bei hochgradigen Stenosen in der Ruhe muß beachtet werden. Der Mitralöffnungston kann bei stark erhöhtem Druck im linken Vorhof mit dem II. Ton verschmelzen. Auch hier hilft die Spitzenstoßkurve wie auf S. 42 angegeben wurde. Beim Vorhandensein eines Frühdiastolikums mit presystolischem Crescendo ist auch immer an eine Trikuspidalstenose zu denken, die wegen ihrer Seltenheit nicht erkannt wird. Die Unterscheidungsmerkmale der Trikuspidal- und Mitralstenose sind auf S. 47 und S. 60 dargelegt. Stumme Mitralstenosen gibt es bei Beachtung aller Kriterien praktisch nicht. Für eine hamodynamisch bedeutsame Mitralinsuffizienz neben der Stenose sprechen die in Tabelle 6 aufgeführten Zeichen.

TABELLE 6

Mechanokardiographische Zeichen, die für ein Überwiegen der Stenose oder Insuffizienz bei unreinen Mitralstenosen sprechen

	überwiegende Stenose	überwiegen der Insuffizienz
1 I. Ton	laut	leise
2 Mitralöffnungston	laut	leise oder völliges Fehlen
3 Umformungszeit	verlangert	normal
4 III. Ton linker Ventrikel	fehlt	laut
5 Systolisches Geräusch	fehlt oder leise, niederfrequent	laut, hochfrequent, groß, in der Klangcharakter von der Spitze weit nach links reichend
6 a. Wellen im linksseitigen Apexogramm	verkleinert	normal
7 Schnelle Fallungselle im linksseitigen Apexogramm	abgeflacht oder fehlend	normal oder verstärkt

d) Aortenstenose

Die Aortenstenose weist in der Regel einen recht typischen Auskultations- und mechanokardiographischen Befund auf. In der Systole findet sich ein lautes, rauhes Geräusch mit spindelförmiger Gestalt, das am besten über der Basis des Herzens geschrieben werden kann. Dies ist laut und auch tieferer Frequenzen hat, ist es in allen Frequenzgängen gut darstellbar. Die Spindelgestalt kommt in m_1 und h_1 jedoch meistens besser heraus (vgl. Abb. 3, und 36).

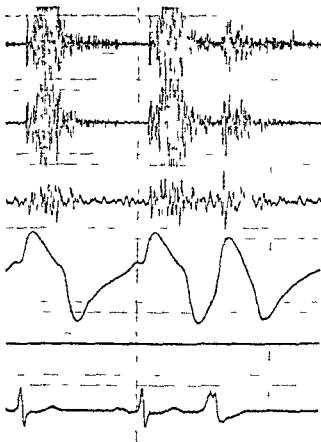
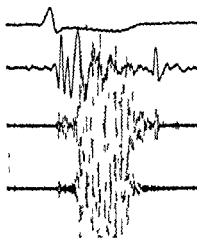


Abb 35 Aortenstenose mit geringer Insuffizienz und ventrikulärer Extrasystole

Herzschallmikrophon	2 JCR mediosternal
Pulsabnehmer	über dem Spitzenstoß
Kurven	Herzschall m m ₁ t Spitzenstoßkurve (linkssertig) EKG Ableitung II

Die Kurve wurde bei linker Seiterlage des Patienten geschrieben. Normallauter I Ton. Der II Ton: t vom Ende des systolischen Geräusches nicht sich r abzugrenzen. Hochfrequentes systolisches Geräusch mit spindelförmiger Gestalt. Kurzes, gleichfalls hochfrequentes diastolisches Decrescendogeräusch. Das systolische Geräusch zeigt bei der Extrasystole entsprechend dem verminderten Schlagvolumen eine kleinere Amplitude. In der Spitzenstoßkurve des 60jährigen Patienten fehlt die schnelle Füllungs- und Abflusswelle, was in diesem Alter nicht pathologisch ist. Am extrasystolischen Schlag keine a-Wellen, kürzere und abgerundete Form der systolischen Welle.

Abb 36 Aortenstenose



Hertzschallmikrophon 2 ICR rechtasternal
 Papiervorschub 100 mm/sec
 Kurven EKG Ableitung II
 Hertzschall t m_2 h_1

Die Herztöne sind nur in t deutlich zu erkennen während sie in m_2 und h_1 nur angedeutet bzw gar nicht dargestellt sind. Unmittelbar nach dem I Ton beginnt mit spitzem Ansatz ein spindelförmiges Geräusch hoher Frequenz. Das Amplitudenmaximum des Geräusches liegt etwa in der Mitte der Systole sein Ende kurz vor dem II Ton.

Wichtig für die Beurteilung der Schwere der Stenose ist die zeitliche Lage des Beginns des Endes und des Maximums des Geräusches in den hohen Frequenzen. Alle drei liegen bei engen Stenosen deutlich später als bei den leichten. Bei schweren Stenosen reicht das Geräusch fast immer bis zum II Ton und hat ein kurzes Decrescendo. Dieses Charakteristikum hat klinische Bedeutung, da die Blutdruckamplitude auch bei schweren Stenosen nicht wesentlich eingeengt zu sein braucht.

Auch die Carotispulscurve ist für die Erkennung des Schweregrades von Bedeutung, da die typische Hahnenkammform mit verlängerter Anstiegs- verlängerter Austreibungszeit und der Zackung des Gipfels nur bei schweren Stenosen zu beobachten ist (vgl. Abb. 17, 37, 41, 52).

Die Abschwächung der Töne ist ebenfalls zu beachten. Die Ursache derjenigen des I Tones ist noch nicht sicher geklärt. Sehr wahrscheinlich spielen die Hypertrophie des linken Ventrikels und zuweilen nachweisbare Veränderungen der Mitralklappen eine Rolle. Die Abschwächung des II Tones als Folge der Klappeninduration stellt ein recht zuverlässiges Zeichen dar, ohne das die Diagnose eigentlich nicht gestellt werden soll. Für die rheumatisch entstandene Aortenstenose gilt diese Regel jedenfalls. Bei den angeborenen Aortenstenosen trifft sie jedoch nicht so häufig zu und auch bei den arteriosklerotischen, die bei den überalterten Patienten heutzutage nicht so selten sind, ist die Abschwächung oft nicht vorhanden. Die Aortenstenose ist ein seltenes Vitium und laute Basissystolika, die auch über den Carotiden hörbar sind, kommen auch aus anderen Ursachen, vor allem bei Aortensklerose vor. Über die Unterscheidung von akustisch fortgeleiteten Carotisgeräuschen und autochthonen Gefäßgeräuschen sprechen wir bei der Aorteninsuffizienz.

Die Tabelle 7 bringt noch einmal die mechanokardiographischen Zeichen der Aortenstenose.

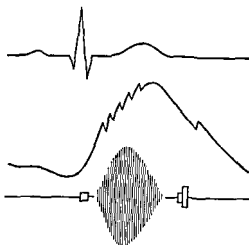


Abb 3, Schallerscheinungen bei Aortenstenose

Der I Ton und der A Anteil des II weisen eine kleine Amplitude auf. Das spindelförmige Austreibungsgeräusch ist vom I und II Ton durch ein kurzes freies Intervall getrennt. Das Amplitudenmaximum des Geräusches liegt in der Mitte der Systole bzw. etwas früher. Die Carotispulskurve zeigt im verzögerten Steilanstieg zahlreiche Einkerbungen (Hahnenkammform).

TABELLE 7

Mechanokardiographische Zeichen der Aortenstenose

Phonokardiogramm	<ol style="list-style-type: none"> 1 I Ton leise (wegen Linkshypertrophie) 2 II_A abgeschwächt (wegen pathologischer Klappenveränderung) 3 Systolikum spindelförmig vom I Ton abgesetzt. Beginn Maximum und Ende um so später je schwerer die Stenose. 4 Da Austreibungsgeräusch Verstärkung durch Nitroglycerin und beim postextrasystolischen Schlag abgeschwächt bei Extrasystolen. 5 Akustisch fortgeleitetes Carotisgeräusch.
Carotispulskurve	<ol style="list-style-type: none"> 1 Langsamer Pulskurvenanstieg über 0,06 sec. Zackung des Gipfels durch fortgeleitetes Geräusch (Hahnenkammkurve). 2 Spaltung des II Tones selten, da die Austreibungszeit des linken Ventrikels verlängert ist und U sogar II_A vor II_A.
Spitzenstoßkurve (linkssseitig)	<ol style="list-style-type: none"> 1 Verstärkung der a Welle. 2 Abrundung des Gipfels als Zeichen der Linkshypertrophie.

e) Aorteninsuffizienz

Akustisches Charakteristikum der Aorteninsuffizienz ist ein hochfrequentes protodiastolisches Decrescendo-geräusch, dessen Lautstärke kann sehr gering sein. Es ist dann nur im tiefen Insiprium evtl. in aufrechter Körperhaltung oder sogar mit vornübergelegtem Oberkörper zu registrieren. Andererseits gibt es auch sehr laute, lang anhaltende Diastolika, die ohne Schwierigkeiten aufgenommen werden können. Die Lautstärke geht zwar nicht parallel mit der Schwere des Klappenfehlers, jedoch sind die Geräusche häufig lauter und länger bei schweren Insuffizienzen (vgl. Abb. 35, 38, 39, 41, 47, 48).

Das Ausbreitungsgelände reicht vom 2. Interkostalraum rechtssternal u. l. bis zur Herzspitze. Das Punktum maximum liegt häufig im 3–4. Interkostalraum links parasternal. Nur bei sehr hochgradigen Insuffizienzen ist es rechts vom Sternum gelegen. Das Diastolikum beginnt unmittelbar nach dem Aortenanteil des II. Tones. Öfter ist das Decrescendo durch ein vorübergehendes Crescendo zur Zeit der dikroten Welle unterbrochen, was für eine höchstens mittelschwere Insuffizienz spricht. Reine Diastolika findet man nur bei leichten Insuffizienzen. Bei allen hamodynamisch bedeutsamen Insuffizienzen ist

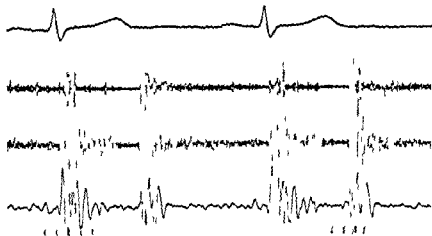


Abb. 38. Aorteninsuffizienz mit Begleitsystolikum

Herzschallmikrophon	3 JCR links parasternal
Papiervorschub	100 mm/sec
Kurven	EKG Ableitung II
	Herzschall h_1 m t

I. Ton ohne Besonderheiten. In t erkennt man eine Spaltung der II. Töne mit einem Intervall von 0,04 sec. Im unmittelbaren Anschluß an II_A beginnt ein an gesprochenes hochfrequentes holodiastolisches Decrescendo-geräusch. Ein vorwiegend mittelfrequentes Geräusch erscheint in der ersten Hälfte der Systole 0,06 sec vor Beginn des I. Tones fällt ein niederfrequenter Vorhofton ein.

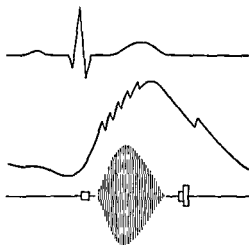


Abb 37 Schallerscheinungen bei Aortenstenose

Der I Ton und der A Anteil des II weisen eine kleine Amplitude auf. Das spindelförmige Austreibungsgeräusch ist vom I und II Ton durch ein kurzes freies Intervall getrennt. Das Amplitudenmaximum des Geräusches liegt in der Mitte der Systole bzw. etwas früher. Die Carotispulscurve zeigt im verzögerten Steilanstieg zahlreiche Einkerbungen (Hahnenkammform).

TABELLE 7

Mechanokardiographische Zeichen der Aortenstenose

Phonokardiogramm	<ol style="list-style-type: none"> 1 I Ton leise (wegen Linkshypertrophie) 2 II_A abgeschwächt (wegen pathologischer Klappenveränderung) 3 Systolikum spindelförmig vom I Ton abgesetzt. Beginn Maximum und Ende um so später je schwerer die Stenose 4 Da Austreibungsgeräusch Verstärkung durch Nitrokorper und beim postextrasystolischen Schlag abgeschwächt bei Extrasystolen 5 Akustisch fortgeleitetes Carotisgeräusch
Carotispulscurve	<ol style="list-style-type: none"> 1 Langsamer Pulskurvenanstieg über 0,06 sec. Zackung des Gipfels durch fortgeleitetes Geräusch (Hahnenkammcurve) 2 Spaltung des II Tones selten, da die Austreibungszeit des linken Ventrikels verlängert ist u. U. sogar II_r vor II_A
Spitzenstoßcurve (linkseitig)	<ol style="list-style-type: none"> 1 Verstärkung der a Welle 2 Abrundung des Gipfels als Zeichen der Linkshypertrophie

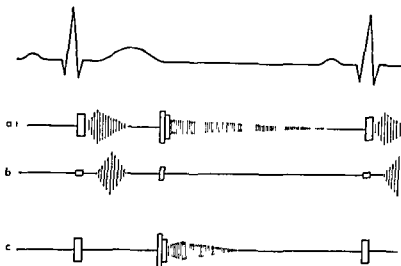


Abb 40 Schallerscheinungen bei Aorteninsuffizienz

Kurve a) zeigt ein unmittelbar nach dem II. Ton beginnendes hochfrequentes fast die ganze Diastole ausfüllendes Decrescendogeräusch außerdem ein vornehmlich mittelfrequentes angedeutet spindelförmiges Begleitsystolikum in der ersten Hälfte der Systole (funktionelle Aortenstenose). Mikrophonauflage im $2/3$ JCP links parasternal. Kurve b) schematisiert denselben Fall einer mittelschweren bis schweren Aorteninsuffizienz. Ort der Mikrophonauflage jedoch an der rechten Halsseite über der A. carotis. Später beginnend als das Begleitsystolikum über der Herzbasis erscheint ein spindelförmiges autochthones Gefäßgeräusch. In der Regel kommen die Herztonen über der Carotis nicht zur Darstellung. Sie sind hier nur deshalb mit kleiner Amplitude eingezeichnet, um die Verspätung des Gefäßgeräusches hervorzuheben.

Kurve c) bringt das diastolische Geräusch einer leichteren Aorteninsuffizienz mit einem Crescendo zur Zeit der diastolischen Welle. Kein Begleitsystolikum vorhanden.

Außerdem haben die meisten schweren Insuffizienzen autochthone Carotisgeräusche. Die Unterscheidung, ob es sich um ein unreines Aortenvitium oder um eine reine Aorteninsuffizienz mit Begleitsystolikum handelt, gelingt mit Hilfe der Phonokardiographie, da das akustisch fortgeleitete Carotisgeräusch gleichzeitig mit dem Basissystolikum auftritt, während das autochthone Geräusch erst zur Zeit des Pulswellendurchganges erscheint (vgl. Abb. 39). Wie auf Seite 5 erwähnt, sind synchrone Registrierungen mit zwei Mikrophonen über verschiedenen Abnahmestellen nur dann einwandfrei durchzuführen, wenn abgesehen von gleichen Mikrophontypen zwei Herzschriftverstärker mit gleichem Frequenzgang vorhanden sind. Die Schallerscheinungen bei Aorteninsuffizienzen sind schematisch in Abb. 40 wiedergegeben und die mechanokardiographischen Merkmale in Tabelle 8 zusammengefaßt.

TABELLE 8

Mechanokardiographische Zeichen der Aorteninsuffizienz

Phonokardiogramm	1 I Ton unverändert
	2 II Ton nur bei schweren Vstien abgeschwächt
	3 III Ton häufig
	4 Protodiastolisches Decrescendogerausch hoher Frequenz über der Basis u U bis zur Spitze reichend unmitttelbar nach II _A beginnend
	5 Spindelförmige Auftreibung des Geräusches während der diastolischen Welle findet sich nur bei leichteren Insuffizienzen
	6 Bei hemodynamisch bedeutsamen Klappenfehlern Begleitdiastolisches Geräusch über der Basis (funktionelle Aortenstenose)
	7 Autochthones Carotisgeräusch als Folge des vergrößerten Schlagvolumens (Verspätung gegenüber Basis diastolisches Geräusch)
Carotispulskurve	1 Schneller hoher Anstieg
	2 Oft anakrote Welle wegen großen Schlagvolumens
	3 Verlust der Incisur und der diastolischen Welle bei schwerer Insuffizienz
	4 Verkürzung der Druckanstiegszeit
Spitzenstoßkurve (linkssseitig)	1 Große a Welle
	2 Plateauförmig wegen Linkshypertrophie
	3 Ausgeprägter schneller Füllungsanstieg

f) Unreine Aortenfehler

Von großer praktischer Bedeutung ist die Unterscheidung von überwiegender Aortenstenose mit geringer Insuffizienz und schwerer Aorteninsuffizienz mit geringer Stenosierung. Hiervon hängt die Frage ab, ob und welches operative Vorgehen angezeigt ist. Neben den altbekannten Zeichen wie Blutdruckunterschiede, Herzgröße und Neigung zur Bradykardie bzw. Tachykardie werden die in Tabelle 9 zusammengestellten mechanokardiographischen Hinweise ihren Nutzen haben und die direkte Messung des Druckgradienten im linken Herzen oft unnötig machen (vgl. Abb. 11).

Abb 41 Unreines Aortenvitium
mit hahnenkammförmiger Carotis-
pulscurve

Herschallmikrophon
2 JCR rechts parasternal
Papiervorschub
50 mm/sec
Kurven
Herschall m m₁ t
Carotispulscurve
EKG Ableitung II

Die Töne heben sich von den lauten
Gerauschen nur wenig ab. Der II. Ton
ist jedoch durch die Incisur der
Carotispulscurve leicht zu bestim-
men. Spindelförmiges holosystolisches
Gerausch und diastolisches Decres-
cendogerausch im Anschluß an den
II. Ton. Die Carotispulscurve zeigt
Hahnenkammform mit deutlicher In-
cisur und geringer Dikrotie. Austrei-
bungszeit auf 0,34 sec verlängert.

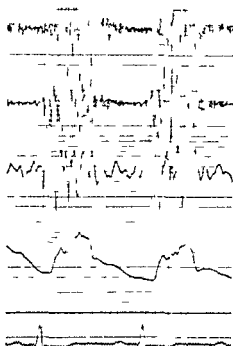


TABELLE 9

*Mechanokardiographische Zeichen, die für ein Überwiegen der Stenose
oder Insuffizienz bei unreinem Aortenvitium sprechen*

	überwiegende Stenose	überwiegende Insuffizienz
1 I. Ton	abgeschwächt	unverändert
2 II. Ton	abgeschwächt	nur bei schwerer Insuffizienz abgeschwächt
3 Basissystolikum	sehr laut	lautes Systolikum spricht nicht gegen erhebliche Insuffizienz
4 Basisdiastolikum	kurz und leise	laut und lang großer Ausbreitungsbezirk
5 Carotigeräusch	akustisch fortgeleitet (keine Verspätung)	autochthones Carotigeräusch (Verspätung)
6 Carotispulskurvenform	Hahnenkamm	hoher, schneller Anstieg anakrote Welle
7 Druckanstiegszeit	normal	verkürzt
8 Austreibungszeit	stark verlängert	normal (sofern nicht dekomponiert)

4 Erworbene Klappenfehler des rechten Herzens

Trotz der Seltenheit erworbener Klappenfehler am rechten Herzen erscheint eine Besprechung im Zusammenhang erforderlich vor allem weil dann die funktionellen Stenosen und Insuffizienzen in ihrer Systematik besser verstanden werden. Allen Schallerscheinungen am rechten Herzen ist gemein, daß ihre Intensität nicht wie diejenige vom linken Herzen im Inspirium abgeklunget wird sondern u U sogar zunimmt. Das gilt besonders für

- 1 das Systolikum der Trikuspidalinsuffizienz
- 2 das Diastolikum der Trikuspidalstenose
- 3 das Diastolikum der Pulmonalinsuffizienz
- 4 den rechtsseitigen Vorhofflon

Zu beachten ist bei der Auswertung dieses Symptoms allerdings, daß die Intensitätsunterschiede sehr gering sein können d h man muß sehr genau drauf achten. Fehlt ein Unterschied der Lautstärke während der Atmung darf eine Störung im rechten Herzen nicht abgelehnt werden.

a) Trikuspidalinsuffizienz

Eine Abschwächung des I Tones tritt in der Regel nicht ein. Die Trikuspidalinsuffizienz verursacht ein systolisches Decrescendogerausch. Man registriert es über dem unteren Sternum am linken Sternalrand in Höhe des Ansatzes der 4 Rippe. Die inspiratorische Verstärkung des Geräusches ist bei leichten und sehr schweren Insuffizienzen meistens nicht ausgesprochen. Da solche systolischen Geräusche recht vieldeutig sind, bereitet ihre Bewertung zuweilen Schwierigkeiten (vgl Abb 42).

Bei Störungen am rechten Herzen vermag der Venenpuls u U wertvolle Informationen zu vermitteln. Er ist bei der Trikuspidalinsuffizienz durch einen mangelhaften systolischen Kollaps ausgezeichnet, da zur Zeit der Ventrikelkontraktion der Rückfluß in den Vorhof den Raumgewinn durch die Ventilebenensenkung kompensiert. Bei Vorhofflummern fehlt außerdem die Vorhofdiastole, deshalb verschwindet der systolische Kollaps (sog positiver Venenpuls) (vgl Abb 43). Durch den Rückfluß ist die diastolische Füllung des rechten Vorhofes früher beendet. Hierdurch tritt die d Welle manchmal früher als normal auf. Der diastolische Kollaps (y) liegt bei der Trikuspidalinsuffizienz tiefer als x (vgl Tab 44a). Tabelle 10 bringt die mechanokardiographischen Zeichen als x (vgl Tab 44 a).

Tabelle 10 bringt die mechanokardiographischen Zeichen der Trikuspidalinsuffizienz.

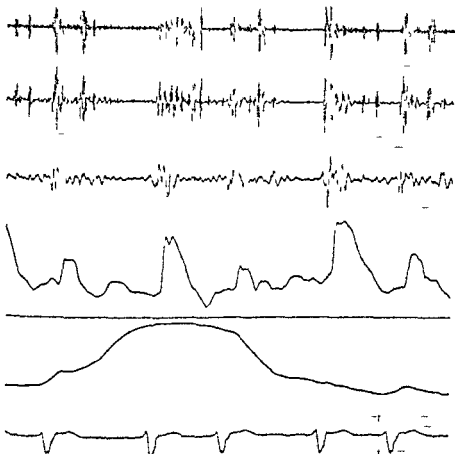


Abb 42 Inspiratorische Verstärkung eines Trikuspidalinsuffizienz Geräusches

Herzschallmikrophon	Mitte des unteren Sternum
Papiervorschub	50 mm/sec
Kurven	Herzschall m m ₁ t
	Carotispulskurve
	Atmungskurve
	FKC Abl II

In der Schallkurve sind regelrechte Herzöne zu erkennen 0,08 sec nach Beginn des II Tones findet sich ein Mitralöffnung ton kleiner Amplitude. Das systolische Geräusch zeigt starke Intensitätsunterschiede die durch die veränderliche Diastolenlänge und außerdem durch die Atemphase bedingt sind. Da das Geräusch im Inspirium am lautesten ist muß an eine Trikuspidalinsuffizienz gedacht werden. Es handelt sich um ein unreines Mitralvitium (Diastolum hier nicht dargestellt) mit relativer Trikuspidalinsuffizienz bei Vorhofflimmern.

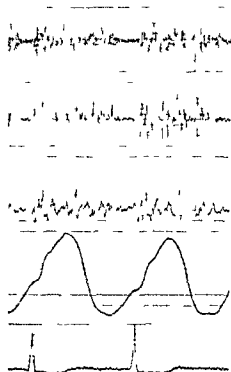


Abb 43 Relative Trikuspidalinsuffizienz bei Mitralkstenose und absoluter Arrhythmie

Herzschallmikrophon
Sternummitte in Höhe des
5 JCR

Papiervorschub
50 mm/sec

Kurven
Herzschall h_1 m t
Venenpulskurve
EKG Ableitung II

Normale Herztöne Decrescendogeräusch die ganze Systole ausfüllend
Diastolisches Geräusch 0 10 sec nach dem II Ton beginnend Mitralkloffnungston nicht deutlich
Venenpuls Keine a Welle systolischer Kollaps ausgefüllt (positiver Venenpuls)

TABELLE 10

Mechanokardiographische Zeichen der Trikuspidalinsuffizienz

Phonokardiogramm	<ol style="list-style-type: none"> 1 Töne unverändert 2 III Ton rechtsseitig häufig 3 Systolisches Decrescendogeräusch
Venenpulskurve	<ol style="list-style-type: none"> 1 Frühzeitiges Ende des systolischen Kollapses oder vollständiges Fehlen eines solchen vor allem bei Vorhofflimmern (positiver Venenpuls) 2 Frühzeitiges Auftreten der d Welle 3 Tiefe Lage von v im Vergleich zu x
Leberpulskurve	Die Leberpulskurve zeigt ähnliche Veränderungen wie die Venenpulskurve
Spitzenstoßkurve	<ol style="list-style-type: none"> 1 Stark ausgeprägte schnelle Füllungswelle 2 Gipfel der Füllungswelle synchron mit dem rechtsseitigen III Ton
Atmungskurve	Inspiratorische Verstärkung des systolischen Geräusches

b) Trikuspidalstenose

Die Trikuspidalstenose ist nicht ganz so selten wie man ursprünglich annahm. Sie ist schwer von der Mitralkstenose zu unterscheiden, mit der sie häufig gemeinsam auftritt. Diastolikum, präsystolisches Crescendo und Trikuspidalöffnungs- ton haben gewöhnlich geringere Amplitude als die entsprechenden Erscheinungen der Mitralkstenose. Das P_m befindet sich am unteren linken Sternastrand. Im Gegensatz zu den Mitralsegeln, an denen ein Öffnungston nur bei organischer Stenosierung entsteht, finden sich an unveränderten Trikuspidalklappen bei größerem Durchfluß zuweilen Öffnungstöne (z. B. bei Vorhofseptumdefekten).

Auch bei der Trikuspidalstenose finden wir eine inspiratorische Verstärkung des Geräusches. Der Venenpuls ist häufig verändert. Besonders beim Vorhofflimmern können die Kurven ähnlich wie bei der Trikuspidalinsuffizienz aussehen, da die mangelhafte präsystolische Entleerung des rechten Vorhofes zum Verschwinden des systolischen Kollapses zu einem sog. positiven Venenpuls führt (vgl. Abb. 43–44a). Bei Pulsfrequenzen über 65–70/min können die Venenpulskurven u und U nicht voneinander unterschieden werden. Bei langsamem Puls wird dagegen die verzögerte Füllung des rechten Ventrikels am späten Einsetzen der d- Welle oder an deren Fehlen trotz Bradykardie sichtbar.

Auf die zeitlich enge Beziehung zwischen Trikuspidalöffnungs- ton und Punkt O der rechtsseitigen Spitzenstoßkurve wurde schon S. 17 hingewiesen. An der rechtsseitigen Spitzenstoßkurve wird bei bedeutsamer Trikuspidalstenose ähnlich wie bei der Mitralkstenose links eine schnelle Füllungs- welle vermißt (vgl. Tab. 11 und Abb. 44d).

TABELLE 11
Mechanokardiographisch. Zeichen der Trikuspidalstenose

Phonokardiogramm	<ol style="list-style-type: none"> 1. Töne unverändert 2. Niederfrequentes fruhdiastolisches Geräusch evtl. mit präsystolischem Crescendo über dem unteren Sternum und links parasternal 3. Trikuspidalöffnungs- ton
Venenpulskurve	<ol style="list-style-type: none"> 1. Überhohte a- Welle 2. Frühzeitiges Aufhören des systolischen Kollapses. Bei Vorhofflimmern Fehlen des x- Tales (positiver Venenpuls) 3. Verspatetes Auftreten oder Fehlen von d- u U schon bei relativ niedriger Pulsfrequenz (unter 60–70/min) 4. Trikuspidalöffnungs- ton muß mit dem Gipfel der d- Welle zusammen auftreten
Leberpulskurve	Zeigt ähnliche Veränderungen wie die Venenpulskurve
Spitzenstoßkurve rechtsseitig	Fehlen der schnellen Füllungs- welle. Punkt O und Öffnungston müssen zeitlich zusammenfallen
Atmungskurve	Inspiratorische Verstärkung der Geräusche

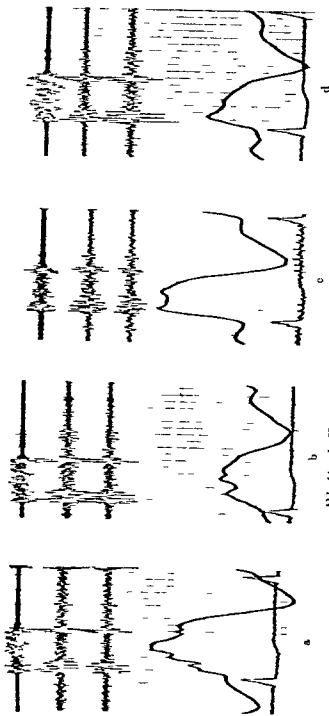


Abb 44 a-d Unreines Mitral und Trikuspidalventrum
 Pappevorschub
 Kurven
 Herzschall h₁ m₂ m₃

a) Venenpuls b) Leberpuls c) Spitzenstoß I d) Spitzenstoß II
 EKG Ableitung II

Der I Ton zeigt eine angeordnete Intensitätsabnahme in h₁ sonst ist er unauffällig. Der II Ton ist ebenfalls unverändert. Fast die ganze systole ist durch ein Geräusch angefüllt, das in den hohen Frequenzgängen ein Crescendo zeigt. Das diastolische Geräusch, das ca. 0,1 sec nach dem II Ton beginnt, ist nur in Abb. b) deutlich dargestellt, da das Mikrophon wegen der zusätzlichen mechanischen Geräusche nicht optimal aufgesetzt werden konnte. Die Venenpuls- und Leberpuls-kurve zeigen den fast völligen Verlust der s-Wellen und des v-Tales. Das y-Tal liegt sehr tief. Bei der bestehenden absoluten Arrhythmie ist dieser Befund für eine Trikuspidalinsuffizienz typisch. Bei den Spitzenstoßkurven ist das Fehlen der schnellen Füllungs-elle gemeinsam. Daraus ergibt sich ein Hinweis auf eine hämodynamisch bedeutungsvolle Stenose der Trikuspidalstenose, aber auch eine zu ätzliche Trikuspidalstenose kann vermutet werden. - Fs handelt sich wahrscheinlich um eine Stenose der Trikuspidalstenose und Insuffizienz beider AV-Ostien.

c) Pulmonalinsuffizienz

Die Pulmonalinsuffizienz tritt eigentlich nur als funktionelle auf (vgl. S. 71). Ihr Geräusch ist dem der Aorteninsuffizienz ähnlich. In der Regel ist es leiser, sein Ausbreitungsgebiet kleiner. Das P₂ m liegt im 2. Interkostalraum links vom Sternum. Es beginnt nach dem P₁ Anteil des II. Tones, nicht selten besonders in den höheren Frequenzgängen, aber erst nach einem ruhigen Intervall von 0,00 bis 0,10 sec. Da der Pulmonalklappenschluß in der Regel dem Aortenschluß folgt, liegt das Pulmonalinsuffizienzgeräusch meist erheblich später als das der Aorteninsuffizienz (b. a. c. Tab. 12 und Abb. 4c).

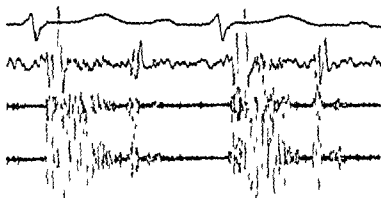


Abb. 4c Funktionelle Pulmonalinsuffizienz (GRAHAM STEEL) bei Vorhofseptumdefekt

Herzschallmikrophon 2 JCP links parasternal
 Papiervorschub 100 mm/sec
 Kurven EKG Ableitung II
 Herzschall t₁ m₁ h₁

Unmittelbar hinter dem I. Herztönen beginnt ein hochfrequentes, angedeutet spinellförmiges Geräusch, das kurz vor dem II. Ton endet und dessen Amplitudenmaximum in der ersten Hälfte der Systole liegt. Etwa 0,06 sec nach Beginn des II. Tones, der keine Spaltung aufweist, kommt ein kurzes protodiastolisches Geräusch zur Aufzeichnung.

TABELLE 12

Mechanokardiographisch Zeichen der Pulmonalinsuffizienz

Phonokardiogramm	1 Töne unverändert 2 Hochfrequentes diastolisches De crescendo-geräusch 0,05–0,10 sec nach II _P . Punctum maximum im 2. JCR links parasternal
Atmungskurve	Meist keine deutliche Verstärkung des Diastolikums im Inspirium. Manche Diastolika sind so leise, daß sie nur im t ₁ f. n. expiratorisch, n. Atemstillstand registriert werden können (vgl. S. 21)

5 Kombinierte Vitien funktionelle Stenosen und Insuffizienzen

Die Diagnose von reinen Klappenfehlern ist verhältnismaßig einfach und eigentlich nur eine Frage der Aufmerksamkeit. Viel schwieriger ist dagegen die Erkennung von Kombinationen. Heutzutage handelt es sich dabei meist nicht mehr um eine akademische Frage, weil die Therapie oft ganz entscheidend von der erschöpfenden Diagnostik abhängt.

Fs ist zu unterscheiden, ob eine Kombination von Klappenfehlern also eine Erkrankung an mehreren Klappen vorliegt oder ob die organische Veränderung einer Klappe zu einer zusätzlichen Ventilstörung an anderen geführt hat. Die Schwierigkeit einer Unterscheidung ergibt sich aus der Tatsache, daß organische und funktionelle Stenosen und Insuffizienzen in ihrer Symptomatik ähnlich sind (vgl. S. 35). Bei sinngemäßer Anwendung alles dessen, was wir in den Kapiteln über die Extratone und bei Besprechung der einzelnen reinen und un-reinen Vitien aufgeführt haben, wird es im allgemeinen gelingen, sich über die funktionelle Bedeutung der Komponenten eines kombinierten Vitiums ein zu treffendes Bild zu verschaffen.

Wegen der vergleichsweise stärkeren Sprengwirkung für Verklebungen an der Aortenklappe überwiegen hier die Insuffizienzen über die Stenosen. Im Gegensatz zur Mitrals. Kombinierte Vitien sind daher zu über 80% Mitrals-te-nosen und Aorteninsuffizienzen (vgl. Abb. 46). Funktionelle Stenosen und Insuffizienzen sind viel häufiger als allgemein angenommen wird. Hat man sich angewöhnt, danach zu suchen, so begegnet man ihnen auf Schritt und Tritt.

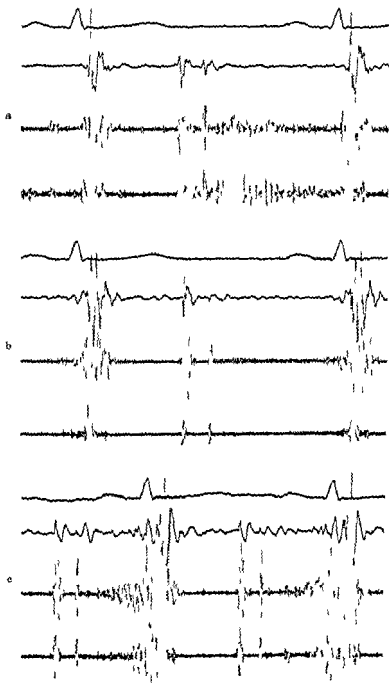
Eine wichtige Form der funktionellen Stenosen ist diejenige an den Mitralklappen. Gedacht ist nicht so sehr an die seltene Verengung des Ostiums durch ein Vorhofflimmern mit dem charakteristischen sturmischen Verlauf und dem akustischen Bild einer Mitralsstenose, meist ohne Mitralloffnungston, als vielmehr an die relative Enge des Ostiums. Hierbei sind die Geräusche denen der organi-

Abb. 46 a-c Aorteninsuffizienz und Mitralsstenose

Herzschallmikrophon	a) über dem Erbschen Punkt b) über der Herzspitze c) über der Herzspitze nach Belastung
Papiervorschub	100 mm/sec
Kurven	EKG Ableitung II Herzschall t, m ₂ , h ₁

Der I. Herzton zeigt über Basis und Spitze eine sehr hohe Amplitude, eine Spaltung des II. Tones ist nicht erkennbar. In a) erscheint 0,10 sec nach Beginn des II. Tones ein hochfrequenter Mitralloffnungston. Unmittelbar an den II. Ton schließt sich ein gleichfalls hochfrequentes, die ganze Diastole ausfüllendes Geräusch an. Über der Spitze (b) ist von diesem Aorteninsuffizienzgeräusch praktisch nichts aufgeschrieben. II. Ton und Mitralloffnungston heben sich gut von der Nulllinie ab. Kurz vor dem I. Ton ist ein crescendoformiges prästolisches Geräusch angedeutet, das nach Belastung (c) sehr viel deutlicher wird und schon bald nach dem Mitralloffnungston einsetzt. Die Mitralloffnungszeit verkürzt sich nach Belastung auf 0,08 sec.

Kombinierte Vitien funktionelle Stenosen und Insuffizienzen



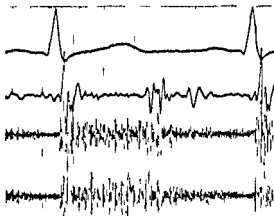


Abb 47 a/b Aorteninsuffizienz
und Mitralsuffizienz

Herzschallmikrophon

- a) über dem Erbschen Punkt
b) über der Herzspitze

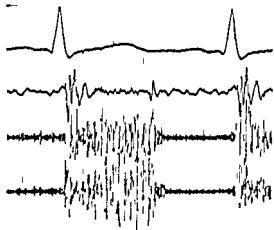
Papiervorschub

100 mm/sec

Kurven

EKG Ableitung II

Herzschall t_{m2} h₁



Hochfrequenten die ganze Systole ausfüllendes Mitralsuffizienzgeräusch mit wechselnder Amplitudenhöhe und einem p m über der Herzspitze (b) Über der Herzbasis (a) ist ein hochfrequenten holodiastolischen un mittelbar an den mit einem Intervall von 0 04 sec gespaltenen II Ton sich anschließendes Decrescendogeräusch (Aorten insuffizienz) aufgezeichnet 0 13 sec nach Beginn des II Tones ein niederfrequenter III Herz ton (a)

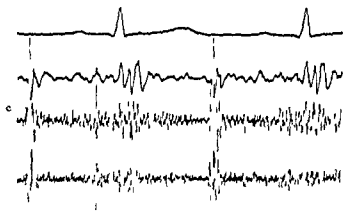
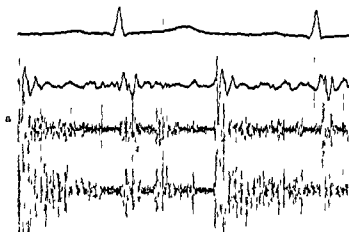
schen Klappenfehler ähnlich. Allerdings sind sie fast nie so lang, selten ebenso laut und haben fast immer niedrigere Frequenzen. Bei vielen ist die Schallfrequenz so gering, daß sie mit dem Ohr nicht mehr wahrgenommen werden können. Sie kommen daher auch nur auf den Schallkurven tiefer Abstimmung – t und m₁ – zur Darstellung. Noch besser erkennt man sie auf Ösophagus schallkurven. Während man früher glaubte, daß funktionelle Mitralsenosen nur bei Aorteninsuffizienzen vorkommen (AUSTIN FLINT), weiß man jetzt, daß sie bei allen Vergrößerungen des linken Ventrikels mit geeigneter Technik phonokardiographisch dargestellt werden können, wie z. B. beim Ductus arteriosus apertus beim Hochdruck, vor allem in fortgeschrittenen Stadien u. a. m. (vgl. Abb 48).

Man kann sogar sagen daß schon normalerweise die Mitralklappe eine Enge darstellt die zu Schwingungen sehr niedriger Frequenz zur physiologischen Unruhe der frühen Diastole Veranlassung gibt. Zur Unterscheidung von organischen oder besser gesagt von postendokarditischen Stenosen dient außer den niedrigen Frequenzen auch das Fehlen einer Verstärkung des 1. Tones und eines Mitralöffnungsstones. Natürlich ist auch die Umformungzeit bei den funktionellen Stenosen nicht verlängert (vgl. Abb. 48).

Über die funktionelle Stenoserung der Trikuspidalklappe ist bisher wenig bekannt, obgleich der rechte Ventrikel erheblich dilatieren kann. Es scheint so, daß das rechte AV-Ostium dann ebenfalls mit dilatiert, wodurch die große Neigung der Trikuspidalklappe zur funktionellen Insuffizienz erklärt ist. Für die funktionellen Stenosen der AV-Klappen gilt die Regel, daß die Schwingungen durch den beschleunigten Einfluß hervorgerufen werden. Bei kurzer Diastole und verlängerter AV-Intervall fällt die Phase der schnellen Füllung der Protodiastole und der sekundären Einflußbeschleunigung durch die Vorhofaktion zusammen. Dann sehen wir ein Diastolikum, das bei der Verlangsamung der Pulsfrequenz verschwindet. Vor allem bei Kindern finden sich unter diesen Bedingungen hochfrequente, lang anhaltende Geräusche. Bei Erwachsenen beobachten wir das Entsprechende beim AV-Block. Nur bei den Schlägen, bei denen unmittelbar im Anschluß an die T-Welle eine Vorhofkontraktion auftritt, sehen wir dann ein Diastolikum.

An der Aortenklappe werden funktionelle Stenosen nicht so häufig beobachtet, wie man meinen konnte. Selbst bei der Aorteninsuffizienz, bei der das um das Pendelblut vergrößerte Schlagvolumen ausgeworfen wird, finden wir funktionelle Stenosen nur bei hämodynamisch bedeutsamen Insuffizienzen. Das Geräusch über den Carotiden ist, wie wir aus dem Studium der Zeitverhältnisse wissen (vgl. S. 59), kein fortgeleitetes funktionelles Stenosen Geräusch, sondern ein echtes Gefäßgeräusch (vgl. Abb. 39).

Anders verhält es sich mit der Pulmonalis. Ihre Wandbeschaffenheit ist für einen recht niedrigen Normaldruck eingerichtet. Bei Druckerhöhungen, die mitunter das Fünftfache der Norm erreichen, kommt es zu starker Dilatation. Wir sehen deshalb erhebliche Pulmonalserweiterungen bei allen Valven, die mit einer Druckerhöhung im kleinen Kreislauf bzw. des rechten Herzens einhergehen, z. B. bei der Mitralklenge oder beim Vorhofseptumdefekt usw. Beim Vorhofseptumdefekt tritt daher in der Regel ein systolisches Basigeräusch auf (vgl. S. 75). Die funktionelle Pulmonalstenose wird vielfach als einzige Ursache systolischer Geräusche beim Vorhofseptumdefekt angesehen. Mit der intrakardialen Phonokardiographie läßt sich in allen Fällen, auch beim Gesunden, ein systolisches Geräusch in der Pulmonalis, nicht jedoch in der Aorta, nachweisen. Bei der Mitralklenge mit Druckerhöhung im kleinen Kreislauf ist die relative Pulmonalinsuffizienz häufig. Sie ist die Ursache eines protodiastolischen Geräusches (GRAHAM STEEL), das auch bei allen anderen Formen von pulmonaler Hypertension vorkommen kann. Seine Unterscheidung von der Aorteninsuffizienz und ihrem Geräusch wurde auf S. 67 beschrieben.



Natürlich kann eine relative Pulmonalstenose und Insuffizienz zu gleicher Zeit vorkommen was beim Vorhofseptumdefekt und dem Eisenmenger Syndrom gar nicht so selten ist (vgl. Abb 45)

Die Häufigkeit der funktionellen Insuffizienzen und Stenosen mit den entsprechenden Geräuschen ist erst durch die Phonokardiographie erwiesen worden

TABELLE 13

*Mechanokardiographische Druckbestimmung
in ein elenen Herzhohlen und h r nahen Gefäßen*

Ort	Merkmal	Methode der Bestimmung	zu beachten
1 Linker Vorhof	Mitralöffnungszeit (je länger desto niedrigerer Druck)	a) Phonokardiographisch II _A - Mitralöffnungsston b) Linksseitige Spitzenstoßkurve II _A - Q	Brauchbare Werte nur bei normalem Blutdruck (Hypertonie führt zu Verlängerung der Mitralöffnungszeit)
2 Füllungsdruck des linken Ventrikels	Umformungszeit (je länger desto niedrigerer Druck)	Phonokardiographisch Q-Hauptsegment des I Tones	Am besten Schallkurve zu
3 A pulmonalis	Trikuspidalöffnungszeit (je länger desto höherer Druck)	a) Phonokardiographisch II _P - Trikuspidalöffnungsston b) Rechtsseitige Spitzenstoßkurve II _P - Q c) Venenpulskurve II _P - Gipfel d	Brauchbare Werte nur bei normalem Venendruck (erhöhter Venendruck führt zu Verkürzung der Trikuspidalöffnungszeit)

Abb 48 a-c Funktionelle Mitralklappenstenose (Austin Flint) bei Aorteninsuffizienz

Herzschallmikrophon	a) über dem Erbischen Punkt b) u c) über der Herzspitze
Papiervorschub	100 mm/sec
Kurven	a) u b) EKG Ableitung II Herzschall t m ₁ h ₁ c) EKG Ableitung II Herzschall t m ₁ m ₂

In a) ist das hochfrequente holoblastische Aorteninsuffizienzgeräusch und ein Begleitsystolikum gut dargestellt. Diese beiden Schallercheinungen sind über der Herzspitze b) u c) nur noch angedeutet erkennbar. Hier ist in den tieferen Frequenzgängen (c) ein crescendoformiges präsysolisches Geräusch aufgezeichnet.

6 Angeborene Angiokardiopathien

Die Entwicklung der letzten Jahre hat gezeigt, daß die Diagnostik der angeborenen Herzfehler durch die Mechanokardiographie vor allem auch durch die Phonokardiographie sehr gefördert wurde. In vielen Fällen wird zwar die Aufklärung der Art und Schwere einer Mißbildung mit Hilfe der klinischen und graphischen Methodik nicht bis in alle Einzelheiten möglich sein. Meistens wird es aber doch gelingen, die Diagnose so weit voranzutreiben, daß eine strenge Indikation für die eingreifenderen Untersuchungsmaßnahmen gestellt und in zunehmender Zahl auch das therapeutische Vorgehen geplant werden kann.

a) Ventrikel septumdefekt (und Eisenmenger Syndrom)

Defekte im Bereich der Ventrikelcheidewand verursachen meistens sehr laute hochfrequente holosystolische Geräusche mit steilem Crescendo am Anfang und ebenso steilem Decrescendo am Ende. Sie gleichen deshalb mehr einem zwischen den beiden Herztonen ausgespannten Band als einer Spindel, wie sie beispielsweise für die Ausströmungsgeräusche typisch ist. Abweichend von der Bandform findet sich nicht selten ein spätsystolisches Amplitudenmaximum. Die Preßstrahlgeräusche der Ventrikelseptumdefekte werden am besten in Höhe des 3-4 Interkostalraumes in der Mitte oder am linken Rand des Sternums abgeleitet. Ihre Fortleitungstendenz über den ganzen Brustkorb auch zum Rücken hin ist bemerkenswert (vgl. Abb. 49).

Im Gegensatz zu den Aortensystolika wird die Intensität der am Ventrikelseptum entstehenden Geräusche bei Extrasystolen nicht eindrucksvoll verändert. Der I-Ton ist gewöhnlich unauffällig, der II kann gespalten sein und in wenigen Fällen ergibt sich eine Amplitudenvergrößerung des P-Anteiles, sofern eine pulmonale Hypertension vorliegt.

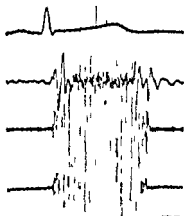


Abb. 49 Ventrikelseptumdefekt

Herzschallmikrophon 3/4 JCP linkssternal

Papiervorschub 100 mm/sec

Kurven EKG Ableitung II

Herzschall t_m, b₁

Man erkennt ein hochfrequentes die ganze Systole ausfüllendes bandförmiges Geräusch mit sehr hoher Amplitude. Der II Herzton ist mit einem Intervall von 0.04 sec gespalten.

Kurze hochfrequente protodiastolische Decrescendogerausche (funktionelle Pulmonalinsuffizienz) und rumpelnde manchmal niederfrequente praesystolische Geräusche (ALSTON FLINT) können gelegentlich beobachtet werden. Bei hoch sitzenden Ventrikelseptumdefekten führen gleichzeitig mißgebildete Aortenklappen zu einer Insuffizienz wodurch ein kontinuierliches Geräusch vorge tauscht wird. Vom echten Maschinengeräusch unterscheiden sie sich durch die höhere Frequenz des protodiastolischen Decrescendo.

Der Eisenmenger Komplex bei ein hochsitzen der Ventrikelseptumdefekt mit dextropo nierter Aorta zeigt gleichfalls ein hochfrequentes systolisches Ge räusch (evtl mit spatsystolischem Maximum) fast regelmäßig einen früh systolischen Extraton (Pulmonaldehnungston) manchmal das diastolische Ge räusch einer funktionellen Pulmonalinsuffizienz oder ein protodiastolisches Aorteninsuffizienzgeräusch wenn auch die Taschenklappen in die Mißbildung einbezogen sind (vgl auch Tab 13).

b) Vorhofseptumdefekt (und Lutembacher Syndrom)

Vorhofseptumdefekte gehören zu den häufigsten angeborenen Herzußbl dungen. Fast ausnahmslos finden wir ein systolisches Geräusch das am linken Sternastrand in Höhe des 2-4 Interkostalraumes am besten registriert und manchmal auffallend gut zur Spitze hin fortgeleitet wird. Es schließt sich meist unmittelbar an den I Ton an und endet immer kurz vor dem P Anteil des II häufig sogar schon vor dem Aortenschluß. Seine Form ist nicht ganz einheitlich. Meistens zeigt sich ein kurzes Crescendo und ein Amplitudenmaximum in der ersten Hälfte der Systole, dem ein Decrescendoteil von unterschiedlicher Länge folgt (vgl Abb 45-50).

Wie schon S. 24 erwähnt wird durch intrakardiale Phonokardiographie die Entstehung des Systolikums als Folge einer funktionellen Pulmonalstenose wahrscheinlich gemacht.

Der I Ton ist unauffällig, ein frühsystolischer Extraton häufig vorhanden (vgl Abb 18). Eine Spaltung des II Tones oft über das physiologische Maß hin aus wird nur bei erheblicher pulmonaler Hypertension vermißt. Der Pulmonal klappenschluß ist infolge des vermehrten Lungenstromvolumens und evtl durch rechtsventrikuläre Leitungsstörung besonders durch einen Rechtsschenkel block verzögert. Deshalb fehlt die üblicherweise zu beobachtende Abhängigkeit des Spaltungsintervalles von der Atmung. Die Amplitude des P Anteeles kann einer Druckerhöhung im kleinen Kreislauf entsprechend vergrößert sein.

Diastolische Geräusche kommen mindestens bei der Hälfte aller Vorhofsep tumdefekte vor. Sie können direkt an den Pulmonalanteil des II Tones an schließen und als Graham Steell'sche Geräusche identifiziert werden. In anderen Fällen erscheinen sie mesodiastolisch teils spindelförmig oder auch mit pra systolischem Crescendo als Ausdruck einer funktionellen Trikuspidalstenose. Dabei führt der vermehrte Trikuspidaldurchfluß gelegentlich zu Öffnungstönen.

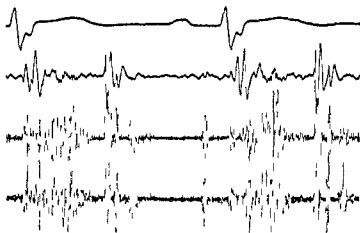


Abb 50 Vorhofseptumdefekt mit Trikuspidalöffnungston

Herzschallmikrophon 3 JCR linkssternal

Papiervorschub 100 mm/sec

Kurven EKG Ableitung II

Herzschall t_m h_1

I Ton gespalten nicht verbreitert Hochfrequenten angedeutet spindelförmiges Geräusch in der ersten Hälfte der Systole Der II Ton ist mit einem Intervall von 0 04 sec gespalten 0 06 sec nach Beginn von II_P ein hochfrequenter Trikuspidalöffnungston an den sich ein kurzes Geräusch anschließt (relative Trikuspidalstenose) Ein hochfrequenter Vorhofton ist 0 08 sec vor Beginn des I Tones aufgezeichnet

die im Gegensatz zur Mitrals auch an unveränderten Klappen entstehen können (vgl Abb 50)

Zur Unterscheidung der Vorhofseptumdefekte vom *Ostium primum* oder *secundum* Typ können die mechanokardiographischen Untersuchungsverfahren soweit unsere Erfahrung reicht keine sicheren Anhaltspunkte liefern Wir haben jedoch den Eindruck daß bevorzugte Fortleitung des Geräusches zur Spitze hin vor allem bei *Ostium primum* Defekt beobachtet wird

Vorhofseptumdefekte können allerdings sehr selten mit einer angeborenen oder erworbenen Mitralklappenstenose kombiniert sein (sog *Lutembacher Syndrom*) Die Abgrenzung gegenüber einer wie oben erwähnt bei Vorhofseptumdefekten oft vorkommenden funktionellen Trikuspidalstenose ermöglichen folgende Merkmale

- 1 ein Mitralklappenöffnungston
- 2 fehlende inspiratorische Verstärkung des diastolischen Geräusches
- 3 Verlängerung der Umformungszeit
- 4 Veränderungen der linksseitigen Spitzenstoßkurve

Die Vitralöffnungsdauer ist dabei in der Regel verhältnismaßig lang (0.1 sec und darüber) da durch den Vorhofseptumdefekt ein Druckausgleich mit dem rechten Vorhof erfolgt (vgl. Tab. 13)

c) Fallotsche Tetralogie

Die Kombination einer rechtsverlagerten über einem hochsitzenden Ventrikelseptumdefekt reitenden Aorta und einer gewöhnlich infundibularen Pulmonalstenose mit Rechtshypertrophie ist die häufigste Ursache eines Morbus coeruleus. Bei der Entstehung von Geräuschen spielt hier die Pulmonalstenose eine wesentlich größere Rolle als der Ventrikelseptumdefekt. Das Schallbild ist deshalb in typischen Fällen gekennzeichnet durch ein lautes holosystolisches Ausströmungsgeräusch, das in hohen Frequenzgängen Spindelform aufweist und über dem 2–4 Intercostalraum linkssternal am lautesten ist. Die Spindel beginnt häufig unmittelbar nach dem I. Ton und endet spätestens mit dem II. Der letztere weist meistens auch linkssternal eine große Amplitude auf. Er besteht vorwiegend aus dem Aortenanteil, während seine pulmonale Komponente sehr klein und wenig intensiv ist. Eine Spaltung des II. Tones wird fast nie beobachtet (höchstens 0.02–0.03 sec), denn beide Ventrikel beenden ihre Auswurfarbeit ziemlich gleichzeitig. Zum Unterschied von Pulmonalstenosen mit normalem Ventrikelseptum ist hier die Systole der rechten Kammer nicht verlängert, weil ein mehr oder weniger großer Anteil des rechten Kammerinhaltes nicht durch das enge Pulmonalostium gepreßt, sondern in die Aorta geleitet wird (vgl. S. 80 und Abb. 51).

Der vermehrte Blutausswurf in die Aorta kann in der frühen Systole einen Dehnungston der Aorta erzeugen. Auch Vorhofstöne in allen Frequenzgängen können gelegentlich aufgeschrieben werden.

Abb. 51 Fallotsche Tetralogie

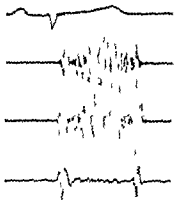
Herzschallmikrophon 2 JCP 2 Querfinger links
sternal

Papiervorschub 100 mm/sec

Kurven EKG Ableitung II

Herzschall h_1 m_2 t

Hochfrequentes unmittelbar nach dem I. Ton mit spitzem Ansatz beginnendes spindelförmiges Ausströmungsgeräusch, das die ganze Systole ausfüllt. Sein Amplitudenmaximum liegt etwa in der Mitte der Systole. Der II. Ton läßt keine Spaltung erkennen.



Nach Anlegen einer Blalok'schen Gefäßanastomose entstehen kontinuierliche Geräusche, die das Funktionieren der Verbindung zwischen großem und kleinem Kreislauf anzeigen.

Fallot'sche Pentalogien (Tetralogie plus Vorhofseptumdefekt) weisen gleichfalls ein spindelförmiges pulmonales Austreibungsgeräusch ohne Spaltung der II Töne auf. Hochfrequente Vorhofstöne sind häufiger, auch peesystolische Geräusche werden gelegentlich beobachtet.

d) Truncus und Pseudotruncus arteriosus communis

Das Phonokardiogramm zeigt hierbei ein uncharakteristisches Systolikum oder aber gar kein Geräusch. Ein fröhsystolischer Extraton – der Dehnungston des arteriellen Gefäßstammes – kann vorhanden sein. Wichtig ist, daß die Spaltung des II Tones die Diagnose mit Sicherheit ausschließt. Der II Ton ist gewöhnlich nicht sehr breit und scheint aus einer ziemlich einheitlichen Grundfrequenz aufgebaut zu sein, ähnlich wie beim klingenden II Ton.

Schließen die Klappen des Truncus oder Pseudotruncus nicht vollständig, so wird durch den diastolischen Rückfluß ein u U sehr lautes Insuffizienzgeräusch erzeugt. Der Pseudotruncus kann mit einem Ductus arteriosus apertus verwechselt werden, wenn in dem Kollateralkreislauf über den erweiterten Bronchialarterien kontinuierliche Geräusche entstehen.

e) Transposition der großen Gefäße

Die Transposition der großen Gefäße ist eine komplexe Mißbildung. Es findet sich in der Regel kein pathognomonischer Auskultationsbefund. Durch mehrfache Verbindungen zwischen großem und kleinem Kreislauf kann sich der Druck soweit ausgleichen, daß die Stromungsgeschwindigkeit des Blutes an den Shuntstellen nicht genügt, um eindrucksvolle Geräusche hervorzubringen. Manchmal vorhandene protosystolische Geräusche sind immer uncharakteristisch.

f) Aorten- und Subaortenstenose

Der Auskultationsbefund einer angeborenen valvulären Aortenstenose ist immer sehr eindrucksvoll. Über der Basis, besonders rechtssternal, findet sich ein intensives, hochfrequentes, spindelförmiges Austreibungsgeräusch, das vor allem in die Carotiden fortgeleitet wird. Das Geräusch beginnt unmittelbar nach dem I Ton oder seltener nach einem kurzen freien Intervall. Sein Amplitudenmaximum liegt in der ersten Hälfte oder in der Mitte der Systole, nur bei schweren Stenosen später. Dinn reicht das Geräusch auch fast immer bis zum II Ton.

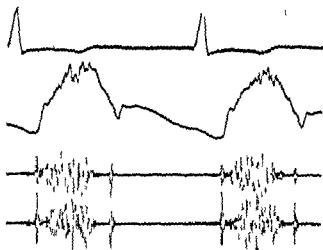


Abb. 5. Aortenstenose (angeborene) mit hahnenkammformiger Carotispulscurve
 Herzschallmikrophon Sternummitte in Höhe der 3. Rippe
 Papiervorschub 100 mm/sec
 Kurven EKG Ableitung II
 Carotispulscurve
 Herzschall h_1 , m_2

I und II Herzton sind gut dargestellt und lassen keine Abschwächung erkennen. Unmittelbar nach dem I Ton beginnt ein hochfrequentes spindelförmiges Geräusch, das kurz vor dem II Ton endet. Die Carotispulscurve erreicht ihren Gipfelpunkt erst 0,20 sec nach Beginn des Steilanstiegs und zeigt im aufsteigenden Schenkel zahlreiche Einkerbungen, verursacht durch das in die Carotiden fortgeleitete Geräusch. Die Austreibungszeit beträgt 0,31 sec.

Eine Abschwächung der Töne wird meist nicht beobachtet. Im Gegensatz zur erworbenen Aortenstenose. Die Hahnenkammform der Carotispulscurve mit verzögertem Anstieg, spättem Gipfel und zahlreichen durch das Geräusch verursachten Einkerbungen im aufsteigenden Schenkel, dazu eine Verlängerung der Austreibungszeit, beweisen eine starke Stenosierung (vgl. Abb. 17 u. 2).

Die Subaortenstenose, bei der eine unterhalb der normal angelegten Taschenklappe ausgespannte Bindegewebshaut die Ausflußbahn des linken Ventrikels einengt, verursacht gleichfalls ein Austreibungsgeräusch und zeigt keine Amplitudenverminderung der Herztöne. Der II Ton kann sogar ausgesprochen laut sein. Eine Spaltung der II Töne fehlt in der Regel oder es fällt durch die verlängerte Systole des linken Ventrikels II_F vor II_A . Ein gelegentlich ist eine angeborene Aortenstenose mit einer Insuffizienz vergesellschaftet, die ein protodiastolisches Decrescendogeräusch hervorruft.

Zur Unterscheidung zwischen angeborenen und erworbenen Aortenstenosen kann hauptsächlich die Lautstärke der Töne herangezogen werden. Außerdem geben natürlich das Alter und die Anamnese des Patienten wichtige Hinweise.

g) Pulmonalstenose isoliert und mit Vorhofseptumdefekt

Angeborene reine Pulmonalstenosen sind selten. Fast in allen Fällen handelt es sich um valvuläre Stenosen. Im Gegensatz zur Fallotschen Tetralogie, bei der die Verengung meistens im Bereich des Infundibulums liegt.

Wir finden ein hochfrequentes systolisches Austreibungsgeräusch in Spindelform am lautesten über der Basis im 2. und 3. Interkostalraum linkssternal mit einer auffälligen Fortleitungstendenz zur linken Axilla. Der Anfang des Geräusches schließt sich unmittelbar an den I. Ton an oder erscheint erst nach einem kurzen Ruheintervall, und das Geräuschmaximum liegt dann entsprechend in der Mitte bzw. im letzten Drittel der Systole. Charakteristisch ist die Fortdauer des Geräusches über den Aortenschluß hinaus. Weil die Austreibungszeit der rechten Kammer in Abhängigkeit vom Schweregrad der Stenose häufig erheblich verlängert ist, erfolgt der Pulmonalklappenschluß bis 0,12 oder sogar 0,14 sec später. Bei hochgradigen Stenosen kann der P-Anteil sehr klein oder

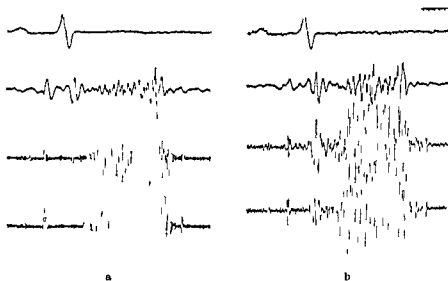


Abb. 53 a/b Pulmonalstenose mit Vorhofseptumdefekt

Herzschallmikrophon 2 JCR linkssternal

Papiervorschub 100 mm/sec

Kurven a) EKG Ableitung II

Herzschall t. m₂ h₁

b) EKG Ableitung II

Herzschall t. m₁ m₂

Der I. Ton ist in h₁ und m₂ kaum erkennbar, der II. mit einem Intervall von 0,1 sec gespalten. II_P weist eine kleine Amplitude auf, während II_A im Decrescendo eines hochfrequenten Spindelgeräusches vorborgeht. Das systolische Geräusch beginnt mit spitzem Ansatz unmittelbar nach dem I. Ton und endet kurz vor II_P. Sein Amplitudenmaximum liegt im letzten Drittel der Systole 0,09 sec vor Beginn des I. Tons, erscheint ein hochfrequenter Vorhofton.

nicht wahrnehmbar sein. Die Schwingungen des Aortenschlusses heben sich meist aus dem Geräusche heraus und können sie aber nur mit Hilfe der Incisur der Carotispulskurve identifiziert werden (vgl. Abb. 53).

Häufig kommt ein rechtsseitiger Vorhofstön auch in hohen Frequenzgängen und nicht selten ein präzystolischer Geräusch (relative Trikuspidalstenose) zur Aufzeichnung.

Die Kriterien zur Unterscheidung von valvularen und infundibularen Stenosen sind unsicher und sollen daher nicht erwähnt werden.

Die Kombination einer Pulmonalstenose mit einem Vorhofseptumdefekt (*Fallotsche Triologie*) geht gewöhnlich mit einem Morbus coeruleus einher. Das phonokardiographische Erscheinungsbild gleicht dem der isolierten Pulmonalstenose. Die Hamodynamik des rechten Ventrikels ist hier in ähnlicher Weise verändert. Deshalb werden die Pulmonalstenosen mit normalem Ventrikelseptum zusammengefaßt und jenen gegenübergestellt, die im Rahmen einer Fallotschen Tetralogie oder Pentalogie mit einem Ventrikelseptumdefekt vergesellschaftet sind. Aus diesen Überlegungen ergibt sich für die phonokardiographische Differentialdiagnose zwischen reiner Pulmonalstenose, Fallotscher Triologie und Tetra bzw. Pentalogie folgendes:

1. Pulmonale Austreibungsgeräusche über den Aortenschluß hinaus und weite Spaltung des II. Tones weisen auf Pulmonalstenose mit normalem Ventrikelseptum hin (der Defekt im Vorhofseptum ist kenntlich an der Cyanose).
2. Pulmonale Austreibungsgeräusche, die vor dem II. Ton enden, ohne Spaltung des selben, machen dagegen einen gleichzeitigen Defekt im Ventrikelseptum wahrscheinlich (Fallotsche Tetra und Pentalogie).

b) Trikuspidalmißbildungen

Die angeborene *Trikuspidalstenose* ist meistens mit einem Vorhofseptumdefekt kombiniert. Das mechanokardiographische Erscheinungsbild ähnelt dem der erworbenen Stenose (vgl. S. 60). Ein systolischer Geräusch kann zusätzlich vorhanden sein. Die *Trikuspidalatresie* stellt eine komplexe Mißbildung dar. Lebensfähigkeit besteht nur, wenn das Blut durch einen Ventrikelseptumdefekt in die rechte Kammer und von dort über die gewöhnliche hypoplastische Pulmonalarterie in die Lunge gelangen kann. Oder es besteht über einen offenen Ductus arteriosus eine Querverbindung zum kleinen Kreislauf. Den einzelnen Möglichkeiten entsprechend ist auch die mechanokardiographische Symptomatik unterschiedlich.

Beim *Ebstein Syndrom* ist der Ansatz der Trikuspidalklappen nach unten verschoben. Außerdem sind die Klappen deformiert, so daß eine Insuffizienz oder Stenose entsteht. Es finden sich systolische und diastolische Schallerscheinungen wie wir sie schon S. 62 und S. 65 kennengelernt haben. Wenn ein Rechtsschenkelblock vorhanden ist, erscheint der I. und der II. Ton gespalten. Der P-Anteil des letzteren besitzt eine kleine Amplitude. Hochfrequente rechtsseitige Vorhofstöne können vorhanden sein, ebenfalls Trikuspidalöffnungstöne.

1) *Ductus arteriosus apertus*

Bezeichnend für den Ductus arteriosus apertus ist ein kontinuierliches Geräusch (auch Maschinengeräusch genannt) über dem 2. Interkostalraum ein bis zwei Querfinger linkssternal. Es ist meistens recht intensiv, wird in allen Frequenzgängen besonders in den höheren gut dargestellt und erreicht zur Zeit des II. Tones oder auch kurz davor sein Amplitudenmaximum. Die Kontinuität des Geräusches im strengen Sinne kann fehlen. Dann beginnt der Crescendoteil erst nach dem I. Ton und das Decrescendo endet schon in der Mesodiastole (vgl. Abb. 54).

Der II. Ton über der Basis wird oft durch das kontinuierliche Geräusch verdeckt und wird besser über dem 3. und 4. Interkostalraum linkssternal oder über der Herzspitze erfaßt. Eine physiologische Spaltung des II. Tones kann vorkommen. Sie spricht für ein geringes Shuntvolumen. Erhebliche Schlagvolumensteigerung des linken Ventrikels als Folge eines großen Nebenchlusses führt zu einer Verlegung des Aortenchlusses hinter den Pulmonalklappenschluß, wobei sich das Spaltungsintervall im Expirium verlängert.

Entgegen der früheren Auffassung konnte in den letzten Jahren der phonokardiographische Beweis erbracht werden, daß kontinuierliche Geräusche schon

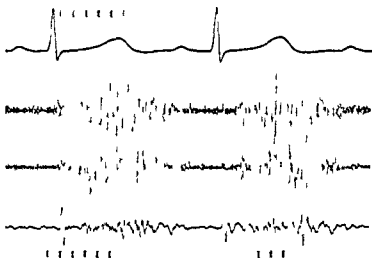


Abb. 54 Ductus arteriosus apertus

Herzschallmikrophon 2 JCR 2 Querfinger linkssternal
 Papiervorschub 100 mm/sec
 Kurven EKG Ableitung II
 Herzschall h_1 m t

Die Herztöne erkennt man am besten in t. In h_1 und m_1 ist der I. Ton nur mit kleiner Amplitude eingezeichnet, während der II. Ton vom Geräusch verdeckt wird. Das hochfrequente Geräusch beginnt unmittelbar nach dem I. Ton, erreicht im letzten Drittel der Systole ein Amplitudenmaximum und endet in einem fast die ganze Diastole ausfüllenden Decrescendo.

in der Neugeburtsperiode auftreten. Sie können während des ersten Trimenons nach Obliteration des Ductus arteriosus wieder verschwinden oder aber als Symptom eines offenen Ductus erhalten bleiben. Andererseits gibt es Säuglinge mit offenem Ductus arteriosus, die zunächst nur ein systolisches oder gar kein Geräusch aufweisen und erst später etwa im zweiten Lebensjahr ein kontinuierliches entwickeln.

Auch das Verschwinden eines kontinuierlichen Geräusches bei endarteritischer Erkrankung des Ductus wird beobachtet. Infolge pulmonaler Hypertonie kann eine Umkehr des in der Regel von links nach rechts gerichteten Shunts stattfinden. In solchen Fällen, die mit einer Mischungscyanose einhergehen, finden sich anstatt des kontinuierlichen häufig nur systolische, selten auch nur diastolische Geräusche.

Über der Spitze oder durch Schallchreibung vom Ösophagus aus können – wiederum bei Patienten mit großen Shuntvolumina – Austin Flint Geräusche erfaßt werden.

Nach Ligatur des Ductus arteriosus verschwindet das kontinuierliche Geräusch und tritt bei eventueller Rekanalisation wieder auf.

Ein kontinuierliches Geräusch beweist keineswegs das Vorhandensein eines Ductus arteriosus apertus. Mehrere andere Entstehungsursachen müssen differentialdiagnostisch abgegrenzt werden.

1. Arteriovenöse Lungenfisteln

Das P_m des Geräusches liegt über der Fistel und daher häufig anders als beim Ductus arteriosus apertus. Das Röntgenbild zeigt charakteristische Verschattungen. Eine Mischungscyanose ist vorhanden.

2. Arteriovenöse Fisteln im Thoraxbereich

Auch hier ist das P_m der Schallerscheinungen wichtig. Meist enthält die Vorgeschichte Angaben über Verletzungen, Rippenfrakturen usw.

3. Aorto pulmonale Fenestration

Alle Befunde gleichen denen beim Ductus arteriosus apertus. Die Kommunikation zwischen Aorta und Pulmonalis liegt oft nur wenig distal der Semilunarklappen. Die Differentialdiagnose ist schwierig, evtl. sogar unmöglich, auch unter Zuhilfenahme der Herzkatheterisierung und Angiokardiographie.

4. Arteriovenöse Fisteln im Bereich der Coronargefäße

In sehr seltenen Fällen bestehen angeborene Verbindungen zwischen Coronararterien einerseits, der rechten Herzkammer, der Pulmonalis oder einer Coronarvene andererseits. Dabei können kontinuierliche Schallerscheinungen beobachtet werden, die im allgemeinen jedoch nicht so laut sind wie beim Ductus arteriosus apertus und auch kein so ausgesprochenes Amplitudenmaximum um den II. Ton zeigen.

5. Nonnensauen (vgl. S. 97 und Abb. 62)

6 Perforation eines Aortenaneurysmas

Die Ruptur eines Coronarsinus in die rechte Herzkammer die A. pulmonalis oder in die obere Hohlvene wird vor allem durch das plötzlich sich entwickelnde klinische Bild gekennzeichnet. Kontinuierliche Geräusche über der Basis medio oder linkssternal können dabei auftreten. Häufig liegt ein syphilitisches Grundleiden vor.

7 Arteriovenöse Fistel nach Blalock-Taussig-Operation (vgl. S. 78)

8 Kollateralkreislauf der Lunge über Bronchialarterien bei Pulmonalatresien (Pseudotruncus communis) oder hochgradigen Pulmonalstenosen (extreme Fallotsche Tetralogie)

9 Gefäßgeräusche in laktierenden Mammie

Kontinuierliche Geräusche können niemals am Herzen selbst entstehen. Eine Reihe von angeborenen oder erworbenen Herzfehlern kann jedoch manchmal den Echorseindruck eines kontinuierlichen Geräusches vortauschen. Sorgfältige mechanokardiographische Untersuchungen ergeben dann die richtige Diagnose. Es handelt sich vor allem um

1 unreine Aortenmitralvitien (vgl. Abb. 35/41)

2 kombinierte Aortenmitralvitien (vgl. Abb. 47)

3 Vorhofseptumdefekte mit diastolischen Geräuschen

4 hochsitzende Ventrikelseptumdefekte mit Aorteninsuffizienz

5 Perikarditiden (vgl. Abb. 58)

1) Isthmusstenose der Aorta

Bei den Isthmusstenosen der Aorta vom sogenannten Erwachsenentyp mit geschlossenem Ductus arteriosus besteht meistens im prästenotischen Teil des Kreislaufes eine Hypertonie. Deshalb besitzt der Aortenanteil des II. Tones eine verhältnismäßig große Amplitude.

Das im Isthmus entstehende in hohen Frequenzgängen spindelförmige Geräusch ist zuweilen über dem Rücken links paravertebral lauter als über der vorderen Thoraxwand. Es beginnt mindestens um die Pulswellenlaufzeit verzögert nach einem Ruheintervall hinter dem I. Ton und kann über den II. Ton hinaus fortauern. Auch das Maximum der Spindel liegt gewöhnlich spät in der zweiten Hälfte der Systole (vgl. Abb. 55).

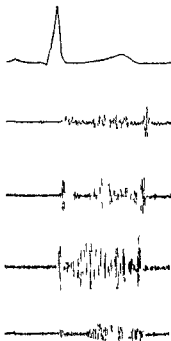
In den erweiterten Gefäßen des Kollateralkreislaufes entstehen oft sehr eindrucksvolle Schallphänomene, die an verschiedenen Punkten des Thorax evtl. auch über dem Rücken abgeleitet werden können. Sie sind gleichfalls durch die Pulswellenlaufzeit gegenüber den Vorgängen am Herzen und einem über der Basis häufig zu registrierenden uncharakteristischen Systolikum verspätet.

Abb 5. Isthmusstenose der Aorta
mit Gefäßgerausch

Herzschallmikrophon 1 über der Herzspitze
2 paravertebral rechts in
Höhe des 3. Brustwirbels

Papiervorschub 100 mm/sec

Kurven EKG Ableitung II
Herzschall
m m₂ 2 Mikrophon
(Rücken)
h₁ 1 Mikrophon
(Herzspitze)
h₂ 2 Mikrophon
(Pucken)



Das Mikrophon über der Herzspitze erfährt ein hochfrequentes spindelförmiges Geräusch. Es füllt die ganze Systole aus. Für ein am Isthmus entstehendes Geräusch beginnt es bemerkenswert früh. Das Gefäßgeräusch mit einem zweiten Mikrophon über dem Pucken abgeleitet, erscheint demgegenüber deutlich verspätet im mittleren und letzten Drittel der Systole.

Durch gleichzeitige Schreibung mit zwei Mikrophonen kann die Verspätung bestimmt (etwa 0,05–0,1 sec) und eine akustische Fortleitung ausgeschlossen werden (Verspätungssymptom). Auf die dazu nötigen technischen Voraussetzungen wurde schon Seite 5 und 59 hingewiesen.

Missbildungen der Aortenklappen – nicht selten wird bei Isthmusstenosen eine Zweizipflichkeit beobachtet – führen zur Schlußunfähigkeit und einem protodiastolischen Decrescendogeräusch über der Basis, evtl. auch zu einem Begleitsystolikum (relative Aortenstenose).

Die Carotispulscurve zeigt manchmal eine Unterbrechung des Steilanstieges durch ein etwa 0,05 sec dauerndes Plateau oder eine mehr oder weniger deutliche Einsenkung (anakrote Welle). Die dadurch entstehende Ähnlichkeit mit einer Krebs- oder Hummerschere wird allerdings auch bei Hypertonien aus anderen Ursachen beobachtet. Ein weiteres diagnostisches Merkmal ist die niedere Amplitude der Iliaepulscurve, deren Gipfelpunkt und Ende eine deutliche Verspätung gegenüber dem Carotissphygmogramm erkennen lassen. Bei gut ausgebildetem Kollateralkreislauf fällt vor allem auch die Verbreiterung der Pulscurve (sog. Dreiecksform) auf.

6 Perforation eines Aortenaneurysmas

Die Ruptur eines Coronarsinus in die rechte Herzkammer die A. pulmonalis oder in die obere Hohlvene wird vor allem durch das plötzlich sich entwickelnde klinische Bild gekennzeichnet. Kontinuierliche Geräusche über der Basis medio oder links ternal können dabei auftreten. Häufig liegt ein syphilitisches Grundleiden vor.

7 Arteriovenöse Fistel nach Blalock-Taussig-Operation (vgl. S. 78)

8 Kollateralkreislauf der Lunge über Bronchialarterien bei Pulmonalatresien (Pseudotruncus communis) oder hochgradigen Pulmonalstenosen (extreme Fallotsche Tetralogie)

9 Gefäßgeräusche in laktierenden Mammæ

Kontinuierliche Geräusche können niemals am Herzen selbst entstehen. Eine Reihe von angeborenen oder erworbenen Herzfehlern kann jedoch manchmal den Gehörindruck eines kontinuierlichen Geräusches vortauschen. Sorgfältige mechanokardiographische Untersuchungen ergeben dann die richtige Diagnose. Es handelt sich vor allem um

1 un reine Aortenklappen (vgl. Abb. 35, 41)

2 kombinierte Aortenmitralklappen (vgl. Abb. 47)

3 Vorhofseptumdefekte mit diastolischen Geräuschen

4 hochsitzende Ventrikelseptumdefekte mit Aorteninsuffizienz

5 Perikarditiden (vgl. Abb. 58)

1) Isthmusstenose der Aorta

Bei den Isthmusstenosen der Aorta vom sogenannten Erwachsenentyp mit geschlossenem Ductus arteriosus besteht meistens im prästenotischen Teil des Kreislaufes eine Hypertonie. Deshalb besitzt der Aortenanteil des II. Tones eine verhältnismäßig große Amplitude.

Das im Isthmus entstehende in hohen Frequenzgängen spindelförmige Geräusch ist zuweilen über dem Rücken links paravertebral lauter als über der vorderen Thoraxwand. Es beginnt mindestens um die Pulswellenlaufzeit verzögert nach einem Ruheintervall hinter dem I. Ton und kann über den II. Ton hinaus fortauern. Auch das Maximum der Spindel liegt gewöhnlich spät in der zweiten Hälfte der Systole (vgl. Abb. 50).

In den erweiterten Gefäßen des Kollateralkreislaufes entstehen oft sehr eindrucksvolle Schallphänomene, die an verschiedenen Punkten des Thorax evtl. auch über dem Rücken abgeleitet werden können. Sie sind gleichfalls durch die Pulswellenlaufzeit gegenüber den Vorgängen am Herzen und einem über der Basis häufig zu registrierenden uncharakteristischen Systolikum versipet.

5 Isolierte Pulmonalstenose Spindelförmiges Ausbreitungsgerausch mit spitzem Ansatz beginnend meist vom I Ton durch ein kurzes freies Intervall getrennt Amplitudenmaximum in der Mitte der Systole des rechten Ventrikels häufig über den A_2 hinausreichend Extrem weite Spaltung des II Tones P Anteil mit kleiner Amplitude



6 Aortenstenose Spindelförmiges Ausbreitungsgerausch mit spitzem Ansatz beginnend vom I Ton durch ein kurzes freies Intervall getrennt Amplitudenmaximum in der ersten Hälfte der Systole meist vor dem II Ton endend



7 Offener Ductus Botalli Kontinuierliches Maschinengeräusch im ersten Drittel der Systole beginnend Amplitudenmaximum um den II Ton weit in die Diastole hinreichend II Ton evtl gespalten



8 Isthmusstenosen der Aorta Spindelförmiges Steno engesgerausch vom I Ton durch ein deutliches freies Intervall getrennt evtl über den II Ton hinausreichend A Anteil oft mit vergrößerter Amplitude



Abb 56 Schallbilder der wichtigsten angeborenen Herz- und Gefäßmißbildungen (schematisch)

TABELLE 14
Mechanokardiographische Befunde der häufigsten angeborenen Angiokardiopathien

Art der Mißbildung	Herzschallkurve	Caortispulskurve	Venenpulskurve	Spitzenstoßkurve
1 Ventrikelseptumdefekt	I Ton unverändert, selten gespalten (Pulmonaldehnungston) II Ton unverändert bei großem Shuntvolumen ohne wesentliche pulmonale Hypertension gespalten Systolisches Geräusch in der Anspannungszeit beginnend bandförmig oder mit spätsystolischem Maximum reicht bis zum II Ton verdeckt u U II _A	Keine Besonderheiten, manchmal nötig zur Auffindung des Geräusches verdeckten II _A	Bei pulmonaler Hypertension Verlängerung der Trikuspidalöffnungszeit d h der Strecke II _P bis zeit d h der Strecken II _P bis O der recht eitrigen Spitzenstoßkurve	Bei pulmonaler Hypertension Verlängerung der Trikuspidalöffnungszeit d h der Strecke II _P bis O der recht eitrigen Spitzenstoßkurve
2 Flimmenger Syndrom	Werte Spaltung des I Tones (Pulmonaldehnungston) II Ton häufig gespalten II _P mit großer Amplitude Systolisches (Geräusch über der absoluten Herzdämpfung bandförmig zuweilen mit spätem Maximum reicht bis II _P verdeckt u U II _A Nicht selten protodiastolisches hochfrequentes DecrescendoGeräusch über der Basis	Diastolisches Geräusch nach II _A spricht für Aorteninsuffizienz Diastolikum nach II _P spricht für Pulmonalinsuffizienz	siehe oben	Zeichen pulmonaler Hypertension (siehe oben)
3 Vorhofseptumdefekt	I Ton unverändert evtl gespalten (Pulmonaldehnungston) Ohne starke pulmonale Hypertension II Ton häufig gespalten II _P mit großer Amplitude Systolisches Geräusch in der Austreibungszeit des rechten Ventrikels verhältnismäßig früh einsetzend oft schon vor II _A endend angelegte Spindelgestalt oder auch Decrescendoform evtl hochfrequentes protodiastolisches Geräusch im Anschluß an II _P über der Basis linkssternal Frühdiastolisches niederfrequentes Geräusch mit präsysolischem Crescendo über der Spitze (supratorischverstärkung)	Carotinscissur zur Identifizierung von II _A II _P folgt oft in relativ weitem Abstand zuweilen über 0,07 sec	siehe oben	Spitzenstoßkurve wegen Re Dilatation und Hypertrophie meist rechtsseitig Bei pulmonaler Hypertension vergrößerte Trikuspidalöffnungszeit (siehe oben)

4 Lutembacher Syndrom	Töne wie beim Vorhof septumdefekt Frühdiastolische Geräusche evtl mit prasytolischen Crescendo fehlende in peritonische Verstärkung Mitralöffnungsstern meist lange Mitralöffnungszeit	Ineins zur Identifizierung des IIa Verlängerte Umformungszeit	siehe oben	Mitralöffnungsstern muß mit dem Punkt O der linken seitigen Kurve zusammenfallen
5 Fallotische Tetralogie	I Ton unauffällig II nicht le pulten II _F klein oder fehlend aber lauter II _A auch links vom Sternum Spindelformiges hochfrequentes systolisches Ausstreibungsgeräusch mit spitzem Ansatz nach dem I Ton	—	—	—
6 Truncus oder Pseudotruncus arterialis communis	I Ton evtl weit gespalten (Aortendehnungsstern) II Ton nie gespalten und von einheitlicher Grundfrequenz ähnlich wie bei klingendem II Ton Uncharakteristisches prasytolisches Geräusch oder auch geräuschfreie Systole Manchmal hochfrequentestes pradiastolisches Diastolisches Beim Pseudotruncus oft kontinuierliches Geräusch des Kollateralkreislaufes in den Branchialarterien	—	—	—
7 Transposition der großen Gefäße	Töne unauffällig, Uncharakteristisches prasytolisches Geräusch	—	—	—
8 Aorten und Subaorten stenose	I Ton normal II selten abgeschwächt nicht gespalten manchmal II _F vor II _A Spindelformiges Ausstreibungsgeräusch Maximum um systolischer schwerer Stenose Klappen und Subaortenstenose mechanokardiographisch nicht zu unterscheiden Fortleitung des Ausstreibungsgeräusches in die Carotiden	Verlangsamter Anstieg aus gesprochenen Hakenkammform des Cuspids häufiger bei Klappenperitonosen vorläufige Ausbreitung	—	Verstärkte systolische Pleat

Art der Mißbildung	Herzschallkurve	Carotispuls-kurve	Venenpuls-kurve	Spitzenstoßkurve
9 Isolierte Iul monalstenose	I Ton unverändert II weit gespalten (bis 0 14 sec) II _P mit kleiner Amplitude II _A häufig vom Geräusch verdeckt besonders bei valvulärer Stenose Spindel förmiges Ausbreitung geräusch Maximum später als bei Aortenstenose	Carotiscincur wichtig zur Bestimmung von II _A	—	—
10 Atriose und Stenose der Trikuspidalis	I Ton unverändert II Ton meistens nicht gespalten Systolisches u U präsystolisches Geräusch gelegentlich Trikuspidalöffnungsgeräusch	—	Erhöhte a Welle vor spätete d Welle Ver schmelzung von s und d	Fehlende schnelle Füllungs-welle in der rechtseitigen Spitzenstoßkurve Punkt O und Tri kuspidalöffnungs ton gleichzeitig wenn rechtseitige Kurve überhaupt erhalten
11 I bitem Syndrom	Immer Mehrfachrhythmus entweder gespalten I oder II Ton Vorhofton Trikuspidalöffnungsgeräusch Systolisches Geräusch Frühdiastolisches Geräusch evtl präsystolisches Crescendo	—	Erhöhte a Welle positiv ver Venen pula	Schwierig rechts seitige Kurve zu erhalten
12 Ductus arteriosus apertus	I Ton unverändert II Ton im Geräuschmaximum meist nicht deutlich zu erkennen Spaltung nicht selten Kontinuierliches Geräusch mit II ICR linkssternal mit bevorzugter Fortleitung zur linken Schulter	Incisur meist sehr deutlich zur Aufindung von II _A nützlich da II _P vor II _A liegen kann	—	—
13 Isthmusstenose der Aorta	I Ton unverändert II laut durch großen II _A Systolisches Geräusch am Isthmus Verspätungssyndrom über den Gefäßen des Kollateralkreislaufs Häufig protodiastolisches Geräusch über der Aorta	Carotis Krebs scherenform Femoralis lang samer Anstieg noch langsamerer Abfall (Dreiecksform)	—	—

TABELLE 15

Gerauscheränderungen durch Extrasystolen und Amylnitrit
(Zunahme + Abnahme — gleichbleibend =)

Art des Geräusches	bei E S	beim post E S Schlag	nach Amylnitrit
1 Isolierte Pulmonalstenose	—	+	+++
2 Aortenstenose	—	+	++
3 Mitralsuffizienz	=	=	—
4 Trikuspidalsuffizienz	=	=	+
5 Ventrikelseptumdefekt	=	=	—
6 Vorhofseptumdefekt (relat Pulmonalstenose)	—	+	+
7 Fallotsche Tetralogie	—	+	—
8 Ductus arteriosus apertus	=	=	—

Zur Unterscheidung von systolischen Geräuschen hat sich der Nitroversuch und die Beachtung des Verhaltens bei Extrasystolen und beim postextra systolischen Schlag bewährt. Praktisch wird der Versuch so ausgeführt, daß zunächst eine Schallkurve unter normalen Bedingungen aufgenommen wird. Dann läßt man den Patienten Amylnitrit inhalieren (bis eine deutliche Blutdrucksenkung eintritt (die unangenehmen Sensationen verschwinden schnell wieder). Dann wird die Schreibung mit derselben Verstärkereinstellung und der gleichen Mikrofonlage sofort nach der Inhalation und noch mehrmals in einminütigen Abständen wiederholt. Am auffälligsten ist die Intensitätszunahme der aortalen und pulmonalen Austreibungsgeräusche während andere Systolika wenig oder gar nicht beeinträchtigt werden wie die Tabelle 15 zeigt.

7 Extrakardiale Geräusche

Zu leicht werden Geräusche über dem Herzen ursächlich auf hamodynamische Vorgänge im Herzzinnern bezogen. Es darf nicht vergessen werden, daß an der Oberfläche des Herzens und an den Nachbarorganen Schallschwingungen entstehen können, die weil sie herzsynchron erklingen, den echten Herzgeräuschen ähnlich sein können. Differentialdiagnostisch ist die Unterscheidung aber von großer Wichtigkeit. Natürlich sind auch die Geräusche in den herznahen Gefäßen zum Beispiel beim Ductus arteriosus apertus streng genommen extrakardiale. Gewöhnlich versteht man aber hierunter nur die Geräusche, die nicht durch die Blutströmung verursacht werden.

a) Perikardiales Reiben

Das Reiben der Perikardblätter untereinander verursacht Geräusche, deren Klangcharakter im allgemeinen als rau, holpernd oder knarrend beschrieben wird. Im Schallbild entspricht dem der hohe Frequenzgehalt und die stark wechselnde Amplitude, wodurch die Geräuschsilhouette ein ausgefranztes Aussehen erhält. Reibegeräusche sind nicht streng an die einzelnen Herzphasen gebunden.

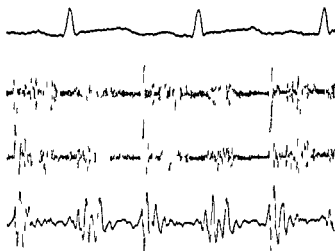


Abb. 57 Pericarditis rheumatica

Herzschallmikrophon 3/4 JCR linkssternal

Papiervorschub 100 mm/sec

Kurven FKG Ableitung II
Herzschall h_1 m t

Der I Ton zeigt in h_1 und m_1 eine verhältnismäßig kleine Amplitude. Im ersten Drittel der Systole und während der kurzen Diastole finden sich hochfrequente Geräuscherscheinungen mit stark wechselnder Amplitudenhöhe.

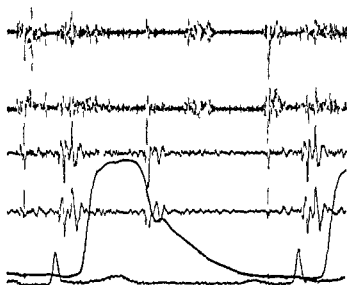


Abb 58 Pericarditis epistenocardica

Herzschallmikrophon linker Sternalrand in Höhe der 4. Rippe
 Papiervorschub 100 mm/sec
 Kurven Herzschall h_1 , m , m_1 , t
 Carotispulskurve
 EKG Ableitung II

Der I. Ton ist nicht verstärkt. Der II. Ton ist gespalten. Beginnend mit dem Gipfel der P-Zacke findet sich ein präsystolisches Geräusch, das lange vor dem I. Ton schon wieder abgeklungen ist. Dem I. Ton folgt ein systolisches Decrescendogeräusch, dessen Ende 0,05 sec vor dem Aortenschluß liegt. In der frühen Diastole ist ein spindelförmiges Geräusch zu erkennen. Allen 3 Geräuschen ist die sehr hohe Frequenz und eine unregelmäßige Begrenzung gemeinsam. Vor allem der sehr hohe Ausschlag im Beginn des Präsysstolikums, der kein Kunstprodukt ist, schließt ein Mitralkstenosegeräusch aus. Es handelt sich um ein in 3 Schwingungsgruppen auftretendes perikarditisches Peibegeräusch.

bunden. Sie treten am Anfang der Systole und Diastole evtl. in der Präsysstole bevorzugt auf. Perikarditische präsystolische Geräuschphänomene unterscheiden sich vom Präsysstolikum der Mitralkstenose abgesehen von dem oben erwähnten hohen Frequenzgehalt durch den verhältnismäßig frühen Beginn und durch ein häufigeres Abklängen vor dem I. Ton auch bei normaler Überleitungszeit. Der Ort der besten Wahrnehmbarkeit ist sehr verschieden und kann sich bei den selben Patienten von Tag zu Tag ändern. Körperhaltung und Atemphase beeinflussen in der Regel die Intensität. Manche sind im Liegen lauter als im Sitzen, manche sind inspiratorisch lauter als expiratorisch, jedoch kommt auch das umgekehrte Verhalten vor (vgl. Abb. 57, 58).

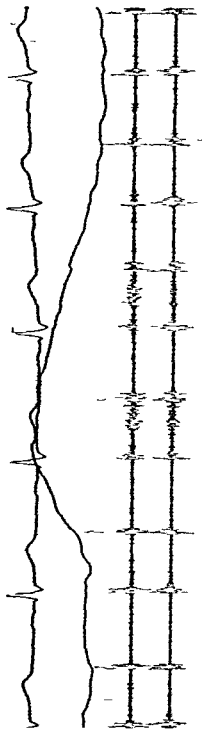


Abb 59 Kardio pulmonales Geräusch

Herschallmikrophon 3/4 JCR linksternal

Papiervorschub 100 mm/sec

Kurven

EKG Ableitung II

Atmungskurve

Herschall h_1 , m_2

Die beiden ersten sowie die zwei zuletzt dargestellten Herzschläge liegen im Expirium. Sie zeigen normale Töne und kein Geräusch. Inspirationsisch sind die II Töne mit einem Intervall von 0.03 sec gespalten, außerdem erscheint hier ein hochfrequentes, angedeutet spindelförmiges mesosystolisches Geräusch.

Als Restform perikardialer Reibegeräusche bleiben manchmal lebenslanglich spatsystolische Klicks (vgl. auch S. 29) oder raue Geräusche im letzten Drittel der Systole bestehen

b) Kardio pulmonale Geräusche

Luftbewegungen in herznahen Lungenpartien durch die Herzaktion führen gelegentlich zu Schallerscheinungen die systolische Geräusche vortauschen können. Begünstigt wird ihre Entstehung durch pneumonische Infiltrationen in Herznahe. Sie sind durch starke Atemabhängigkeit gekennzeichnet und verschwinden entweder im Inspirium oder im Expirium vollständig. Auf der Schallkurve ist dieses Verhalten mit Hilfe der Atemregistrierung leicht nachweisbar. Kardio pulmonale Geräusche sind nicht häufig (vgl. Abb. 59).

8 Gefäßgeräusche

a) Arterielle Gefäßgeräusche

Schon in den Abschnitten über die Isthmusstenosen der Aorta und über den Ductus arteriosus apertus wurden Schallerscheinungen beschrieben die in peripheren Gefäßen entstehen. Alle arteriellen Gefäßgeräusche sind in Abhängigkeit von der Pulswellenlaufzeit gegenüber der Herzaktion verspätet. Die gleichzeitige Registrierung über dem Herzen und über dem Ursprungsort ermöglicht einerseits Rückschlüsse auf die Pulswellengeschwindigkeit zum anderen die Unterscheidung zwischen akustisch fortgeleiteten Herzgeräuschen und autochthonen Gefäßgeräuschen. Während die Schalleitung vom Herzen zu anderen Körperstellen keine meßbare Verzögerung erleidet, liegt die Verspätung der Gefäßgeräusche durchschnittlich zwischen 0,05 und 0,15 sec. Auf die Bedeutung dieses Verspätungssymptoms über den Kollateralen der Aortenisthmusstenosen oder über der rechten A. carotis bei Aorteninsuffizienzen wurde S. 59 und S. 84 bereits hingewiesen. Hier ist anzumerken, daß nicht nur Aorteninsuffizienzen sondern auch andere Erkrankungen mit vergrößertem Schlagvolumen z. B. der Thyreotoxikose Carotidgeräusche verursachen.

Außerdem findet sich bei schweren Aorteninsuffizienzen über den großen Extremitätenarterien der sog. Traubesche Doppelton, der sich beim Komprimieren des Gefäßes in das Duroziersche Doppelgeräusch verwandelt. Phonokardiographisch hat dieses Symptom keine Bedeutung.

Wichtiger sind arterielle Gefäßgeräusche die im Zusammenhang mit peripheren Durchblutungsstörungen vorkommen und oft ein ausgesprochenes Frühsymptom darstellen. Normalerweise können über den herzferneren Gefäßen keine Geräusche wahrgenommen werden. Unmittelbar nach körperlicher Belastung lassen sich zwar bei den meisten Herzgesunden Geräusche über den Aa. iliacae feststellen, aber immer nur vorübergehend und nur für einige Herzschläge.

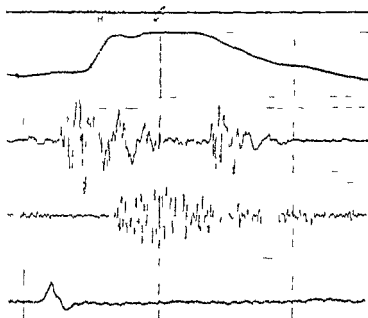


Abb 60 Autochthones Carotisgeräusch

Papiervorschub	100 mm/sec
Kurven	Carotispulskurve
	Schall über dem Herzen m_1
	Schall über der re Carotis m_2
	LKG Ableitung II

In der relativ tiefen Abstimmung werden Herztonen mit Vor Haupt und Nachsegment gut dargestellt. Es läßt sich vom I Ton ein Herzgeräusch nicht sicher abgrenzen. Nach dem I Ton in der Mitte der Systole deutlich später als der Beginn des Steilanstieges der Carotispulskurve findet sich ein spindelförmiges Geräusch, das die Systole des Herzens überdauert. Es handelt sich um ein arteriosklerotisches autochthones Gefäßgeräusch.

Auch bei hohem Fieber hört man bisweilen über der Leistenbeuge ein Geräusch, wenn die Pulswelle eintrifft. Wenn aber Gefäßgeräusche schon in der Ruhe als konstanter Befund vorhanden sind, spricht das mit ziemlicher Sicherheit für eine stenosierende Gefäßerkrankung. Die Form der Gefäßgeräusche ist spindelig, gewöhnlich mit steilem Crescendo und mehr oder weniger flachem Decrescendo, wobei das Ende je nach Entstehungsort und Grad der Verengung nach dem Zeitpunkt des II Herztones liegen kann. Der Beginn der Geräusche entspricht nicht genau dem Eintreffen der Pulswelle, da die zur Geräuscherzeugung nötige Strömungsgeschwindigkeit verschieden hoch über der diastolischen Blutgeschwindigkeit liegen kann. In der Regel fällt aber das Amplitudenmaximum ungefähr mit dem Gipfel der Arterienpulskurve zusammen.

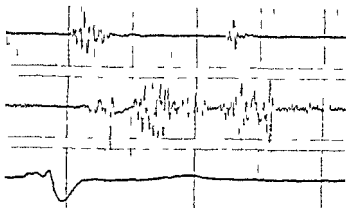


Abb 61 Arteriosklerotisches Geräusch der Bauchaorta

Herzschallmikrophon 1 über Sternummitte
 2 über der Aorta abdominalis
 Papervorschub 100 mm/sec
 Kurven Carotispulskurve
 Herzschall m_1
 Aortenschall m_1
 I KG Ableitung II

Die Herztöne sind von normaler Lautstärke. Über dem Herz keine Geräusche. Über der Bauchaorta fand sich ein lautes Geräusch eingerahmt in zwei Töne, die im anglo-amerikanischen Schrifttum *Coil* und *Recoil* genannt werden. – Das Fehlen von Herzgeräuschen beweist, daß es sich um ein autochthones Gefäßgeräusch handelt.

Der Vollständigkeit halber muß erwähnt werden, daß manchmal über *H. mangionum* Strumen laktierenden Mammæ und bei Graviden über dem Uterus ein kontinuierliches Schwirren wahrnehmbar ist. Seine Unterscheidung von anderen kontinuierlichen Schallerscheinungen bereitet meist keine Schwierigkeiten.

Auf die von *Koborkoff* beschriebenen distal von komprimierenden Manschetten entstehenden Arterientöne soll in diesem Zusammenhang nicht näher eingegangen werden. Sie bilden bekanntlich die Grundlage der apparativen, unblutigen Blutdruckmessung.

b) Venengeräusche

Als *Nonnensausen* (der Name ist abgeleitet vom Surren der Nonne, dem Kreisel) bezeichnet man kontinuierliche Geräusche, die am Zusammenfluß der Jugularvenen im *Bulbus jugularis* entstehen und häufiger über der rechten als über der linken *Fossa supraclavicularis* wahrgenommen werden können. Wenn sie bis zur Herzbasis fortgeleitet werden, was bei Kindern nicht ganz selten vorkommt, bestehen Verwechslungsmöglichkeiten mit einem *Ductus arteriosus apertus* oder mit einer Aorteninsuffizienz. *Nonnensausen* ist jedoch sehr stark atemabhängig, mit inspiratorischem Maximum, meist nur bei aufrechter Körperhaltung vorhanden und verschwindet beim Pressen vollstän-

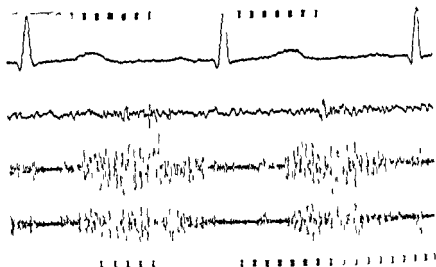


Abb 62 Nonnensausen

Herzschallmikrophon	Über der rechten Fossa supraclavicularis
Papiervorschub	100 mm/sec
Kurven	ΓhG Ableitung II
	Herzschall t m h ₂

Die bis zum Abnahmepunkt an der rechten Halsseite fortgeleiteten Herztöne sind nur in t angedeutet. In allen Frequenzgängen ist ein kontinuierliches Geräusch dargestellt, das während der Systole an Intensität zunimmt und zur Zeit des II Tones oder etwas später ein Amplitudenmaximum erreicht. Sein Decrescendoteil zeigt ungefähr dieselbe Steilheit wie das Crescendo. Die Kurve wurde beim aufrecht sitzenden Patienten gewonnen.

dig. Diese charakteristischen Merkmale erklären sich aus der Tatsache, daß auch die Venengeräusche nur bei beschleunigtem Blutfluß zustandekommen, wobei sich Viskositätsänderungen des Blutes infolge Anämie usw. begünstigend auswirken (vgl. Abb 62).

Nach CRUVEILHIER BAUMGARTEN werden Geräusche benannt, die in den venösen Kollateralen der Bauchwand bei Leberzirrhosen auftreten.

Sachregister

- Abschirmung akustische 2
 Akzidentelle Herzgeräusche 3
 Amplitudensteuerung 2
 Amylnitrit 50 91
 Anamnese 35 37 98
 - Geräusche 37
 Aorten aneurysma 83
 - dehnungston 29 77 78
 - fehler unreine 60
 - klappenschluß 8 10 57 67 79 80 82
 - insuffizienz 11 20 57 75 97
 - mitralvitium 84
 - sphygmographie 2 9 10
 - stenose angeborene 12 50 55 78
 - - arteriosklerotische 55
 - - erworbene 12 53
 - - funktionelle 71
 - vitien unreine 84
 Arrhythmie absolute 11 34
 Arteriovenöse Fistel 84
 Atemstillstand 6
 Atmungsbeschreibung 20
 - kurven 20
 Aufhängevorrichtung für Mikrophon 5
 Austin Flint Geräusch 20 35 36 70 75 83
 Anspannungszeit 10 11
 Austreibungsgeräusch 50 77 78 80 81 91
 - zeit 11 12
 - verlängerte 55 79 80

 Ballistokardiographie 24
 B gleitsystolkum bei Aorteninsuffizienz
 35 36 58 59 84
 Blalok Taussig Operation 78 84

 Carotisgeräusche autochthone 59
 - pulsskurve 8 15
 - - normale 10
 - - a Welle 10
 - - anakrote Welle 10 85
 - - dikrote Welle 10 12 57
 - - Steilanstieg der 10 55 79 85
 - sphygmographie 9
 Cor pulmonale 37
 Cruveilhier Baumgartensches Geräusch 94

 diastolischer Kollaps 14 16 62
 Dreckschreiber 2
 Dreiecksform der Rhacapulskurve 85
 Dreierhythmus 26 41
 Druckanstiegszeit 11 60 61
 Dursenschreiber 2
 Ductus arteriosus apertus 24 36 78 81
 89 92 97
 Duroziersches Doppelgeräusch 95

 Ebstein Syndrom 81
 Eisenmenger Syndrom 3 73 74 75
 Elongationsmesser 9 12
 Emphysem 8
 Erguüton 99
 Extratone 21 96

 Fallotsche Tetralogie 77 81
 - - extreme 84
 - Pentalogie 78 81
 - Trilogie 80 81
 Frequenzanalyse 3
 - gang 2 3
 - - gehorsähnlicher 4
 Filtersteilheit 3
 Fistel arteriovenöse 83
 funktionelle Herzgeräusche 35
 Tullungswelle schnelle 16 17 18 20 45
 50 51 65
 - - Abflachung 45

 Gefäßgeräusche autochthone 55 71 84
 96
 - arterielle 95 96
 - bei Anämie 98
 gehörähnlicher Frequenzgang 4
 Geräusch extrakardiales 9
 - kardio pulmonales 95
 - kontinuierliches 35 75 78 8 83 97
 - perkarditisches 92
 Geräusche musikalische 75
 Graham Steel Geräusch 35 37 71 75

 Hahnenkammform der Carotispulskurve
 55 9

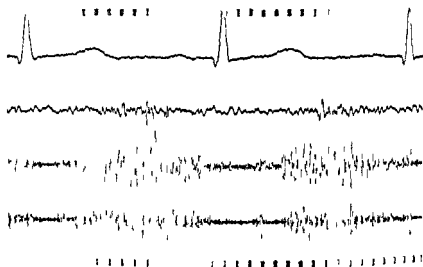


Abb 62 Nonnensausen

Herzschallmikrophon	Über der rechten Fossa supraclavicularis
Papiervorschub	100 mm/sec
Kurven	EKG Ableitung II
	Herzschall t _{m2} h ₁

Die bis zum Abnahmepunkt an der rechten Halsseite fortgeleiteten Herzton sind nur in t angedeutet. In allen Frequenzgängen ist ein kontinuierliches Geräusch dargestellt, das während der Systole an Intensität zunimmt und zur Zeit des II Tones oder etwas später ein Amplitudenmaximum erreicht. Sein Decrescendoteil zeigt ungefähr die gleiche Steilheit wie das Crescendo. Die Kurve wurde beim aufrecht sitzenden Patienten gewonnen.

Diese charakteristischen Merkmale erklären sich aus der Tatsache, daß auch die Venengeräusche nur bei beschleunigtem Blutfluß zustandekommen, wobei sich Viskositätsänderungen des Blutes infolge Anämie usw. begünstigend auswirken (vgl. Abb 62).

Nach CRUVEHLIER BAUMGARTEN werden Geräusche benannt, die in den venösen Kollateralen der Bauchwand bei Leberzirrhosen auftreten.

Atlas und kurzgefaßtes Lehrbuch der Phonokardiographie und verwandter Untersuchungsmethoden

Von Prof Dr K HOLLDACK Berlin und Dr D WOLF Heidelberg Mit
einem Geleitwort von Prof Dr K H Bauer Heidelberg und einer technischen
Einführung von F Schwarzer München 2 verb esserte und erweiterte Auflage
1958 VIII 179 Seiten 160 Abbildungen in 197 Einzeldarstellungen Lex 8°
Ganzleinen DM 49 50

Lehrbuch der Auskultation und Perkussion

Von Prof Dr K HOLLDACK Berlin Mit einem Geleitwort von Prof Dr C
Oehme Heidelberg 2 Auflage 1959 XII 196 Seiten 85 Abbildungen Gr 8°
lamierter Kartonband DM 16 50

Erkrankungen des Herzens

(Diseases of the Heart 2nd edition)

Von Prof Ch K FRIEDBERG M D New York Deutsche Übersetzung von
Dr F GILL Heidelberg 1959 XLVI 1392 Seiten 157 Abbildungen Lex 8°
Ganzleinen DM 128 -

EKG Fibel

Von Priv Doz Dr R HEINECKER Frankfurt/M Mit einem Geleitwort von
Prof Dr F Hoff Frankfurt/M 4 wesentlich erweiterte Auflage 1960 XII
235 Seiten 204 Abbildungen in 330 Einzeldarstellungen und 34 schematische
Darstellungen Gr 8° lamierter Kartonband DM 19 80

Die Herzinsuffizienz in der Praxis

Von Dr Dr K BLOCH Stuttgart Mit einem Geleitwort von Prof Dr K
Spang Stuttgart 1958 XII 216 Seiten 8 Abbildungen und 8 Tabellen Gr 8°
lamierter Kartonband DM 19 80

Klinische Elektrokardiographie

Von Prof Dr M HOLZMAN Zürich 4 Auflage Erscheint Anfang 1961

Angina pectoris

Entstehung Erkennung Beurteilung und Behandlung der Herzschmerzattacke
Von Prof Dr W H HAUSS Frankfurt/M Mit einem Geleitwort von Prof Dr
F Hoff Frankfurt/M 1954 VII 394 Seiten 127 zum Teil mehrfarbige Abbil-
dungen in 187 Einzeldarstellungen und 23 Tabellen Gr 8 Ganzleinen DM 59 40

Operable Herzleiden

Einführung in Klinik Diagnostik und Operationsmöglichkeiten

Von Prof Dr J JACOBI und Prof Dr M LOEWENECK Hamburg Unter
Mitarbeit von Dr K Maier und Dr H Sammlert Hamburg 1958 VIII 175 Sei-
ten 155 Abbildungen in 68 Einzeldarstellungen Lex 8° Ganzleinen DM 49 50

Mißbildungen des menschlichen Herzens

Entwicklungsgeschichte und Pathologie

Von Priv Doz Dr H BARTHEL Osterode/Harz Mit Geleitworten von Prof Dr W Doerr Kiel und Prof Dr R Nissen Basel 1960 XII 240 Seiten 215 z T farbige Abb von I Schaumburg Hamburg Lex 8° Ganzleinen DM 188 -

Atlas intracardialer Druckkurven

Atlas of Intracardiac Pressure Curves Atlas de Curvas Tensionales Intracardiacas Von Prof Dr O BAYER und Dr H H WOLTER Berlin Englische Bearbeitung von G P Graham M D London Spanische Bearbeitung von Dr F Low Maus Barcelona Mit einem Geleitwort von Prof Dr A Cournaud New York 1959 XVI 165 Seiten 55 Abbildungen und 42 Tafeln Lex 8° Ganzleinen DM 68 -

Konservative und chirurgische Behandlung angeborener und erworbener Herzfehler

3 Vorträge

Von Prof Dr F DERRA Düsseldorf Prof Dr O BAYER Berlin und Dr H H WOLTER Berlin 1959 VIII 64 Seiten 25 Abbildungen 8° laminierter Kartonband DM 6 40

Die neuzeitlichen Brustwand und Extremitäten Ableitungen in der Praxis

Von Prof Dr H REINDELL und Doz Dr H KLEPZIG Freiburg/Br Mit einem Geleitwort von Prof Dr Dr h c L Helmeyer Freiburg/Br 3 wesentlich umgearbeitete Auflage 1958 VIII 192 Seiten 82 Abbildungen Gr 8° Ganzleinen DM 29 50

Rhythmusstörungen des Herzens

Systematik, Ursache und klinische Bedeutung, Therapie

Von Prof Dr K SPANG Stuttgart Mit Beiträgen Die Morphologie des Reizleitungssystems ihre Orthologie und Pathologie von Prof Dr W DOI R Kiel und Physiologie der Herzirregularitäten von Priv Doz Dr W TRAUT WEIN Heidelberg 1957 XVI 548 Seiten 109 Abbildungen im Text und ein Tafelanhang mit 228 Abbildungen auf 111 Seiten Lex 8° Ganzleinen DM 148 -

Pädiatrischer EKG Atlas

Von Priv Doz Dr W HICK und Dr J STOFERMEYER Göttingen Mit einem Geleitwort von Prof Dr G Joppich Göttingen 1959 XVI 230 Seiten 181 Abbildungen in 298 Einzeldarstellungen und eine Meßtafel zur Bestimmung des Vektors und zur Ausmessung der Herzfrequenz Lex 8° Ganzleinen DM 78 -

Atlas der Angtokardiographie angeborener Herzfehler

Von Dr R KÜNZLER und Dr N SCHAD Zurich Mit einem Geleitwort von Prof Dr G Fanconi und Prof Dr M Grob Zurich 1960 XII 24 Seiten 91 Abbildungen in 416 Einzeldarstellungen Lex 8° Ganzleinen DM 8 50 (86 Ergänzungsband der Fortschritte auf dem Gebiete der Röntgenstrahlen und der Nuklearmedizin Vorzugspreis für Abonnenten dieser Zeitschrift DM 78 50)

Herzkrankheiten im Säuglingsalter

Von Priv Doz Dr E ROSSI Zurich Mit einem Geleitwort von Prof Dr G Fanconi Zurich 1954 XVI 373 Seiten 198 teils mehrfarbige Abbildungen in 369 Einzeldarstellungen und 1 Ausschlagtafel Differentialdiagnose der wichtigsten kongenitalen Angiokardiopathien Gr 8° Ganzleinen DM 65 -

